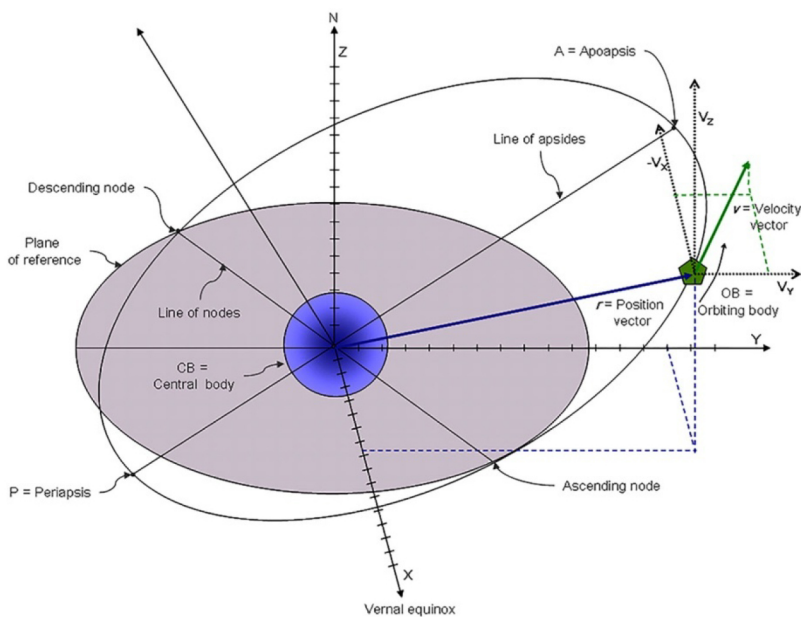


თეიმურაზ კვერნაძე

ცის მაქანიკა და კოსმოსური დინამიკა

ლექციათა კურსი



თეიმურაზ კვერნაძე

ცის მექანიკა და პოსტურული დინამიკა

I

ლექციათა კურსი

გამოცემა “ასტრონომია”

საქართველოს ასტრონომიული კავშირი

თბილისი 2020

თ. კვერნაძე. ცის მექანიკა და კოსმოსური დინამიკა. გამომც. „ასტრონომია“, საქართველოს ასტრონომიული კავშირი, თბილისი, 2020.

წიგნი მომზადებულია ხარკოვის ეროვნული უნივერსიტეტის (უკრაინა) პროფესიონალის იური ალექსანდროვის სახელმძღვანელოს „ცის მექანიკის“ (Александров Ю.В. Небесная Механика. Харьков, ХНУ им. В.Н.Каразина, 2006) და ასევე სხვა ცნობილი მკვლევარების შრომების საფუძველზე და წარმოადგენს ლექციათა კურსს ცის მექანიკისა და კოსმოსური დინამიკის დარგში. წიგნის I ნაწილი მოიცავს ამ დარგის ძირითად საკითხებს - ორი სხეულის ამოცანას და მის ზოგიერთ განზოგადებას, კეპლერისეული მოძრაობის თეორიის დამატებით საკითხებს, ორი სხეულის რელატივისტურ ამოცანას, სამი სხეულის მოძრაობის ამოცანას. წიგნი განკუთვნილია ასტრონომიის, თეორიული მექანიკის და ფიზიკის დარგის სპეციალისტებისა და სამაგისტრო კურსის სტუდენტებისათვის.

რეცენზენტი

გიორგი ჯავახიშვილი

რედაქტორი

გიორგი ქურთული

ISBN 978-9941-8-2142-4

© გამომცემლობა „ასტრონომია“, საქართველოს ასტრონომიული კავშირი, 2020

სარჩევი

ლექცია 1. ციური სხეულების გრავიტაციული ველები.....	5
ლექცია 2. მრავალი სხეულის ამოცანის დასმა კოორდინატთა ინტერიულ სისტემაში	13
ლექცია 3. მრავალი სხეულის ამოცანის დასმა კოორდინატთა ბარიცენტრულ და ფარდობით სისტემებში	23
მრავალი სხეულის ამოცანა კოორდინატთა ბარიცენტრულ სისტემაში.....	23
მრავალი სხეულის ამოცანა კოორდინატთა ფარდობით სისტემაში.....	24
ლექცია 4. ორი სხეულის ამოცანა.....	27
ლექცია 5. ორბიტის განტოლება და მოძრაობის კანონი ორი სხეულის ამოცანაში.....	35
ლექცია 6. ორბიტის კეპლერისეული ელემენტები.....	43
ლექცია 7. მოძრაობის კლასიფიკაცია ორი სხეულის ამოცანაში	47
ლექცია 8. კეპლერისეული მოძრაობის ცალკეული ტიპები	51
ელიფსური მოძრაობა	51
ჰიპერბოლური მოძრაობა.....	59
წრიული მოძრაობა.....	61
პარაბოლური მოძრაობა.....	62
სწორსაზოვანი მოძრაობა	64
ლექცია 9. კეპლერისეული მოძრაობის თეორიის დამატებითი საკითხები	67
ელიფსური მოძრაობის მწყრივები	67
კეპლერის განტოლების ამოხსნა	68
ელიფსური მოძრაობის ხარისხობრივი მწყრივები	71
ელიფსური მოძრაობის ტრიგონომეტრიული მწყრივები.....	74
ლექცია 10. ორი სხეულის სასაზღვრო ამოცანა.....	79
ლექცია 11. ორი სხეულის ამოცანის ინტეგრირება ჰამილტონ-იაკობის მეთოდით	
.....	84

ლექცია 12. მოძრაობა ცენტრალური ძალის გავლენით	89
ლექცია 13. ორი სხეულის რელატივისტური ამოცანა	95
ზოგადი ფარდობითობის თეორიის ელემენტები	95
ცენტრალური სიმეტრიის ველი	102
მატერიალური წერტილის მოძრაობა შვარცშილდის ველში	104
ლექცია 14. ორი სხეულის ამოცანა N-განზომილებიან სივრცეში	109
ლექცია 15. სამი სხეულის ამოცანა	113
სამი სხეულის შეზღუდული ამოცანა	113
სამი სხეულის წრიული შეზღუდული ამოცანა	114
სამი სხეულის ბრტყელი წრიული შეზღუდული ამოცანა	117
ლიბრაციის წერტილები	119
მოძრაობის მდგრადობა ლიბრაციის წერტილებში	124
ჰილის სფეროები	126
დამატება I	133
დამატება II	139
ლიტერატურა	149

ლექცია 1. ციური სხეულების გრავიტაციული ველები

ძირითადი ძალა, რომელიც განსაზღვრავს ციური სხეულების მოძრაობას, არის გრავიტაცია. იმისათვის, რომ კორექტულად ჩამოვაყალიბოთ ამ სხეულების მოძრაობის ამოცანა და დავადგინოთ ამა თუ იმ მიახლოების გამოყენების საზღვრები, აუცილებელია თავდაპირველად განვიხილოთ ციური სხეულების გრავიტაციული ველების აღწერის თავისებურებები.

დავუშვათ გვაქვს T სხეული $\rho(\vec{r}')$ სიმკვრივით და M მასით, რომლის მდებარეობა განისაზღვრება x, y, z კოორდინატთა სისტემაში (ნახაზი 1). რადგან მიზიდულობის ძალა დამოკიდებულია მხოლოდ მიმზიდველი სხეულების კოორდინატებზე ანუ წარმოადგენს პოტენციალურ ძალას, ამიტომ უნდა ვეძებოთ T სხეულის **გრავიტაციული პოტენციალი** და მხედველობაში მივიღოთ, რომ პოტენციალი V განისაზღვრება შემდეგი დამოკიდებულებით: ძალა $\vec{F} = grad V$ (ამ შემთხვევაში პოტენციალური ენერგია ტოლია $U = -V$). სხეულის ელემენტი მასით dm' მოცულობაში dv' რადიუს-ვექტორით \vec{r} წერტილში P ქმნის პოტენციალს:

$$dV = f \frac{\rho(\vec{r}') dv'}{|\vec{r} - \vec{r}'|}, \quad (1)$$

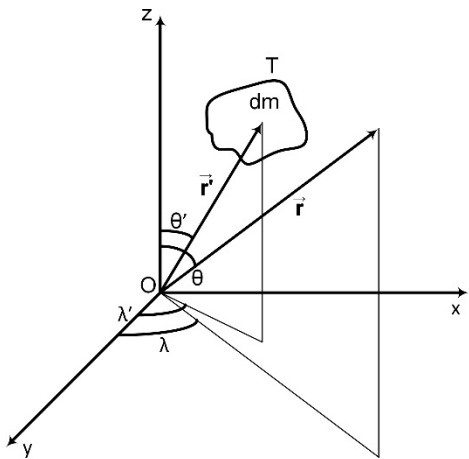
სადაც f არის გრავიტაციული მუდმივა.

მთელი სხეულის პოტენციალის მისაღებად T სხეულის მოცულობაზე ინტეგრირების წინ (1) ფორმულის მნიშვნელი გარდავქმნათ კოსინუსების თეორემის მეშვეობით:

$$\frac{1}{|\vec{r} - \vec{r}'|} = \frac{1}{r \sqrt{1 - 2 \frac{r'}{r} \cos \psi + \left(\frac{r'}{r}\right)^2}}. \quad (2)$$

ამ ფორმულის მარჯვენა მხარე წარმოადგენს ლექანდრის პოლინომების მუცარმუებულ ფუნქციას $\cos \psi$ არგუმენტით, სადაც ψ არის კუთხე \vec{r} და \vec{r}' რადიუს-ვექტორებს შორის. ეს ნიშნავს, რომ (2) გამოსაზულება შესაძლოა წარმოვადგინოთ მწერივის სახით r'/r შეფარდების ხარისხებით, რომელთა კოეფიციენტები იქნება ლექანდრის პოლინომები $P_n(\cos \psi)$, ანუ:

$$\frac{1}{|\vec{r} - \vec{r}'|} = \frac{1}{r} \sum_{n=0}^{\infty} P_n(\cos \psi) \left(\frac{r'}{r}\right)^n. \quad (3)$$



ნახაზი 1. თავისუფალი სხეულის გრავიტაციული პოტენციალის გამოთვლა.

თუ გადავალო r, θ, λ სფერულ კოორდინატებზე (ნახაზი 1), მაშინ (3) მწკრივის კოეფიციენტებში უცნობების გაყოფისთვის შეგვიძლია ვისარგებლოთ სფერული ფუნქციების შეკრების თეორემთ. ამ თეორემას შემდეგი სახე აქვს (თუ შემოვიღებთ აღნიშვნას $t = \cos \theta$):

$$P_n(\cos \psi) = P_n(t)P_n(t') + 2 \sum_{m=1}^n \frac{(n-m)!}{(n+m)!} P_n^m(t)P_n^m(t') \cos m(\lambda - \lambda'), \quad (4)$$

სადაც

$$P_n(t) = \frac{1}{2^n n!} \frac{d^n}{dt^n} (t^2 - 1)^n \quad (5)$$

ლეჭანდრის პოლინომებია, ზოლო

$$P_n^m(t) = (-1)^m (1-t^2)^{m/2} \frac{d^m}{dt^m} (P_n(t)) \quad (6)$$

ლეჭანდრის მიერთებული ფუნქციებია.

მარტივია დავრწმუნდეთ, რომ (5) გამოსახულების თანახმად $P_1(t) = t$. შესაბამისად, როცა $n = 1$, ფორმულა (4) იძლევა სფერული ტრიგონომეტრიის კოსინუსების ფორმულას. ამიტომ, შეკრების თეორემა შეგვიძლია განვიხილოთ, როგორც ამ ფორმულის გარკვეული განზოგადება.

თუ (4)-ს ჩავსვავთ (3)-ში, ზოლო (3)-ს – (1)-ში, ინტეგრირების შემდეგ მივიღებთ პოტენციალს მთელი სხეულისათვის:

$$\begin{aligned}
V = & \frac{f}{r} \left[P_n(t) \int_{(T)} \rho(\vec{r}') P_n(t') \left(\frac{r'}{r}\right)^n d\nu' + \right. \\
& + \sum_{n=1}^{\infty} \sum_{m=1}^n 2 \frac{(n-m)!}{(n+m)!} P_n^m(t) \cos m\lambda \int_{(T)} \rho(\vec{r}') P_n^m(t') \cos m\lambda' \left(\frac{r'}{r}\right)^{n'} d\nu' \\
& + \quad (7) \\
& \left. + \sum_{n=1}^{\infty} \sum_{m=1}^n 2 \frac{(n-m)!}{(n+m)!} P_n^m(t) \sin m\lambda \int_{(T)} \rho(\vec{r}') P_n^m(t') \sin m\lambda' \left(\frac{r'}{r}\right) d\nu' \right].
\end{aligned}$$

(7) მწკრივის წევრები გავამრავლოთ და გავყოთ $a^n M$ სიდიდეებზე, სადაც $a = \text{მოცუმული } \text{სხეულის \, დამახასიათებელი \, ზომაა \, (\text{გარსკვლავის \, ან \, პლანეტის \, ეკვატორული \, რადიუსი})$ და განუზღვრელი კოეფიციენტებისთვის შემოვიდოთ შემდეგი აღნიშვნები:

$$\begin{aligned}
J_n &= \frac{1}{a^n M} \int_{(T)} \rho(\vec{r}') P_n(t') r'^n d\nu' \\
C_n^m &= \frac{2}{a^n M} \frac{(n-m)!}{(n+m)!} \int_{(T)} \rho(\vec{r}') P_n^m(t') \cos m\lambda' d\nu' \\
S_n^m &= \frac{2}{a^n M} \frac{(n-m)!}{(n+m)!} \int_{(T)} \rho(\vec{r}') P_n^m(t') \sin m\lambda' d\nu'
\end{aligned} \tag{8}$$

აქედან, სხეულის გრავიტაციული პოტენციალი მის გარშემო სიგრცეში ტოლია:

$$\begin{aligned}
V = & \frac{fM}{r} \left[1 + \sum_{n=1}^{\infty} J_n P_n(t) \left(\frac{a}{r}\right)^n + \right. \\
& + \sum_{n=1}^{\infty} \sum_{m=1}^n (C_n^m \cos m\lambda + S_n^m \sin m\lambda) P_n^m(t) \left(\frac{a}{r}\right)^n \left. \right].
\end{aligned} \tag{9}$$

ამდენად, მივიღეთ თავისუფალი სხეულის გრავიტაციული პოტენციალის დაშლა $P(\vec{r})$ წერტილის კოორდინატების სფერულ ფუნქციებად. ანუ r მანძილის ხარისხობრივ მწკრივებად, θ პოლარული კუთხის ლექანდრის ფუნქციებად და λ გრძელის ფურიე მწკრივებად. აღნიშნოთ, რომ იგივე შედეგი შეიძლება

მივიღოთ თუ გავითვალისწინებთ, რომ გრავიტაციული პოტენციალი თავისუფალ სივრცეში აქმაყოფილებს დაპლასის განტოლებას, ხოლო სფერული ფუნქციები სწორედ ლაპლასის ოპერატორის საკუთარ ფუნქციებს წარმოადგენს.

(9) მწკრივის კოეფიციენტები სხეულის სიმკვრივის კერად მომენტებს წარმოადგენს. მწკრივის წევრების განმსაზღვრელ კოეფიციენტებს J_n , რომლებიც არ არიან დამოკიდებული λ გრძელზე და θ პოლარულ კუთხზე და ნოლის ტოლი ხდებიან პარალელებზე, **ზონალური** კოეფიციენტები ეწოდებათ. კოეფიციენტები C_n^n და S_n^n განსაზღვრავენ ჰარმონიკებს, რომლებიც არ არიან დამოკიდებული θ კუთხზე და ნოლს უტოლდებიან მერიდიანებზე. ბოლოს, კოეფიციენტები C_n^m და S_n^m როცა $m < n$, უტოლდება ნოლს სფერულ ტრაპეციებში, რომლებიც შედგება პარალელების და მერიდიანების შესაბამისი რკალებით (ანუ ტესერებით). ამიტომ მათ უწოდებენ **ტესერულ** კოეფიციენტებს.

განვსაზღვროთ (9) მწკრივის პირველი კოეფიციენტების ფიზიკური არსი. სფერულიდან მართკუთხა კოორდინატებზე გადასვლის ფორმულების გათვალისწინებით, როცა $n = 1$, მივიღებთ:

$$J_1 = \frac{z_c}{a}, \quad C_1^1 = \frac{x_c}{a}, \quad S_1^1 = \frac{y_c}{a}, \quad (10)$$

სადაც $x_c, y_c, z_c - T$ სხეულის მასათა ცენტრის კოორდინატებია.

ამდენად, $n = 1$ შემთვევაში მწკრივის კოეფიციენტები ტოლია სხეულის მასათა ცენტრის განუზღვრული კოორდინატების და შესაძლოა გავუტოლოთ ნოლს, თუ კოორდინატთა სისტემის ცენტრს დავამთხვევთ იმ სხეულის მასათა ცენტრს, რომლის გრავიტაციულ პოტენციალსაც ვეძებთ. სანამ გადავალთ $n = 2$ შემთხვევაზე, გავიხსნოთ, რომ სხეულის სიმკვრივის მეორე რიგის მომენტები ქმნიან ამ სხეულის **ინერციის ტენსორს**:

$$I = \begin{pmatrix} A & D & E \\ D & B & F \\ E & F & C \end{pmatrix}, \quad (11)$$

სადაც **ინერციის დურბული მომენტები** ტოლია:

$$\begin{aligned}
A &= \int_{(T)} \rho(\vec{r}') (y'^2 + z'^2) d\nu', \\
B &= \int_{(T)} \rho(\vec{r}') (x'^2 + z'^2) d\nu', \\
C &= \int_{(T)} \rho(\vec{r}') (x'^2 + y'^2) d\nu'
\end{aligned} \tag{12}$$

და ინურციის ცენტრიდანული მომენტები ტოლია:

$$\begin{aligned}
D &= - \int_{(T)} \rho(\vec{r}') x' y' d\nu', \\
E &= - \int_{(T)} \rho(\vec{r}') x' z' d\nu', \\
F &= - \int_{(T)} \rho(\vec{r}') y' z' d\nu'.
\end{aligned} \tag{13}$$

ფორმულების (12) და (13) და ასევე, სფერულ და მართვულოვან კოორდინატთა სისტემებს შორის დამაკავშირებელი ფორმულების გამოყენებით, გარკვეული გარდაქმნების შემდეგ, მივიღეთ, რომ:

$$\begin{aligned}
J_2 &= \frac{A + B - 2C}{2a^2 M}, \\
C_2^1 &= \frac{E}{a^2 M}, \quad C_2^2 = \frac{B - A}{4a^2 M}, \\
S_2^1 &= \frac{F}{a^2 M}, \quad S_2^2 = \frac{D}{a^2 M}.
\end{aligned} \tag{14}$$

ბოლოს აღვნიშნავთ, რომ ყოველთვის შეიძლება ავირჩიოთ კოორდინატთა ღერძების ისეთი მიმართულებები ანუ ინურციის მთავარი ღერძები, რომელთა მიმართ ინურციის ტენზორს დიაგონალური სახე აქვს. ამ დროს C_2^1 , S_2^1 და S_2^2 კოეფიციენტები ნოლის ტოლი გახდება.

განვიხილოთ გრავიტირებად სხეულში სიმკრივის განაწილების ზოგიერთი კერძო შემთხვევა:

- დავუშვათ მასათა განაწილება ემორჩილება სფერულ სიმეტრიას ანუ $\rho(\vec{r}') = \rho(r')$. მაშინ, ლექანდრის და ტრიგონომეტრიული ფუნქციების ორთოგონალობის გამო (9) მწყრივის ყველა კოეფიციენტი უდრის ნოლს, თუმცა $J_0 = 1$ და პოტენციალი ტოლია:

$$V = \frac{fM}{r}, \quad (15)$$

ამ შემთხვევაში სხეულის გრავიტაციული ველი ემთხვევა M წერტილოვანი მასის ველს, რომელიც იძყოფება სხეულის მასათა ცენტრში. ეს ფაქტი ჯერ კიდევ ისააკ ნიუტონისთვის იყო ცნობილი, თუმცა მას სხვანაირად ამტკიცებდა.

- ასეთივე შედეგი შეგვიძლია მივიღოთ, თუ განვიხილავთ გრავიტაციულ ველს ჩვენი სხეულიდან საკმარისად შორ მანილზე ანუ r -ის ისეთი მნიშვნელობებისათვის, რომლებიც იმდენად აღემატებიან სხეულის a ზომას, რომ შესაძლებელია უგულებელვყოთ $(a/r)^2$ და ასევე, უფრო მაღალი რიგის წევრები.
- სხეულს გააჩნია ლერძული სიმეტრია ანუ $\rho(\vec{r}') = \rho(r', \theta)$. ასეთ შემთხვევაში გაქრება ყველა სექტორული და ტესერული ჰარმონიკები, რადგან ყველა კოეფიციენტი $C_n^m = S_n^m = 0$ და გრავიტაციულ პოტენციალს მხოლოდ ზონალური ჰარმონიკები ექვება:

$$V = \frac{fM}{r} \left[1 + \sum_{n=2}^{\infty} J_n P_n(t) \left(\frac{a}{r} \right)^n \right]. \quad (16)$$

- თუ ასევე ადგილი აქვს ეკვატორული სიბრტყის მიმართ სიმეტრიას ანუ სხვანაირად რომ ვთქვათ, სიმკრივე არის $\varphi = \pi/2 - \theta$ გრძელის ლურჯი ფუნქცია, მაშინ ყველა კენტი ზონალური ჰარმონიკა ნოლის ტოლი ხდება და პოტენციალი შემდეგნაირად შეიძლება ჩავწეროთ:

$$V = \frac{fM}{r} \left[1 + \sum_{n=1}^{\infty} J_{2n} P_{2n}(t) \left(\frac{a}{r} \right)^{2n} \right]. \quad (17)$$

პუნქტი 2 წარმოადგენს რაოდენობრივ მტკიცებულებას, რომ ციური სხეულები, ერთმანეთისგან დიდი დაშორების გამო, შესაძლებელია განვიხილოთ როგორც მატერიალური წერტილები და საშუალებას გვაძლევს შევაფასოთ ამ

მიახლოების სიზუსტე ყოველ კონკრეტულ შემთხვევაში. გვიანდელი სპექტრული კლასის ერთმაგი გარსკვლავები (მაგალითად, მზე), რომელთა ღერძული ბრუნვა არ არის დიდი, საკმაოდ კარგად აკმაყოფილებენ 1 პუნტის პირობებს. გაზოვანი და თხევადი სხეულები (ადრეული სპექტრული კლასის სწრაფად მბრუნავი ვარსკვლავები, მჭიდრო ორჯერადი სისტემის კომპონენტები, გიგანტური პლანეტები) აკმაყოფილებენ 3 და 4 პუნქტების პირობებს. დედამიწის ტაპის მყარტანიანი პლანეტები და პლანეტების დიდი თანამგზავრები ასევე აკმაყოფილებენ ამ პირობებს, თუმცა ნაკლები სიზუსტით. მზის სისტემის სხეულების გრავიტაციული ველების მახასიათებლები მოყვანილია ცხრილში 1.

ზოგჯერ (კერძოდ, გრავიტაციული ანომალიების აღწერისას), უფრო მოხერხებულია ციური სხეულის გრავიტაციული ველის წარმოდგენა გრავიტაციული ძელტივების სახით ანუ როგორც მოცემული მასების გარკვეული სახით განლაგებული მატერიალური წერტილების ველების ერთობლიობა.

ასეთ შემთხვევაში, პოტენციალი ტოლია:

$$V = f \sum_{n=1}^N \frac{m_n}{|\vec{r} - \vec{r}_n|}, \quad (20)$$

შევნიშნავთ, რომ მოძრაობის განტოლებები გრავიტაციულ დიპოლში პოტენციალით

$$V = f \left(\frac{m_1}{|\vec{r} - \vec{r}_1|} + \frac{m_2}{||\vec{r} - \vec{r}_1||} \right) \quad (21)$$

ინტეგრირდება საბოლოო სახემდე. არსებობს სხვა ტიპის მიდგომებიც გრავიტაციული ველების აღწერისათვის, მაგალითად, სხვადასხვა რადიუსის დისკოების ერთობლიობა.

ცხრილი 1. მზის სისტემის სხეულების გრავიტაციული ველების მახასიათებლები

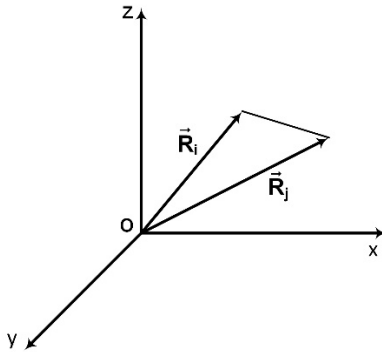
ობიექტი	$fM, \text{ს} \cdot \text{მ}^3/\text{წ}^2$	$J_n \cdot 10^6$				
		n=2	n=3	n=4	n=5	n=6
მზე	$1.33 \cdot 10^{26}$	<10	-	-	-	-
მერკური	$2.17 \cdot 10^{19}$	~ -100	-	-	-	-
ვენერა	$3.25 \cdot 10^{20}$	~ -4	-	-	-	-
დედამიწა	$3.99 \cdot 10^{20}$	-1083	2.54	1.58	0.22	0.59
მარსი	$4.30 \cdot 10^{19}$	-1959	30	-10	-6	-3
თუპიტერი	$1.27 \cdot 10^{23}$	-14733	-	-587	-	5
სატურნი	$3.79 \cdot 10^{22}$	-16479	-	-937	-	11
ურანი	$5.80 \cdot 10^{21}$	-3352	-	-29	-	-
ნეპტუნი	$7.05 \cdot 10^{21}$	-3411	-	-50	-	-
მთვარე	$4.90 \cdot 10^{18}$	-206	-37	33	-5	-

ლექცია 2. მრავალი სხეულის ამოცანის დასმა კოორდინატთა ინერციულ სისტემაში

ცის მექანიკის ცალკეული ამოცანების განხილვაზე გადასვლის წინ, უნდა გავითვალისწინოთ, რომ კლასიკურ მექანიკაში ყველა შესაძლო კოორდინატთა სისტემა იყოფა ორ კლასად – **ინერციული**, რომელშიც სრულდება ნიუტონის დინამიკის კანონები, და **არაინერციული**. არაინერციულ სისტემებში სამართლიანია ფარდობითი მოძრაობის განტოლებები, რომელთა არსი შეიძლება შემდეგნაირად გამოვხატოთ: ძალებს, რომლებიც მოქმედებენ მოცემულ სხეულზე სხვა სხეულების შხრიდან, უნდა დაუმატოთ ინერციის ძალა, რომელიც არაპრუნვადი სისტემების შემთხვევაში ტოლია მოცემული სხეულის მასის ნამრავლისა კოორდინატთა სისტემის სათავის აჩქარებაზე, აღებული საპირისპირო ნიშნით. თავისთავად ინერციის ძალის ცნება არც თუ ისე მარტივია. ის არ არის ძალა მატერიალურ ობიექტებს შორის ურთიერთქმედების გაგებით. თუმცა, ჩვენს შემთხვევაში, საკმარისია გამოვიყენოთ, როგორც არაინერციულ კოორდინატთა სისტემებში მოძრაობის განტოლების ჩაწერის მოხერხებული მეთოდი.

ასტრონომიული ამოცანების გადაწყვეტისას განხილული კოორდინატთა სისტემები დაკავშირებულია გარკვეულ ციურ სხეულებთან. იმისათვის, რომ ასეთი სისტემა იყოს ინერციული, საჭიროა, რომ ეს სხეულები არ ურთიერთქმედებინენ სხვა მატერიალურ ობიექტებთან. მკაცრად რომ ვთქვათ, ეს შეუძლებელია. ამიტომ, უნდა ვისაუბროთ ამა თუ იმ კოორდინატთა სისტემის ინერციულობის ან არაინერციულობის ხარისხზე. ზოგადად ასტრონომიაში, ინერციულთან მაქსიმალურად მიახლოებული კოორდინატთა სისტემის აგების ამოცანა წყდება ფუნდამენტური ასტრომეტრის მეშვეობით. შემდგომში, ჩვენ გამოვიყენებთ კოორდინატთა სისტემებს, რომლებიც განსაზღვრების დონეზე არიან ინერციულნი ან დავაზუსტებთ მათი ინერციულობის ხარისხს.

დავუშვათ მოცემული გვაქს $n + 1$ მატერიალური წერტილი M_0, M_1, \dots, M_n , რომელთა მასებია m_0, m_1, \dots, m_n . უნდა ვიპოვნოთ მათი რადიუს-ვექტორები, როგორც დროის ფუნქციები, თუ თითოეულ წერტილზე მოქმედებს მხოლოდ სისტემაში შემავალი დანარჩენი სხეულების მიზიდულობის ძალები. კოორდინატთა X, Y, Z ინერციულ სისტემაში M_i წერტილის მდებარეობა განისაზღვრება მისი \vec{R}_i რადიუს-ვექტორით (ნახაზი 2).



ნახაზი 2. რამდენიმე სხეულის ამოცანა კოორდინატთა ინტრიულ სისტემაში.

მაშინ მისი მოძრაობის განტოლება გამოისახება ნიუტონის მეორე კანონით და აქვს შემდეგი სახე:

$$m_i \ddot{\vec{R}}_i = f m_i \sum_{j=0}^n \frac{m_j (\vec{R}_j - \vec{R}_i)}{|\vec{R}_j - \vec{R}_i|^3}, \quad j \neq i. \quad (22)$$

განტოლების მარჯვენა მხარის მრიცხველში მოცემული ვექტორი განსაზღვრავს ძალის მიმართულებას, რომლიდნაც M_j წერტილი იზიდავს M_i წერტილს, ხოლო $M_j M_i$ მანძილის კუბი მნიშვნელში უზრუნველყოფს ძალის უპუქვადრატულ დამოკიდებულებას ამ მანძილზე. თუ i მიმდევრობით გაივლის 0-დან n -მდე მნიშვნელობებს, მაშინ (22) იძლევა სისტემას, რომელიც შედგება $n + 1$ ვექტორული დიფერენციალური ან $3(n + 1)$ სკალარული განტოლებისგან. თითოეულ განტოლებას აქვს მეორე სარისხი ანუ (22) განტოლებათა მთელი სისტემის სარისხი ტოლია $6(n + 1)$. კერძოდ, განტოლებათა სისტემას, რომელიც აღწერს მზის და ცხრა დიდი პლანეტის მოძრაობას, აქვს მე-60 სარისხი.

თუ შევძლებთ (22) დიფერენციალურ განტოლებათა სისტემის ზოგადი ამონასნის პონას, მაშინ იგი უნდა შეიცავდეს შესაბამისი რაოდენობის თავისუფალ წევრებს, ზოგად შემთხვევაში – $6(n + 1)$. მათი ამოხსნისათვის უნდა გვქონდეს საწყისი პირობები (კოშის აძლევა):

$$\vec{R}_i^{(0)} = \vec{R}_i(t_0), \quad \dot{\vec{R}}_i^{(0)} = \dot{\vec{R}}_i(t_0). \quad (23)$$

ე.ო. სისტემის ყველა წერტილის რადიუს-ვექტორის და სიჩქარეთა ვექტორის მნიშვნელობები დროის t_0 საწყის მომენტში ან ყველა რადიუს-ვექტორის მნიშვნელობები დროის ორ, t_1 და t_2 მომენტებში (სასზღვრო ამოცანა):

$$\vec{R}_i^{(1)} = \vec{R}_i(t_1), \quad \vec{R}_i^{(2)} = \vec{R}_i(t_2). \quad (24)$$

პირველ ამოცანასთან შეხება გვაქვს, მაგალითად, ხელოვნური კოსმოსური ობიექტის (დედამიწის ხელოვნური თანამგზავრის ან ავტომატური საპლანეტაშორისო სადგურის) ორბიტაზე გაყვანის შემთხვევაში, ხოლო მეორესთან – ციური სხეულის ორბიტის განსაზღვრისას მისი პოზიციური და კვირვებითი მონაცემების საფუძველზე.

განტოლებათა (22) სისტემა არაწრფივია და როცა $n > 1$ - არ ინტეგრირდება საბოლოო სახით. თუმცა, ამოცანის დასმის შესაბამისად მატერიალურ წერტილთა მოცემული სისტემა არის ჩაკეტილი და ამიტომ, მისთვის უნდა სრულდებოდეს შენახვის შესაბამისი კანონები. ამ უკანასკნელთ მათემატიკური თვალსაზრისით აქვთ $\Psi(\vec{R}_i, \dot{\vec{R}}_i, t)$ ფუნქციების სახე, რომლებიც უტოლდება მუდმივებს, თუ ფუნქციები $\vec{R}_i(t)$ და $\dot{\vec{R}}_i(t)$ აკმაყოფილებენ მოძრაობის განტოლებებს. ეს $\Psi(\vec{R}_i, \dot{\vec{R}}_i, t)$ ფუნქციები არ შეიცავს უმაღლეს წარმოებულებს და ამიტომ, ეწოდებათ დიფერენციალურ განტოლებათა (22) სისტემის პირველი ინტეგრალური. ისინი შეიცავს გარკვეულ ინფორმაციას ჩვენი სისტემის მატერიალური წერტილების მოძრაობის შესახებ.

კერძოდ, ყოველი პირველი ინტეგრალი საშუალებას გვაძლევს დავადაბლოთ სისტემის ხარისხი ერთი ერთულით, ხოლო დამოუკიდებელი პირველი ინტეგრალების პონა რაოდენობით, რომელიც ტოლია განტოლებათა სისტემის ხარისხის, ტოლფასია მისი ინტეგრირებისა. გარკვეული მოსაზრებებით, რომლებსაც შევეხებით მოგვიანებით, მიზანშეწონილია მრავალი სხეულის ამოცანის პირველი ინტეგრალები მიზიდოთ უშუალოდ, მექანიკის ზოგადი თეორემების მოშველიების გარეშე და ამისათვის ვისარგებლოთ განსახილველი ამოცანის ძალოვანი ფუნქციით.

თავდაპირველად გავაკეთოთ ორი შენიშვნა. პირველი შენიშვნა ეხება იმას, რომ (22) სისტემის თითოეული განტოლება შეიძლება შევკვეცოთ არანულოვან m_i მასაზე. თუმცა, ალგებრული თვალსაზრისით ამ ტრივიალურ ვითარებას – ყველა მატერიალური ობიექტის ინერციის სიდიდის და გრავიტაციული თვისებების სიდიდის ტოლობას (გრავიტაციული მედმივას გარკვეული მნიშვნელობისათვის), აქვს ღრმა ფიზიკური აზრი.

კლასიკურ ფიზიკაში ეს ექსპერიმენტულად და საკმაოდ მაღალი სიზუსტით დადგენილი ფაქტია. ამ ფაქტის ფუნდამენტურმა მნიშვნელობამ, რომელიც დაკავშირებულია მის საყოველთაობასთან, მიიყვანა ალბერტ

ეინშტინი ზოგადი ფარდობითობის თეორიის შექმნამდე. მეორე შენიშვნა – ტერმინლოგიურია. განსახილველ ამოცანას ეწოდება მრავალი სხეულის ამოცანა, თუმცა მასში საუბარია მატერიალური წერტილების მოძრაობაზე. ტერმინლოგიის ასეთი ცნობილი უზუსტობა, რომლიც დამტკიცირებულია ტრადიციულად, მოუთითებს სწორედ იმაზე, რომ ცის მექანიკის საფუძვლები იქმნებოდა საკმაოდ დიდი ნის წინ, ჯერ კიდევ მანამდე, ვიდრე ჩამოყალიბდებოდა თანამედროვე მკაცრი მოთხოვნები გამოყენებული ტერმინლოგიის მიმართ. მაგალითად, ნაცვლად გამოთქმისა „მოძრაობა კოორდინატთა ინერციულ სისტემაში“ დღესაც კი ზოგჯერ გამოიყენება გამოთქმა „მოძრაობა აბსოლუტურ დერმძებში“, ხოლო მოძრაობას კოორდინატთა არაინერციულ სისტემაში ეწოდება „ფარდობითი მოძრაობა“, თუმცა ყველა მოძრაობა ფარდობითია.

ძალოვანი ფუნქცია ეწოდება სისტემის ყველა წერტილის კოორდინატების ისეთ U ფუნქციას, როცა განტოლებათა (22) სისტემის i -ური განტოლების მარჯვენა მხარე არის ამ ფუნქციის გრადიენტი და განიხილება როგორც i -ური წერტილის კოორდინატების ფუნქცია და რასაც შემდეგნაირად ჩავწერთ: $\text{grad}_i U$. უშუალო გამოთვლებით შეიძლება ვაჩვენოთ, რომ მრავალი სხეულის ამოცანის ძალოვანი ფუნქცია ტოლია:

$$U = \frac{f}{2} \sum_{i=0}^n \sum_{j=0}^n \frac{m_i m_j}{\Delta_{ij}}, \quad j \neq i, \quad (25)$$

სადაც $\Delta_{ij} = |\vec{R}_j - \vec{R}_i|$. ნამრავლი $1/2$ ჩნდება (25) გამოსახულების სიმეტრიის გამო i და j ონდექსების მიმართ. ამის შემდეგ განტოლებათა (22) სისტემა შესაძლებელია ჩავწეროთ უფრო კომპაქტურად:

$$\ddot{m_i \vec{R}} = \text{grad}_i U, \quad i = 0, 1, \dots, n \quad (26)$$

როგორც ვხედავთ, U ძალოვანი ფუნქცია დადებითია, თუ სისტემის ყველა წერტილი იმყოფება ერთმანეთისგან სასრულ არა-ულოვან მანძილზე და მისისწრაფის ნულისკენ მხოლოდ მაშინ, როცა სისტემის ყველა წერტილი შორდება ერთმანეთს უსასრულოდ.

დავადგინოთ (25) ძალოვანი ფუნქციის ზოგიერთი თვისება და ამისათვის ვისარგებლოთ კოორდინატთა სისტემის არჩევის თავისუფლებით (მისი ინერციულობის ფარგლებში). ამასთან, მნიშვნელოვანია, რომ ეს თავისუფლება დაკავშირებულია სივრცისა და დროის ფუნდამენტურ თვისებებთან – სივრცის ერთგვაროვნებას და იზოტროპულობასთან და დროის ერთგვაროვნებასთან.

სივრცის ერთგვაროვნება ნიშნავს, რომ კოორდინატთა სისტემის სათავე შესაძლებელია განვათავსოთ სივრცის ნებისმერ წერტილში. კოორდინატთა სისტემის სათავე გადავიტანოთ წერტილში, რომელიც განისაზღვრება უსასრულოდ მცირე რადიუს-ვექტორით $d\vec{R}$. ამასთან, სისტემის ყველა წერტილის რადიუს-ვექტორი შეიცვლება $-d\vec{R}$ სიდიდით. ძალოვანი ფუნქციის შესაბამისი ცვლილება მრავალუცნობიანი ფუნქციის დიფერენციალების წესის თანახმად ტოლია:

$$dU = - \sum_{i=0}^n grad_i U \cdot d\vec{R}. \quad (27)$$

Δ_{ij} მანძილი ამ დროს არ შეიცვლება, ამიტომ, U ფუნქციაც არ შეიცვლის თავის მნიშვნელობას ანუ $dU = 0$. $d\vec{R}$ თანამამრავლის თავისუფალი მნიშვნელობის გამო უნდა სრულდებოდეს შემდეგი ტოლობა:

$$\sum_{i=0}^n grad_i U = 0. \quad (28)$$

ცხადია, რომ (28) ტოლობა შესაძლებელია ასევე განვიხილოთ როგორც ნიუტონის მესამე კანონის შედეგი.

სივრცის იზოტროპულობა ნიშნავს ყველა მიმართულების თანაბარუფლებიანობას და კოორდინატთა დერძების მიმართულების თავისუფლად არჩევის შესაძლებლობას. შედეგად, ძალოვანი ფუნქციაც გაუტოლდება ნოლს, თუ კოორდინატთა სისტემას მოგაბრუნებთ უსასრულოდ მცირე კუთხით, რომელსაც აღვნიშნავთ მობრუნების ვექტორით $d\vec{\varphi}$. ამ ვექტორის მიმართულებია გვაძლევს მობრუნების დერძს, ხოლო მისი სიდიდე – ამ დერძის გარშემო მობრუნების კუთხეს. ვისარგებლოთ ტოლობით $\dot{\vec{R}}_i = \vec{\omega} \times \vec{R}_i$ და $\vec{\omega} = d\vec{\varphi}/dt$ და მივიღებთ, რომ $d\vec{R}_i = d\vec{\varphi} \times \vec{R}_i$. შესაბამისად,

$$dU = \sum_{i=0}^n grad_i U \cdot d\vec{\varphi} \times \vec{R}_i = 0. \quad (29)$$

თუ შერულ ვექტორულ ნამრავლში სკალარული და ვექტორული ნამრავლის მიმდევრობას შევცვლით, მობრუნების ვექტორის თავისუფლების გამო მივიღებთ, რომ:

$$\sum_{i=0}^n grad_i U \times \vec{R}_i = 0, \quad (30)$$

ანუ დახურული სისტემის ძალის მომენტების ჯამი ტოლია ნოლის.

დროის ერთგვაროვნება საშუალებას გვაძლევს თავისუფლად ავირჩიოთ მისი დაწყების მომენტი. თუ წავანაცვლებთ ამ მომენტს dt სიდიდით, მაშინ ძალოვანი ფუნქციის ცვლილება, არაცხადად მოცემული ფუნქციის დიფერენცირების წესის გათვალისწინებით, ტოლი იქნება:

$$dU = \sum_{i=0}^n \text{grad}_i U \cdot \vec{R}_i \cdot dt. \quad (31)$$

ამის შემდეგ, გამოვიყენოთ ძალოვანი ფუნქციის თვისებები მრავალი სხეულის ამოცანის პირველი ინტეგრალების მისაღებად.

ავჯამოთ (26) განტოლებები i ინდექსით 0-დან n -დან. (28) პირობის გამო გვექნება:

$$\sum_{i=0}^n m_i \ddot{\vec{R}}_i = 0. \quad (32)$$

მოვახდინოთ (32) განტოლებების ინტეგრირება მიმდევრობით ორჯერ და მივიღებთ:

$$\sum_{i=0}^n m_i \dot{\vec{R}}_i = \vec{a}, \quad \sum_{i=0}^n m_i \vec{R}_i = \vec{a}t + \vec{b}, \quad (33)$$

სადაც \vec{a} და \vec{b} - ინტეგრირების თავისუფალი ვექტორული მუდმივებია. თუ შემოვიღებთ აღნიშვნას:

$$m = \sum_{i=0}^n m_i \quad (34)$$

და გავიხსენებთ, რომ რადიუს-ვექტორი:

$$\vec{R}_C = \frac{1}{m} \sum_{i=0}^n m_i \vec{R}_i \quad (35)$$

განსაზღვრავს მატერიალური წერტილების სისტემის **მასათა ცენტრის** (ინერციის ცენტრის) მდებარეობას, მაშინ (33)-ის პირველ ინტეგრალებს შემდეგი სახე ექნებათ:

$$\dot{\vec{R}}_C = \frac{\vec{a}}{m}, \quad \vec{R}_C = \frac{\vec{a}}{m}t + \frac{\vec{b}}{m}, \quad (36)$$

რომელიც აჩვენებს მათ ფიზიკურ არსეს – სისტემის მასათა ცენტრი მოძრაობს თანაბრად და წრფივად. ამიტომ, ამ პირველ ინტეგრალებს უწოდებენ **მასათა**

ცენტრის ძრავების მიზანი. აქედან, თუ მასათა ცენტრში მოვათავსებთ კოორდინატთა სისტემის სათავეს, მაშინ ასეთი კოორდინატთა პარაცენტრული სისტემა იწება ინერციული.

იმისათვის, რომ გამოვიყენოთ (30) ტოლობა, თითოეული განტოლება (26)-დან გავამრავლოთ ვექტორულად \vec{R}_i რადიუს-ვექტორზე მარცხნიდან და ავაჯამოთ ეს ნამრავლი i ინდექსით 0-დან n -მდე. მივიღებთ:

$$\sum_{i=0}^n m_i \vec{R}_i \times \ddot{\vec{R}} = 0. \quad (37)$$

მივუმატო (37)-ს ცხადი ტოლობა:

$$\sum_{i=0}^n m_i \dot{\vec{R}} \times \dot{\vec{R}} = 0, \quad (38)$$

და მივიღებთ:

$$\sum_{i=0}^n m_i (\vec{R}_i \times \ddot{\vec{R}} + \dot{\vec{R}} \times \dot{\vec{R}}) = \frac{d}{dt} \left(\sum_{i=0}^n m_i \vec{R} \times \dot{\vec{R}} \right) = 0, \quad (39)$$

საიდანაც ინტეგრირებით მივიღებთ, რომ:

$$\sum_{i=0}^n m_i \vec{R} \times \dot{\vec{R}} = \vec{c}. \quad (40)$$

რადგან $m_i \dot{\vec{R}}_i$ სიდიდე – i -ური წერტილის იმულის, თითოეული შესაკრები (40)-ში ტოლია ამ წერტილის იმულის მომენტის (კინეტიკური მომენტის), ხოლო ინტეგრირების მუდმივა \vec{c} – ჩვენი სისტემის კინეტიკური მომენტია. აქედან გამომდინარე, (40) პირველ ინტეგრალს მომენტების ინტეგრალს უწოდებენ.

ბოლოს, (26)-ის i -ური განტოლების $\dot{\vec{R}}_i$ ვექტორულ სიჩქარეზე სკალარული გამრავლებით, ხოლო შემდგომ ყველა განტოლების შეკრებით და (31) დამოკიდებულების გამოყენებით, მივიღებთ:

$$\sum_{i=0}^n m_i \vec{R} \cdot \dot{\vec{R}} = \sum_{i=0}^n grad_i U \cdot \dot{\vec{R}}. \quad (41)$$

თუ სიჩქარის ვექტორის მოდულს აღვნიშნავთ V_i , მაშინ (41) შეგვიძლია გადავწეროთ შემდეგი სახით:

$$\frac{1}{2} \frac{d}{dt} \left(\sum_{i=0}^n m_i V_i^2 \right) = \frac{dU}{dt}, \quad (42)$$

რაც საბოლოოდ გვაძლევს:

$$\frac{1}{2} \sum_{i=0}^n m_i V_i^2 = U + h. \quad (43)$$

მარცხნიდან (43) ტოლობაში გვხვდება T სისტემის კინეტიკური ენერგიის გამოსახულება და ამიტომ (43) პირველ ინტეგრალს შეგვიძლია მივცეთ შემდგი სახე:

$$T - U = h, \quad (44)$$

რომელიც ხაზს უსვამს მისი, როგორც ენერგიის შენახვის კანონის ფიზიკურ არს და განსაზღვრავს მის სახელწოდებას – **ენერგიის ინტეგრალი**, ასევე აზუსტებს ძალოვანი ფუნქციის ფიზიკურ არს – იგი არის სისტემის პოტენციალური ენერგია შებრუნვული ნიშნით.

ნაპოვნი ოთხი პირველი ინტეგრალიდან სამს აქვს ვექტორული სახე, ხოლო ერთს – სკალარული. ამდენად, ჩვენ ვაძოვნეთ მრავალი სხეულის ამოცანის მხოლოდ ათი ეწ. **კლასიკური პირველი ინტეგრალი**. თავიანთი არსებობით ეს ინტეგრალები, ისევე როგორც ძალოვანი ფუნქციის შესაბამისი თვისებები, განკირობებულია სივრცისა და დროის გარკვეული თვისებებით – სივრცის ერთგვაროვნებით და იზოტროპულობით და დროის ერთგვაროვნებით.

განვსაზღვრავთ რა დაკვირვებებით, რომ ციური სხეულების, მათ შორის ყველაზე შორეულის, მოძრაობა მრავალი სხეულის ამოცანის მოდელში აკმაყოფილებს ამ კანონებს, ჩვენ ამით ვადგენთ სამყაროს სხვადასხვა უბნებში სივრცისა და დროის მითითებული ფუნდამენტალური თვისებების სამართლიანობას.

ისმება კითხვა – არსებობს თუ არა მრავალი სხეულის ამოცანაში სხვა ინტეგრალები, გარდა ათი კლასიკური ინტეგრალისა. XIX საუკუნის ბოლოს, ზოგიერთი მათემატიკოსის და მექანიკოსის ძალისხმევით მიღებულ იქნა პრაქტიკულად უარყოფითი პასუხი ამ კითხვაზე – დამტკაცებულია, რომ არ არსებობს პირველი ინტეგრალები მეტ-ნაკლებად მარტივი მათემატიკური

ბუნებით, კერძოდ – ისეთი პირველი ინტეგრალები, რომლებიც იქნებოდნენ კოორდინატების, სიჩქარეების და დროის ფალსახა ანალიტიკური ფუნქციები.

არსებული ათი კლასიკური პირველი ინტეგრალი საშუალებას იძლევა შევამციროთ ამ ამოცანის დიფერენციალურ განტოლებათა სისტემის რიგი ათი ერთეულით. ამ რიგის კიდევ ორი ერთეულით შემცირება შეგვიძლია (22) განტოლებების მარჯვენა მხარეების თავისებურებებით, კერძოდ, მათი დამოკიდებულებით მხოლოდ სისტემის წერტილების კოორდინატთა სხვაობებზე და მათი დამოკიდებლობით არგუმენტზე ანუ t დროზე.

ამდენად, შეგვიძლია შევამციროთ სისტემის რიგი 12 ერთეულით. ეს საკმარისი არ არის თუნდაც სამი სხეულის ამოცანის ინტეგრირებისათვის, რომელსაც მე-18 რიგი აქვს. თუმცა, საკმარისია ორი სხეულის ამოცანის ამოხსნის მისაღებად.

(22) სისტემის რიგის შემცირება სხვადასხვა მეთოდებით არის შესაძლებელი. გარდა ამისა, შესაძლებელია მივიღოთ ახალი დამოკიდებულებები, რომლებსაც გააჩნიათ გარკვეული ფიზიკური არსი. მოვიყვანთ ორ მათგანს:

$$\ddot{I} = 2U + 4h, \quad (45)$$

სადაც

$$I = \sum_{i=0}^n m_i R_i^2 \quad (46)$$

ტოლია სისტემის ინერციის მომენტის კოორდინატთა სისტემის სათავის მიმართ და

$$\ddot{R} = 2U + 4h_C, \quad (47)$$

სადაც

$$R = \frac{1}{2m} \sum_{i=0}^n \sum_{j=0}^n m_i m_j \Delta_{ij}^2, \quad h_C = h - \frac{a^2}{2m}. \quad (48)$$

მუდმივა h_C არის სისტემის სრული ენერგია მისი მასათა ცენტრის მიმართ. (47) დამოკიდებულება ცნობილია ლავრანგი-იაკობის ტოლობის სახელით.

ავიღოთ სისტემის მასათა ცენტრის წერტილი C და მომენტის მუდმივი ვექტორი \vec{C} . ეს საშუალებას მოგვცემს განვიხილოთ სიბრტყე, რომელიც გადის C წერტილზე და გააჩნია ნორმალური ვექტორი \vec{c} . ამ სიბრტყეს, რომელიც

ინარჩუნებს სივრცეში თავის ორიენტაციას და გადაადგილდება თანაბრად თავისი თავის პარალელურად, ეწოდება **ლაპლასის უცვლელი სიბრტყე**. იგი შესაძლოა გამოვიყენოთ, როგორც მრავალი სხულის ამოცანაში კოორდინატთა სისტემის ძირითადი სიბრტყე.

ლექცია 3. მრავალი სხეულის ამოცანის დასმა კოორდინატთა ბარიცენტრულ და ფარდობით სისტემებში

მრავალი სხეულის ამოცანა კოორდინატთა ბარიცენტრულ სისტემაში
 როგორც უპიტ აღვნიშნეთ, კოორდინატთა ბარიცენტრული სისტემა მრავალი სხეულის ამოცანის შემთხვევაში წარმოადგენს ონერციულს. ამიტომ, თუ მის ღერძებს აღვნიშნავთ ξ, η, ζ , ხოლო რადიუს-ვექტორებს - \vec{r}_i , მაშინ (22)-ის საფუძველზე მოძრაობის განტოლება ამ კოორდინატთა სისტემაში შეგვიძლია შემდეგნაირად ჩავწეროთ:

$$m_i \ddot{\vec{r}}_i = f m_i \sum_{j=0}^n m_j \frac{\vec{r}_j - \vec{r}_i}{\Delta_{ij}^3}, \quad j \neq i, i = 0, 1, \dots, n. \quad (49)$$

ამავე დროს, ბარიცენტრული რადიუს-ვექტორები და კავშირებულია ერთმანეთთან შემდეგი დამოკიდებულებით:

$$\sum_{j=0}^n m_j \vec{r}_j = 0, \quad (50)$$

რომელიც საშუალებას გვაძლევს გამოვრიცხოთ (49) განტოლებიდან ნებისმიერი წერტილის რადიუს-ვექტორი, მაგალითად, M_0 წერტილის. ამიტომ გვექნება:

$$\vec{r}_0 = \frac{1}{m} \sum_{j=1}^n m_j \vec{r}_j. \quad (51)$$

თუ (51)-ს ჩავსვავთ (49)-ში და j ინდექსიან ჯამებში გამოვყოფთ ნულოვან და i -ურ შესაკრებლებს, მივიღეთ შემდეგი სახის მოძრაობის განტოლებებს კოორდინატთა ბარიცენტრულ სისტემაში:

$$\ddot{\vec{r}}_i + \mu_i \frac{\vec{r}_i}{\Delta_{i0}^3} = f \sum_{j=1}^n m_j \left(\frac{\vec{r}_j - \vec{r}_i}{\Delta_{ij}^3} - \frac{\vec{r}_j}{\Delta_{j0}^3} \right),$$

$$\mu_i = f(m_0 + m_i), \quad j \neq i, \quad i = 1, 2, \dots, n. \quad (52)$$

თუ პირველ ინტეგრალებში გამოვრიცხავთ \vec{r}_0 და $\dot{\vec{r}}_0$ ვექტორებს, დავინახავთ, რომ მასათა ცენტრის ინტეგრალები იგივერად სრულდება,

როგორც ეს უნდა იყოს ბარიცენტრულ კოორდინატთა სისტემაში, ხოლო მომენტების და ენერგიის ინტეგრალები იღებენ შემდეგ სახეს:

$$\begin{aligned} \sum_{i=1}^n m_i \vec{\rho}_i \times \dot{\vec{\rho}}_i + \frac{1}{m} \left(\sum_{i=1}^n m_i \vec{\rho} \times \sum_{i=1}^n m_i \dot{\vec{\rho}}_i \right) &= \vec{c} \\ \frac{1}{2} \sum_{i=1}^n m_i V_i^2 + \frac{1}{2m} |m_i \dot{\vec{\rho}}_i|^2 &= U + h \end{aligned} \quad (53)$$

მართალია, მოძრაობის განტოლებას და მომენტების და ენერგიის ინტეგრალებს უფრო რთული სახე მიეცათ, მაგრამ განტოლებათა სისტემის რიგი შემცირდა ექვსი ერთეულით მასათა ცენტრის ინტეგრალების გამოყენების სარჯაზე.

მრავალი სხეულის ამოცანა კოორდინატთა ფარდობით სისტემაში

რადგან ჩვენ განვიხილავთ მატერიალური წერტილების მოძრაობას ისე, რომ არ ვთვალისწინებთ სხვა მატერიალური წერტილების არსებობას, ამიტომ, კოორდინატთა არაინერციული სისტემა შეიძლება იყოს მხოლოდ ის სისტემა, რომელიც დაკავშირებულია ერთ-ერთ ამ წერტილთან. დავუშვათ ეს არის წერტილი M_0 . ასეთი ფარდობითი კოორდინატთა სისტემის ღერძები აღვნიშნოთ x, y, z და დანარჩენი წერტილების რადიუს-ვექტორები - \vec{r}_i ($i = 1, 2, \dots, n$). ამ წერტილების მოძრაობის განტოლების ჩაწერის მიზნით ვისარგებლოთ წესით, რომელიც ჩამოყალიბებულია წინა ლექციისში:

$$m_i \ddot{\vec{r}}_i = f m_i \sum_{j=0}^n m_j \frac{\vec{r}_j - \vec{r}_i}{\Delta_{ij}^3} - f m_i \sum_{j=1}^n m_j \frac{\vec{r}_j}{r_j^3}, \quad j \neq i, \quad i = 1, 2, \dots, n \quad (54)$$

აქ პირველი ჯამი არის ძალების ჯამი, რომლებიც მოქმედებენ i -ურ წერტილზე სისტემის სხვა წერტილების მხრიდან, მეორე ჯამი - ინერციის ძალების ჯამი, რომლებიც განპირობებულია M_0 წერტილის ანუ კოორდინატთა სისტემის სათავის აჩქარებით, სისტემის ყველა სხვა წერტილის ზემოქმედებით i -ური წერტილის ჩათვლით. პირველ ჯამში $j = 0$ შესაკრებლის, ხოლო მეორე ჯამში - $j = 1$ შესაკრებლის გამოყოფით, განტოლებათა სისტემა გადავწეროთ შემდეგი სახით:

$$\ddot{\vec{r}}_i + \mu_i \frac{\vec{r}_i}{r_i^3} = f \sum_{j=1}^n m_j \left(\frac{\vec{r}_j - \vec{r}_i}{\Delta_{ij}^3} - \frac{\vec{r}_j}{r_j^3} \right), \quad \mu_i = f(m_0 + m_i), \quad i = 1, 2, \dots, n. \quad (55)$$

იმის გამო, რომ ასტრონომიის ცალკეულ ამოცანებში შესწავლება ციური სხეულების სწორედ ფარდობითი მოძრაობა, დიფერენციალურ განტოლებათა (55) სისტემა 6n თანრიგით, ერთ-ერთი უმთავრესია ცის მექნიკაში. ამოცანის ასეთი დასმა განსაკუთრებით მიზანშეწონილია იმ შემთხვევებში, როდესაც M_0 წერტილის მასა მნიშვნელოვნად აღემატება სისტემის ყველა სხვა წერტილის მასას, როგორც ამას ადგილი აქვს სისტემაში „მზე-პლანეტები“ ან „პლანეტა-თანამგზავრები“. რადგან მასა m_0 შედის (55) განტოლების მარცხნა მხარეში და არ შედის მის მარჯვენა მხარეში, ამიტომ მარჯვენა მხარეების აპსოლუტური მნიშვნელობები შედარებით მცირეა ვიდრე განტოლების მარცხნა მხარეები. აქედან გამომდინარებს, რომ მცირე M_i მასის მქონე ყოველი წერტილის მოძრაობა (ყოველ შემთხვევაში, დროს გარკვეულ მონაკვეთში) მცირედ განსხვავდება მოძრაობისგან ორი სხეულის ამოცანაში ანუ M_i წერტილის მოძრაობა M_0 წერტილის მიმართ მხოლოდ ამ უკანასკნელის ზემოქმედებით. რადგან ამ უკანასკნელი ამოცანის ინტეგრირება შესაძლებელია საბოლოო სახით, ამიტომ ფარდობითი მოძრაობა მრავალი სხეულის ამოცანაში შესაძლებელია მიახლოებით შევისწავლოთ შეშფოთებათა თეორიის ამა თუ იმ მეთოდით. მოძრაობას ორის სხეულის ამოცანაში ეწოდება **არაშეშფოთებული**, ხოლო მოძრაობას, რომელიც აღიწერება განტოლებით:

$$\ddot{\vec{r}}_i + \mu_i \frac{\vec{r}_i}{r_i^3} = \vec{F}_i, \quad (56)$$

თანაც ადგილი აქვს შემდეგ პირობას $F_i \ll \mu_i/r_i^2$, ეწოდება **შეშფოთებული**. დავუბრუნდეთ მრავალი სხეულის ამოცანის (55) განტოლებებს და შემოვიდოთ შემაშფოთებული (ანუ პერტურბაციული) ფუნქციები:

$$R_i = f \sum_{j=1}^n m_j R_{ij}, \quad j \neq i, \quad (57)$$

სადაც

$$R_{ij} = \frac{1}{\Delta_{ij}} - \frac{\vec{r}_j \cdot \vec{r}_i}{r_j^3}, \quad j \neq i, \quad (58)$$

შედეგად, ფარდობითი მოძრაობის განტოლებას შემდეგი სახე ექნება:

$$\ddot{\vec{r}}_i + \mu_i \frac{\vec{r}_i}{r_i^3} = grad_i R_i, \quad i = 1, 2, \dots, n. \quad (59)$$

შევნიშნავთ, რომ უტოლობიდან $m_0 \gg m_i$ ასევე გამომდინარეობს, რომ კოორდინატთა სისტემა, რომელიც დაკავშირებულია M_0 წერტილთან, საკმაოდ ახლოა ინერციულთან, მაშინ როცა კოორდინატა სისტემები, რომელთა ათვლის სათავეები მოთავსებულია ერთ-ერთ M_i წერტილში, მნიშვნელოვნად არაინერციულია. სწორედ ამაში მდგომარეობს განსხვავება ჰელიოცენტრულ და გეოცენტრულ სისტემებს შორის ფიზიკური თვალსაზრისით.

სანამ გადავალოთ ფარდობით მოძრაობაში მრავალი სხეულის ამოცანის პირველი ინტეგრალების განხილვაზე, პირველ რიგში უნდა აღვნიშნოთ, რომ კოორდინატთა არაინერციულ სისტემაში არ შეიძლება ადგილი ჰქონდეს მასათა ცენტრის ინტეგრალებს, რადგან იგი მოძრაობს აჩქარებით. მომენტების და ენერგიის ინტეგრალები შეიძლება მივიღოთ, თუ გავიხსენებთ, რომ წერტილების რადიუს-ვექტორები ბარიცენტრულ და ფარდობით კოორდინატთა სისტემებში ურთიერთკავშირშია შემდეგი დამოკიდებულებით: $\vec{p}_i = \vec{r}_i + \vec{\rho}_0$, რომელიც (51)-ის გათვალისწინებით, ჩაიწერება შემდეგნაირად:

$$\vec{p}_i = \vec{r}_i + \frac{1}{m} \sum_{j=1}^n m_j \vec{\rho}_j. \quad (60)$$

(53) პირველ ინტეგრალებში ბარიცენტრულიდან ფარდობით კოორდინატებზე გადასვლასას, მივიღებთ მომენტების და ენერგიის ინტეგრალებს მრავალი სხეულის ფარდობით ამოცანებში:

$$\sum_{i=1}^n m_i \vec{r}_i \times \dot{\vec{r}}_i - \frac{1}{m} \sum_{i=1}^n m_i \vec{r} \times \sum_{i=1}^n m_i \dot{\vec{r}} = \vec{c} \quad (61)$$

და

$$\frac{1}{2} \sum_{i=1}^n m_i V_i^2 - \frac{1}{2m} \left| \sum_{i=1}^n m_i \dot{\vec{r}}_i \right|^2 = h \quad (62)$$

ამდენად, მრავალი სხეულის ფარდობით ამოცანაში არსებობს მხოლოდ ოთხი კლასიკური პირველი ინტეგრალი.

ზემოთ თქმულიდან გამომდინარეობს ფუნდამენტური როლი, რომელსაც ასრულებს ორი სხეულის ამოცანა ცის მექანიკაში. შემდეგ ლექციებში მივიღებთ ამ ამოცანის ზოგად ამოხსნას და გამოვიყენეთ კეპლერისეული მოძრაობის ცალკეულ ტიპებს.

ლექცია 4. ორი სხეულის ამოცანა

ცხადია, ორი სხეულის ამოცანის განტოლება შესაძლებელია განვიხილოთ როგორც მრავალი სხეულის ამოცანის განტოლების კერძო შემთვევა როცა $n = 1$. მაგრამ ჩვენ არ ვისარგებლებთ ამ მიღვომით, რათა საკითხის შემდგომი განხილვა გავხადოთ წინა ლექციებში მოცემული მასალისგან დამოუკიდებელი.

დავიწყოთ მოძრაობის განხილვა კოორდინატთა X, Y, Z ინტრიულ სისტემაში. გვაქვს M_0 და M_1 მატერიალური წერტილები მასებით m_0 და m_1 და რადიუს-ვექტორებით \vec{R}_0 და \vec{R}_1 (იხ. ნახაზი 3). ნაუტონის მეორე კანონი და შეოფლიო მიზადულობის კანონი გვაძლევს ამ წერტილების მოძრაობის შემდეგ განტოლებას:

$$\begin{aligned} m_0 \ddot{\vec{R}}_0 &= f m_0 m_1 \frac{\vec{R}_1 - \vec{R}_0}{|\vec{R}_1 - \vec{R}_0|^3} \\ m_1 \ddot{\vec{R}}_1 &= f m_0 m_1 \frac{\vec{R}_0 - \vec{R}_1}{|\vec{R}_0 - \vec{R}_1|^3} \end{aligned} \quad (63)$$

სადაც f - გრავიტაციული მუდმივა.

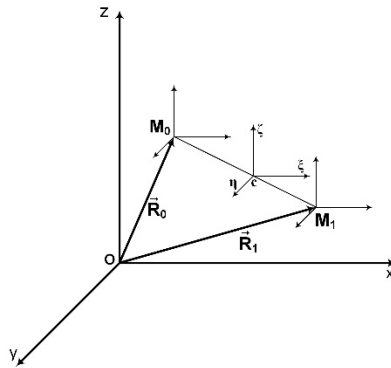
მიგიღებთ მე-12 რიგის დიფერენციალურ განტოლებათა სისტემას, რომელთაც უნდა დავუმატოთ საწყისი პირობები:

$$\vec{R}_{0,1}^{(0)} = \vec{R}_{0,1}(t_0), \quad \dot{\vec{R}}_{0,1}^{(0)} = \dot{\vec{R}}_{0,1}(t_0) \quad (64)$$

ან სასაზღვრო პირობები:

$$\vec{R}_{0,1}^{(1)} = \vec{R}_{0,1}(t_1), \quad \dot{\vec{R}}_{0,1}^{(2)} = \dot{\vec{R}}_{0,1}(t_2) \quad (65)$$

ათი კლასიკური ინტეგრალის არსებობა, (63) განტოლების მარჯვენა მხარეების დამოკიდებულება მხოლოდ M_0 და M_1 წერტილების კოორდინატთა სხვაობაზე და მათი დამოუკიდებლობა t დროზე განსაზღვრავს (63) სისტემის საბოლოო სახით ინტეგრირების პრინციპულ შესაძლებლობას. თუმცა, პრაქტიკაში ჩვენ ვიყენებთ ორი სხეულის ამოცანას ან კოორდინატთა ბარიცენტრულ სისტემაში (ორმაგი ვარსკვლავები, „დედამიწა-მთვარის“) სისტემის მოძრაობას მზის მიმართ და დედამიწისა და მთვარის მოძრაობა მათი ბარიცენტრის მიმართ) ანდა, კიდევ უფრო ხშირად, კოორდინატთა ფარდობით სისტემაში (ანუ განვიხილავთ ერთი ციური სხეულის მოძრაობას მეორეს მიმართ).



ნახაზი 3. ორი სხეულის ამოცანა ინერციულ და ბარიცენტრულ კოორდინატთა სისტემაში.

კოორდინატთა ბარიცენტრულ სისტემაზე გადასვლისთვის გავიხსენოთ, რომ ორი წერტილის შემთხვევაში მათი მასათა ცენტრი c ძეგს M_0M_1 მონაკვეთზე ρ_0 და ρ_1 მანძილებზე, ამასთან $\rho_0 + \rho_1 = |M_0M_1|$, ხოლო $m_1\rho_0 = m_0\rho_1$, საიდანაც გამოდის (ნახაზი 3), რომ:

$$\vec{\rho}_0 = \frac{m_1}{m_0 + m_1} (\vec{R}_0 - \vec{R}_1), \quad \vec{\rho}_1 = \frac{m_0}{m_0 + m_1} (\vec{R}_1 - \vec{R}_0). \quad (66)$$

ჩავსათ (66) გამოსახულებები (63)-ში და შესაბამისად შევკვეცოთ m_0 -სა და m_1 -ზე. შედეგად მივიღებთ ორი სხეულის ამოცანის მოძრაობის განტოლებებს კოორდინატთა ბარიცენტრულ სისტემაში:

$$\begin{aligned} \ddot{\vec{\rho}}_0 + \mu_0 \frac{\vec{\rho}_0}{\rho_0^3} &= 0 \\ \ddot{\vec{\rho}}_1 + \mu_1 \frac{\vec{\rho}_1}{\rho_1^3} &= 0 \end{aligned} \quad (67)$$

სადაც მუდმივები ტოლია

$$\mu_0 = \frac{fm_1^3}{(m_0 + m_1)^2}, \quad \mu_1 = \frac{fm_0^3}{(m_0 + m_1)^2}. \quad (68)$$

ფარდობითი მოძრაობის განტოლებებზე გადასვლისათვის შემოვიტანოთ M_1 წერტილის რადიუს-ვექტორი M_0 წერტილის მიმართ - $\vec{r}_{1/0}$ და M_0 წერტილის რადიუს-ვექტორი M_1 წერტილის მიმართ - $\vec{r}_{0/1}$. მაშინ, თუ (63)-ის პირველ განტოლებას გამოვაკლებთ შეორეს და ასევე, პირიქით, მივიღებთ:

$$\ddot{\vec{r}}_{1/0} + \mu \frac{\vec{r}_{1/0}}{r_{1/0}^3} = 0 \quad (69)$$

და

$$\ddot{\vec{r}}_{0/1} + \mu \frac{\vec{r}_{0/1}}{r_{0/1}^3} = 0 \quad (70)$$

სადაც

$$\mu = f(m_0 + m_1). \quad (71)$$

განტოლებები (69) და (70) უკვე აღარ ქმნიან განტოლებათა სისტემას, არამედ არიან დამოუკიდებელი და ჩაწერილნი არიან სხვადასხვა კოორდინატთა სისტემაში.

თუ შევადარებთ (67)-(70) განტოლებებს, დავინახავთ, რომ მათ ყველას ერთნაირი სტრუქტურა აქვთ და განსხვავდებიან მხოლოდ კოეფიციენტების მნიშვნელობებით მარცხნა მსარეების მეორე შესაკრებებში, ხოლო (69) და (70) განტოლებების შემთხვევაში ეს კოეფიციენტებიც ემთხვევა.

ფარდობითი მოძრაობის ორ, (69) და (70) შემთხვევაში საწყისი პირობები განისაზღვრება საპირისპირო ვექტორებით, ხოლო ბარიცენტრულ სისტემაში – ვექტორებით, რომლებიც საპირისპიროა მიმართულებებით და პროპორციული – მოძღვებით. ეს ნიშნავს, რომ ყველა შემთხვევაში მოძრაობა წარმოებს ორბიტებზე, რომლებიც გეომეტრიულად მსგავსია, ხოლო ფარდობითი მოძრაობის ორ შემთხვევაში - უბრალოდ ერთნაირია, ოღონდ წერტილები ამ შემთხვევაში იმოძრავებენ საპირისპირო მიმართულებით. ამიტომ, აზრი არ აქვს კითხვას, თუ რომელი წერტილი (M_0 თუ M_1) მოძრაობს მეორეს მიმართ.

კერძოდ, მზის მოძრაობა დედამიწის მიმართ ისვე რეალურია, როგორც დედამიწის მოძრაობა მზის მიმართ. ეს შენიშვნა, რომელიც გამომდინარეობს მოძრაობის ფარდობითობის პრინციპიდან, აუცილებელია აღინიშნოს, რადგან ყოფით აღქმაში და ზოგჯერ სამეცნიერო-პრაკულარულ თუ სასწავლო ლიტერატურაში შევხვდებით მოსაზრებას, რომ როდესლაც ითვლებოდა თითქოს მზე მოძრაობს დედამიწის გარშემო, ხოლო კოპერნიკმა დაადგინა, რომ ყველაფერი პირიქითაა – დედამიწა ბრუნავს მზის გარშემო. მაგრამ, თუ ორივე მოძრაობა ერთნაირად რეალურია, მაშინ ისმის კითხვა – რა განსხვავებაა სამყაროს ჰელიოცენტრულ და გეოცენტრულ სისტემებს შორის? პასუხი გამომდინარეობს იმ ობიექტური გარემოებიდან, რომ მზის მასა გაცილებით მეტია დედამიწის მასაზე ($m_0 \gg m_1$). აქედან და (66) თანაფარდობიდან ბარიცენტრულ სისტემაში ორბიტების ზომები და წარმოქმნილი აჩქარებები M_0

და M_1 წერტილების მასების უკუპროპორციულია. თავის მხრივ, ეს ნიშნავს, რომ დიდი მასის წერტილთან (მზე) დაკავშირებული კოორდინატთა სისტემა ძალიან აქლოა ინერციულთან, ხოლო მცირე მასის წერტილთან (დედამიწა) დაკავშირებული სისტემა არსებითად არაინერციულია. ფიზიკური თვალსაზრისით ეს განპირობებულია იმით, რომ ძალა, რომლითაც მზე იზიდავს დედამიწას ტოლია ძალის, რომლითაც დედამიწა ზემოქმედებს მზეზე, თუმცა ამ დროს წარმოქმნილი აჩქარებები მასების უკუპროპორციულია. ხოლო ამ სისტემის არაინერციულობის ხარისხი სწორედ კოორდინატთა სისტემის სათავის აჩქარებასთან არის დაკავშირებული.

ჰელიოცენტრულ და გეოცენტრულ სისტემებს შორის აღნიშნული განსხვავება მჟღავნება მხოლოდ მაშინ, როდესაც ვიწყებთ თითოეულ მათგანში რომელიდაც მესამე სხეულის, მაგალითად, მარსის განხილვას. მისი მოძრაობა თითქმის ინერციულ ჰელიოცენტრულ სისტემაში გაცილებით მარტივია, ვიდრე არაინერციულ გეოცენტრულში. ამაში მდგომარეობს გეოცენტრულიდან ჰელიოცენტრულ წარმოდგენაზე გადასვლის წმინდა მექანიკური არსი.

ყოველივე ამასთან ერთად უნდა გვესმოდეს, რომ ისტორიულად პტოლომეოსის გეოცენტრული სისტემა (უფრო სწორად პიპარქე-პტოლომეოსის, რადგან სწორედ პიპარქემ გამოიყენა პირველად ეპიციკლები და დიფერენტები ციური სხეულების მოძრაობების აღსაწერად) იყო და რჩება მეცნიერების უზარმაზარ მიღწევად ადამიანის მიერ სამყაროს აღქმის გზაზე. ის იყო პირველი თეორია, რომელიც საშუალებას იძლეოდა გარკვეული სიზუსტით აღვენერა და გვიწინასწარმეტყველა მზის სისტემის სხეულების მდებარეობა და ეფუძნებოდა გარკვეულ ფიზიკურ საფუძვლებს.

კერძოდ, იგი გამომდინარეობდა არისტოტელეს ფიზიკიდან, რომელშიც მიღებული იყო სიჩქარების და არა აჩქარების აბსოლუტურობა. თავის მხრივ, ეს იყო მაშინდელი დროის ყოფითი და საწარმოო გამოცდილების განხოგადება – მუდმივი სიჩქარით მოძრაობისათვის საჭიროა მუდმივი ძალის მოდება (სინამდვილეში, როგორც დღეს ეს გვესმის, მუდმივი სახუნის ძალის გაწონასწორებისათვის). აქედან გამომდინარეობდა სწორედ თანაბარი მოძრაობის და უძრაობის მდგომარეობათა აბსოლუტიზაცია. მათემატიკური თვალსაზრისით კი, თუ გადავიყენოთ პიპარქეს და პტოლომეოსის შედეგებს ანტიკური სანისთვის დამახასიათებელი გეომეტრიული ენიდან თანამედროვე ანალიტიკურ ენაზე, მაშინ ეს სხვა არაფერია თუ არა ციური სხეულების კოორდინატთა, როგორც დროის ფუნქციების დაშლა ფურიეს რიგებად ანუ ისეთი მათემატიკური აპარატის გამოყენება, რომლის სრული არსი იხსნება მხოლოდ თანამედროვე ეპოქაში.

ყოველივე ზემოთ თქმული არ ამცირებს ნიკოლაუს კოპერნიკის და მისი თანამდევრების მიერ შესრულებული სამუშაოს მნიშვნელობას. მათ შექმნეს ახალი ფიზიკა და ახალი ასტრონომია და, პირველ რიგში, მათი საფუძველი – კლასიკური მექანიკა, რომელიც გაცილებით უფრო ადექვატურად აღწერს უამრავ მოვლენას ბუნებაში და რამაც შექმნა თეორიული წინამდღვრები კაცობრიობის მძლავრი ტექნიკური პროგრესისათვის. თავის მხრივ, კლასიკური მექანიკის გამოყენებას, როგორც შემდგომში გაირკვა, გააჩნია შეზღუდვები კვანტური ფიზიკისა და ფარდობითობის თეორიის მხრიდან. აქვე აღნიშნავთ, რომ მზისა და დედამიწის მასებს შორის უზარმაზარი განსხვავების გამო, ათვლის ჰელიოცენტრულ და გეოცენტრულ სისტემებს შორის ფიზიკური სხვაობა ნარჩუნდება ასევე ფარდობითობის ზოგადი თეორიის ფარგლებშიც.

კვლავ დავუბრუნდეთ ორი სხეულის ამოცანას. შემდგომში ჩვენი მატერიალური წერტილები, ისევე როგორც მათი მასები, აღნიშნოთ M და m . განვიხილოთ m წერტილის მოძრაობა M წერტილის მიმართ, რომელიც აღიწერება განტოლებით

$$\ddot{\vec{r}} + \mu \frac{\vec{r}}{r^3} = 0, \quad \mu = f(M+m) \quad (72)$$

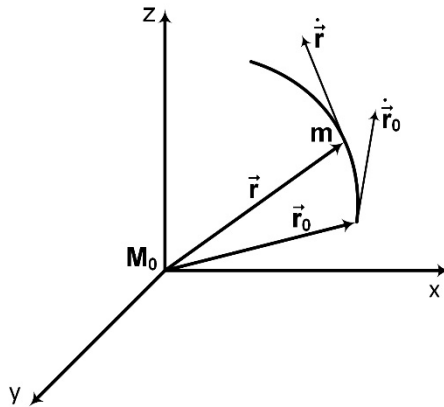
და საწყისი პირობებით

$$\vec{r}_0 = \vec{r}(t_0), \quad \dot{\vec{r}}_0 = \dot{\vec{r}}(t_0) \quad (73)$$

კორდინატთა x, y, z სისტემაში (ნახაზი 4). μ მუდმივას თუ სხეულის ამოცანის გრავიტაციული მუდმივა ეწოდება. შევნიშნოთ, რომ იგი დამოკიდებულია განსახილველი ორივე მატერიალური წერტილის მასების ჯამშე. ეს განსაკუთრებით მნიშვნელოვანია ორმაგ კარსგლავთა სისტემის განვილვისას. თუმცა, მზის გარშემო მცირე პლანეტების და კომეტების მოძრაობის შესწავლისას, ასევე, ხელოვნური ცოური სხეულების მოძრაობის განხილვისას, მცირე მასები შევგიძლია უგულებელყოთ.

ვიპოვთ (72) განტოლების ზოგადი ამონასნი, უფრო სწორად, მექანიკური რიგის დიფერენციალურ განტოლებათა სისტემის ამონასნი პირველი ინტეგრალების მეთოდით.

წინასწარ აღვნიშნოთ, რომ განსაკუთრებით მზის სისტემის სხეულების შესწავლისას მიზანშეწონილია შემოვილოთ ასტრონომიული ერთეულების განზომილების სპეციალური (გაუსის) სისტემა – სიგრძე გაზომოთ ასტრონომიულ ერთეულებში (ა.ე.), დრო – საშუალო მზის დღე-ლამეში, მასა – მზის მასის ერთეულებში.



ნახაზი 4. ორი სხეულის ფარდობითი ამოცანა.

მაშინ გრავიტაციული მუდმივა $f = 0.0029591$, ხოლო სიდიდე, რომელიც ხშირად გვხვდება $k = \sqrt{f} = 0.0172021$. k -ს უწოდებენ **გაუსის მუდმივას**.

რადგან ვიხილავთ ფარდობით მოძრაობას (ანუ მოძრაობას არაინტენსიულ კოორდინატთა სისტემაში), ამიტომ ათი კლასიკური ინტეგრალიდან იარსებებს მხოლოდ ოთხი – ვექტორული მომენტის ინტეგრალი და სკალარული ენერგიის ინტეგრალი. ამათგან პირველის მისაღებად მოძრაობის განტოლება (72) გავამრავლოთ \vec{r} რადიუს-ვექტორზე ვექტორულად მარცხნიდან. თუ ამ ნამრავლს მივუმატებთ ტოლობას $\dot{\vec{r}} \times \ddot{\vec{r}} = 0$, მივიღებთ:

$$\vec{r} \times \ddot{\vec{r}} + \dot{\vec{r}} \times \dot{\vec{r}} = \frac{d}{dt}(\vec{r} \times \dot{\vec{r}}) = 0. \quad (74)$$

ვაინტეგროთ და მივიღებთ:

$$\vec{r} \times \dot{\vec{r}} = \vec{c}. \quad (75)$$

ეს ნაშნავს, რომ m წერტილის კინეტიკური მომენტი ნარჩუნდება, ხოლო ინტეგრირების მუდმივა \vec{c} უტოლდება ამ მომენტს მასის ერთეულზე გადათვლით.

ენერგიის ინტეგრალის მისაღებად გავამრავლოთ (72) განტოლება სიჩქარის ვექტორზე $\dot{\vec{r}}$ სკალარულად:

$$\ddot{\vec{r}} \cdot \dot{\vec{r}} = -\frac{\vec{r} \cdot \dot{\vec{r}}}{r^3}. \quad (76)$$

სამართლიანია ტოლობა $\vec{r} \cdot \dot{\vec{r}} = r \cdot \dot{r}$, რომელიც გამომდინარეობს იქნებან, რომ $r = |\vec{r}|$, ხოლო \dot{r} არის r სიდიდის ცვლილების სიჩქარე და ტოლია $\dot{\vec{r}}$

ვექტორის პროექციისა \vec{r} ვექტორის მიმართულებაზე, ანუ $\dot{r} = |\dot{\vec{r}}| \cdot \cos(\dot{\vec{r}}, \vec{r})$. აღვნიშნოთ $|\dot{\vec{r}}|$ სიჩქარის მოდული როგორც V და მივიღებთ:

$$\frac{1}{2} \frac{d}{dt} (V^2) = -\frac{\mu}{r^2} = \mu \frac{d}{dt} \left(\frac{1}{r} \right), \quad (77)$$

ხოლო ინტეგრირების შემდეგ

$$V^2 = \frac{2\mu}{r} + h, \quad (78)$$

სადაც მუდმივა h - გაორმაგებული სრული ენერგიაა წერტილის m მასის ერთეულზე.

გადავდოთ შემდგომისათვის მოძრაობის თვისებების სრული ანალიზი, რომელიც გამომდინარეობს ამ ორი პირველი ინტეგრალის არსებობიდან და მხოლოდ აღვნიშნოთ, რომ მომენტის ინტეგრალიდან და ვექტორული ნამრავლის თვისებებიდან გამომდინარეობს, რომ \vec{r} და $\dot{\vec{r}}$ პერპენდიკულარულია მომენტის ვექტორის ც.

ორი სხეულის ამოცანის ინტეგრირებისას, გარდა ნაპოვნი კლასიკური ინტეგრალებისა, სპეციფიკურად ამ ამოცანისათვის არსებობს კიდევ ერთი პირველი ინტეგრალი. მისი პოვნისათვის მოძრაობის ვექტორული განტოლება გავამრავლოთ ვექტორულად მარჯვნიდან მომენტის ინტეგრალზე:

$$\ddot{\vec{r}} \times \vec{c} + \mu \frac{\vec{r} \times (\vec{r} \times \dot{\vec{r}})}{r^3} = 0. \quad (79)$$

პირველი შესაკრები მარცხნიდან წარმოადგენს $\dot{\vec{r}} \times \vec{c}$ სიდიდის წარმოებულს. ვაჩვენოთ, რომ მეორე შესაკრებიც წარმოადგენს სრულ წარმოებულს. ცნობილი ფორმულის მეშვეობით ორმაგი ვექტორული წარმოებულის გამოთვლით მივიღებთ:

$$\frac{\vec{r} \times \vec{r} \times \dot{\vec{r}}}{r^3} = \frac{\vec{r}(\vec{r} \cdot \dot{\vec{r}}) - \dot{\vec{r}} \cdot \vec{r}^2}{r^3} = -\frac{\dot{\vec{r}}r - \vec{r}\dot{r}}{r^2} = -\frac{d}{dt} \left(\frac{\vec{r}}{r} \right). \quad (80)$$

(80) ჩავსვათ (79)-ში და ინტეგრირების შემდეგ მივიღებთ:

$$\dot{\vec{r}} \times \vec{c} - \mu \frac{\vec{r}}{r} = \vec{\lambda}. \quad (81)$$

ორი სხეულის ამოცანის ამ პირველ ინტეგრალს უწოდებენ **ლაპლასის ინტეგრალს**, ხოლო $\vec{\lambda}$ – **ლაპლასის ვექტორის**. ამდენად, გვაქვს შვიდი პირველი

ინტეგრალი – ორი ვექტორული და ერთი სკალარული. ლაპლასის ინტეგრალის გამოყვანის მეთოდს მივყავართ დასკვნამდე, რომ ყველა ნაპოვნი პირველი ინტეგრალი არ არის დამოუკიდებელი. მართლაც, ინტეგრირების \vec{c} , $\vec{\lambda}$ და h მუდმივებს შორის არსებობს ორი დამოკიდებულება, რომლებიც აკავშირებს მათ ერთმანეთთან. პირველი მათგანის მიღება ადვილია, თუ გადავამრავლებთ მომენტის სკალარულ ინტეგრალს და ლაპლასის ინტეგრალს. ამავე დროს

$$\vec{c} \cdot \vec{\lambda} = \vec{c} \cdot (\dot{\vec{r}} \times \vec{c}) - \mu \frac{\vec{r} \cdot (\vec{r} \times \dot{\vec{r}})}{r^3} = 0, \quad (82)$$

რადგან ვექტორის ფოველ შერეულ ნამრავლს, რომელიც შედის (82)-ში, გააჩნია ორი მსგავსი თანამამრავლი. ამდენად, მომენტის ვექტორი და ლაპლასის ვექტორი ერთმანეთის პერპენდიკულარულია. მეორე დამოკიდებულება აკავშირებს ამ ვექტორების მოდულებს. ვიპოვოთ ლაპლასის ვექტორის სკალარული კვადრატი:

$$\lambda^2 = (\dot{\vec{r}} \times \vec{c})^2 - 2\mu \frac{(\dot{\vec{r}} \times \vec{c}) \cdot \vec{r}}{r} + \mu^2 \left(\frac{\vec{r}}{r} \right)^2 = c^2 V^2 - 2\mu \frac{c^2}{r} + \mu^2. \quad (83)$$

გამოვრიცხოთ V^2 ენერგიის ინტეგრალის მეშვეობით და საბოლოოდ მივიღებთ, რომ

$$\lambda^2 = hc^2 + \mu^2. \quad (84)$$

ამდენად, ჩვენ გვაქვს **ხუთი** დამოუკიდებელი პირველი ინტეგრალი, რაც საშუალებას გვაძლევს დავიყვნოთ მექანიკური სარისხის დიფერენციალურ განტოლებათა სისტემა პირველი სარისხის ერთ განტოლებამდე.

ლექცია 5. ორბიტის განტოლება და მოძრაობის კანონი ორი სხეულის ამოცანაში

გადავიდეთ ორი სხეულის ამოცანაში მოძრაობის გამოკვლევაზე. პირველ რიგში, იმ ფაქტიდან, რომ m წერტილის რადიუს-ვექტორი და მისი სიჩქარის ვექტორი პერპენდიკულარულია მომენტის მუდმივი ვექტორისა, გამომდინარეობს, რომ სიბრტყე, რომელიც განისაზღვრება \vec{r} და \vec{r} ვექტორებით, ინარჩუნებს უცვლელ ორიენტაციას სივრცეში და პერპენდიკულარულია \vec{c} ვექტორის. თუმცა, იგი შეიცავს \vec{r} ვექტორს და, მაშასადამე, M_0 წერტილს ანუ კოორდინატთა სათავეს. ამდენად, სიბრტყე, რომელშიც მოძრაობს m წერტილი, უძრავია კოორდინატთა x, y, z სისტემაში. მისი განტოლება ვექტორულ ფორმაში შემდეგია - $\vec{c} \cdot \vec{r} = 0$, ხოლო კოორდინატულში -

$$c_1x + c_2y + c_3z = 0, \quad (85)$$

სადაც c_1, c_2, c_3 - \vec{c} ვექტორის შესაბამისი კომპონენტებია.

რადგან ლაპლასის ვექტორი პერპენდიკულარულია \vec{c} ვექტორის მოძრაობის სიბრტყის ნორმალური ვექტორისა, ამიტომ, ისიც ძევს ამ სიბრტყეში. ეს საშუალებას გვაძლევს შემოვიტაოთ მოძრაობის სიბრტყეში მართვულთა კოორდინატთა სისტემა ξ, η სადაც ξ ღერძი მიმართულია ლაპლასის \vec{c} ვექტორის გასწვრივ და, ასევე, პოლარულ კოორდინატთა სისტემა r, ν სადაც პოლარული კუთხე ν , რომელსაც ასტრონომიაში უწოდებენ **ჰერმარიტ ანომლიას**, აითვლება \vec{c} ვექტორის მიმართულებიდან. თუ შემოვიღებთ კიდევ ერთ ღერძს ζ , რომელიც მიმართულია მომენტის ვექტორის \vec{c} გასწვრივ, მაშინ საწყის x, y, z კოორდინატთა სისტემასთან ერთად სივრცეში ასევე მივიღებთ მოძრაობის სიბრტყესთან დაკავშირებულ ξ, η, ζ სისტემას, რომელსაც უწოდებენ კოორდინატთა **ორბიტულ სისტემას**.

აღვნიშვნოთ, რომ საწყისი კოორდინატთა სისტემა უმეტესად არის ჰელიოცენტრული ეკლიპტიკური სისტემა ან გეოცენტრული ეკატორული. თუმცა, საჭიროების შემთხვევაში იგი შეიძლება იყოს სელენოცენტრული ან ნებისმიერი სხვა პლანეტოცენტრული სისტემა. თუ განვიხილავთ მოძრაობას ორმაგ ვარსკვლავთა სისტემაში, მაშინ, ხშირად, საწყის კოორდინატთა სისტემის სახით განიხილავთ ხილულ სიბრტყეს, რომელიც წარმოადგენს ცის სფეროს მდგრელს.

ვიპოვნოთ ორი სხეულის ამოცანაში მოძრაობის ტრაექტორიის განტოლება ანუ, ასტრონომიული ენით რომ ვთქვათ, m წერტილის ორბიტის განტოლება

პირველ რიგში r, v პოლარულ კოორდინატთა სისტემაში. ამისათვის, ლაპლასის ინტეგრალი \vec{r} გაგამრავლოთ სკალარულად $\vec{r} \cdot (\vec{r} \times \vec{c}) - \mu \frac{\vec{r}^2}{r} = c^2 - \mu r$.

$$r \lambda \cos v = \vec{r} \cdot (\vec{r} \times \vec{c}) - \mu \frac{\vec{r}^2}{r} = c^2 - \mu r. \quad (86)$$

განვიხილოთ r სიდიდე როგორც v კუთხის ფუნქცია და მივიღეთ ორბიტის განტოლებას:

$$r = \frac{\frac{c^2}{\mu}}{1 + \frac{\lambda}{\mu} \cos v}, \quad (87)$$

რომელიც ემთხვევა განტოლებას:

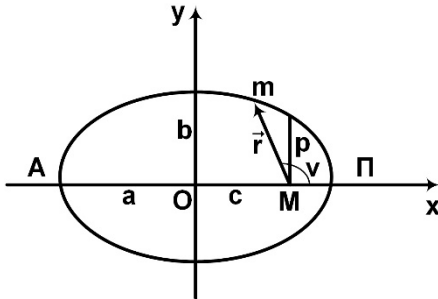
$$r = \frac{p}{1 + e \cos v}, \quad (88)$$

თუ ჩავთვლით, რომ

$$p = \frac{c^2}{\mu}, \quad e = \frac{\lambda}{\mu}. \quad (89)$$

როგორც ცნობილია, განტოლება (88) არის მეორე ხარისხის მრუდის განტოლება, როცა პოლარული ღერძი მიმართულია მრუდის ფოკუსიდან უახლოესი პიკის მიმართულებით. p სიდიდე მრუდის ფოკალური პარამეტრია (ან უბრალოდ მისი პარამეტრი). იგი ტოლია ფოკალური ნახევარქორდის სიგრძის, რომელიც გადის ფოკუსზე ელიფსის დიდი ღერძის, პიპერბოლის რეალური ღერძის ან პარაბოლის სიმეტრიის ღერძის პერპენდიკულარულად (ნახაზი 5).

e ექსცენტრისიტეტის მნიშვნელობა განსაზღვრავს თუ კონკრეტულად რომელი მეორე ხარისხის მრუდზე არის ლაპარაკი. თუ $e = 0$, მაშინ ეს წრეწირია, როცა $e < 1$ – ელიფსია, $e = 1$ მნიშვნელობა გვაძლევს პარაბოლას, ხოლო $e > 1$ – პიპერბოლას. თუმცა, ამ მრუდებიდან ერთ-ერთი იქნება ორბიტა მხოლოდ მაშინ, როცა p პარამეტრი და, მაშასადამე, კინეტიკური მომენტი c არ უდრის ნოლს. თუ $c = 0$, მაშინ \vec{r} და $\vec{r} \cdot (\vec{r} \times \vec{c})$ კოლინეარულები არიან, ხოლო ორბიტა წარმოადგენს წრფეს, რომელიც გადის კოორდინატთა სათავეზე.



ნახაზი 5. წერტილის მოძრაობა ელიფსურ ორბიტაზე.

ამდენად, ჩვენ დავადგინეთ **კაპლერის პირველი კანონი** განზოგადებული სახით: ორი სხეულის ფარდობით ამოცანაში მატერიალური წერტილი მოძრაობს მეორე ხარისხის მრუდის გასწრივ, რომლის ერთ-ერთ ფოკუსში მოთავსებულია მაზიდულობის ცენტრი.

მეორე ხარისხის მრუდების განტოლებები დეკარტულ კოორდინატებში წარმოადგენენ მეორე ხარისხის ალგებრულ განტოლებებს. მათი კანონიკური განტოლებები ანუ როდესაც კოორდინატთა სისტემის ცენტრი ემთხვევა ელიფსის ან ჰიპერბოლის ცენტრს ან პარაბოლის ჰიპერბოლის დიდი დერძის, ჰიპერბოლის რეალური დერძის ან პარაბოლის სიმეტრიის დერძის გასწრივ, შემდეგა:

$$\frac{x^2}{a^2} + \frac{y^2}{b^2} = 1 \quad - \text{ელიფსი} \quad (90)$$

$$\frac{x^2}{a^2} - \frac{y^2}{b^2} = 1 \quad - \text{ჰიპერბოლა} \quad (91)$$

$$y^2 = 2px \quad - \text{პარაბოლა} \quad (92)$$

სადაც a და b – ელიფსის დიდი და პატარა ან ჰიპერბოლის რეალური და წარმოსახვითი ნახევარღერძებია.

ელიფსის ან ჰიპერბოლის ცენტრიდან მათ ფოკუსებამდე მანძილის ანუ c ფოკუსური მანძილის შეფარდება a დიდი ნახევარღერძის სიდიდესთან განსაზღვრავს მათ ექსცენტრისიტეტს, ე.ო.

$$e = \frac{c}{a} = \frac{\sqrt{a^2 + b^2}}{a}, \quad (93)$$

სადაც „–“ ნიშანი მიეკუთვნება ელიფსის, ხოლო „+“ – ჰიპერბოლას. თუ გავითვალისწინებთ p პარამეტრის გეომეტრიულ მნიშვნელობას, შეიძლება მივიღოთ შემდეგი ფორმულები:

$$p = a(1 - e^2) - \text{ელიფსი} \quad (94)$$

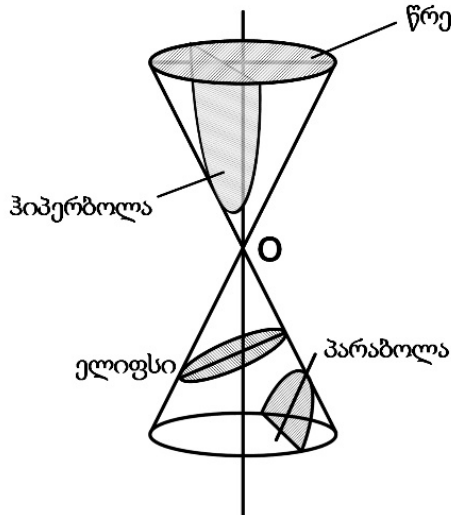
$$p = a(e^2 - 1) - \text{ჰიპერბოლა} \quad (95)$$

შევნიშნოთ, რომ ექსცენტრისიტეტის $e = 1$ მნიშვნელობა შესაძლებელია მივიღოთ ორი გზით. ჯერ ერთი, შესაძლებელია დავაფიქსიროთ ელიფსის ერთი წვერი და ერთი ფოკუსი და ვაძმელოთ ელიფსის ცენტრი და მისი მეორე ფოკუსი და მეორე წვერო გადაადგილდება დიდი ღერძის გასწროვ უსასრულობისკენ. ასეთ შემთხვევაში $e \rightarrow 1$, რადგან $c \rightarrow \infty$ და $a \rightarrow \infty$. ამასთან, ელიფსი გაწყდება და გადაიქცევა პარაბოლად. მეორე, ელიფსის ფიქსირებული დიდი a ნახევარლერძის შემთხვევაში შესაძლებელია შევამციროთ მცირე b ნახევარლერძი ნოლამდე და კვლავ $e \rightarrow 1$ (იხ. ფორმულა (93)). ასეთ შემთხვევაში ელიფსი შეიკეშება ორმაგ მონაკვეთში სიგრძით $2a$. ჰიპერბოლა ასეთი პროცედურების შემთხვევაში გადაიქცევა ორ ორმაგ სხივად.

განსხილული მრუდების კლასის მეორე დასახელება – **კონუსური კვეთები**, დაკავშირებულია ჯერ კიდევ უძველეს დროში მათ მისაღებად დადგენილ მეთოდთან. ამ მეთოდის მეშვეობით მრუდები მიიღება სწორი წრიული კონუსის მისი ღერძის მიმართ სხვადასხვა კუთხით დახრილი სიბრტყით კვეთისას. ეს ნათლად ამტკიცებს, რომ ერთი შეხედვით განსხვავებული ფორმის მქონე ეს მრუდები, სინამდვილეში ქმნიან მრუდების გარკვეულ ერთიან ოჯახს (იხ. ნახაზი 6).

დავუბრუნდეთ ორი სხეულის ამოცანას და შევნიშნოთ, რომ ლაპლასის ვექტორი განსაზღვრავს მიზიდულების ცენტრში განთავსებული ფოკუსიდან მის მახლობელ წვერომდე მიმართულებას ანუ ორბიტის **ჰერიცენტრს**. ელიფსური ორბიტის შემთხვევაში ასევე არსებობს ყველაზე დაშორებული წერტილი მიზიდულობის ცენტრიდან – **ასიცენტრი**. ამ ორივე წერტილის ზოგადი სახელია – **აფსიდები**, ხოლო მათი შემაურთებული ხაზისა – **აფსიდების ხაზი**.

თუ განიხილება მოძრაობა რომელიმე კონკრეტული სხეულის გარშემო, მაშინ აფსიდების სახელწოდება ტრადიციის მიხედვით იწარმოება ცენტრალური სხეულის ძველერმატული დასახელების მეშვეობით.



ნახაზი 6. კონუსური კვეთები.

მაგალითად, მზის მახლობელ ორბიტებს გააჩნიათ პერიპელიუმები (თუმცა, ამავე დროს – აფელიუმებიც), დედამიწის მახლობელს – პერიგეა და აპოგეა, მთვარის მახლობელს – პერისელიუმი და აპოსელიუმი, მარსის მახლობელს – პერიარიუმი და აპოარიუმი. ორმაგი ვარსკვლავების კომპონენტების ორბიტებს გააჩნიათ პერიასტროუმი და აპოასტროუმი.

გარდა ორბიტის განტოლებისა, აუცილებელია განვსაზღვროთ ამ ორბიტაზე **მოძრაობის კანონი**, ანუ, სხვა სიტყვებით რომ ვთქვათ, V ჭეშმარიტი ანომალიის და, შესაბამისად, r რადიუსის დამოკიდებულება t დროზე. ამ კანონის მისაღებად, განვიხილოთ მომენტის ინტეგრალის მოდული:

$$rV \sin(\dot{\vec{r}}, \vec{r}) = c. \quad (96)$$

თუმცა, $V \sin(\dot{\vec{r}}, \vec{r})$ სიჩქარე წარმოადგენს რადიუს-ვექტორის პერპენდიკულარულ ვექტორს ანუ წრიულ სიჩქარეს, რომელიც ტოლია r რადიუსის ნამრავლისა $\omega = \dot{\nu}$ კუთხურ სიჩქარეზე. ამიტომ,

$$r^2 \dot{\nu} = c. \quad (97)$$

ვაინტეგროთ (97) დამოკიდებულება (88)-ის და (89)-ის გთვალისწინებით. მაშინ მოძრაობის კანონი შემდეგნაირად გამოისახება:

$$\int_0^\nu \frac{dv}{(1 + e \cos v)^2} = \frac{\sqrt{\mu}}{p^{3/2}} (t - \tau). \quad (98)$$

მუდმივა τ არის მექანიკური დამოუკიდებელი მუდმივა, რომელიც პირველი ინტეგრალების $\vec{c}, \vec{\lambda}, h$ მუდმივებთან ერთად განსაზღვრავს ორი სხეულის ამოცანის ზოგად ამოხსნას. რადგან $t = \tau$ მომენტისთვის v ჭეშმარიტი ანომალია უნდა უდრიდეს ნოლს, ამიტომ τ მუდმივა წარმოადგენს m წერტილის მექრობიტის პერიოდურის გაფლის მოძნოს. ინტეგრალი, რომელიც მოთავსებულია (98)-ის მარცხნივ, შესაძლოა ვიპოვოთ ელემენტარული ფუნქციების სახით თუნდაც $s = \operatorname{tg}(v/2)$ უნივერსალური აღნიშვნის გამოყენებით. საზოგადოდ, მას საკმაოდ რთული სახე აქვს. ამიტომ, მისი გამოთვლა მოხდება კეპლერისეული მოძრაობის ყოველი შესაძლო ტიპის განხილვისას. ნებისმიერ შემთხვევაში, მისი პოვნა განსაზღვრავს ჭეშმარიტ ანომალიას, როგორც დროის ფუნქციას და საშუალებას გვაძლევს ვიპოვოთ r მანძილი და ორბიტული კოორდინატები. ამ დროს:

$$\xi = r \cos v, \quad \eta = r \sin v, \quad \zeta = 0, \quad (99)$$

ანუ უნდა განვსაზღვროთ m წერტილის რადიუს-ვექტორი ორბიტულ კოორდინატთა სისტემაში, რომელსაც აღნიშნავთ $\vec{r} \equiv (\xi, \eta, \zeta)$.

იმისათვის, რომ ვიპოვოთ ორი სხეულის ამოცანის ამოხსნა x, y, z კოორდინატთა სისტემაში, ანუ ვიპოვნოთ \vec{r} რადიუს-ვექტორი, საჭიროა x, y, z სისტემის მიმართ ξ, η, ζ კოორდინატთა სისტემის მიმართულების კოსინუსების მატრიცა გავამრავლოთ \vec{r} ვექტორზე. შემოვილოთ $\vec{P}, \vec{Q}, \vec{R}$ ერთეულოვნი ვექტორები ანუ ξ, η, ζ ღერძების შესაბამისი ორტები. ასეთ შემთხვევაში მიმართულებათა კოსინუსების მატრიცა შედგენილ იქნება $\vec{P}, \vec{Q}, \vec{R}$ ვექტორების კომპონენტებისაგან, ხოლო \vec{r} ვექტორის განმსაზღვრული გამოსახულება შეიძლება ჩავწეროთ შემდეგი სახით:

$$\vec{r} = \begin{pmatrix} \vec{P} \\ \vec{Q} \\ \vec{R} \end{pmatrix} \cdot \vec{r}. \quad (100)$$

ამავე დროს, ორბიტულ კოორდინატთა სისტემის ღერძების ორტები, მათი განსაზღვრებიდან გამომდინარე, უნდა გამოვთვალოთ შემდეგი ფორმულებით:

$$\vec{P} = \frac{\vec{\lambda}}{\lambda}, \quad \vec{Q} = \frac{\vec{c} \times \vec{\lambda}}{c\lambda}, \quad \vec{R} = \frac{\vec{c}}{c}. \quad (101)$$

ამის შემდეგ, ორი სხეულის ამოცანის ზოგადი ამონახსნი შესაძლოა გამოვსახოთ \vec{P} , \vec{Q} , \vec{R} , e , p , τ მუდმივებით. ეს მუდმივები, ისევე როგორც პირველი ინტეგრალების მუდმივები, უნდა გამოვთვალოთ რომელიმე კერძო ამონახსნის განსაზღვრისას (73) საწყისი პირობების და (75), (78), (81), (88), (89) და (101) დამკიდებულებათა მეშვეობით.

ასტრონომიაში ინტეგრირების მუდმივებს, რომლებიც განსაზღვრავნ ციური სხეულის ორბიტას და ამ ორბიტაზე მის მოძრაობას, უწოდებენ ორბიტის კლემურტებს. კერძოდ, $\vec{P}, \vec{Q}, \vec{R}$ კექტორებს უწოდებენ ორბიტის კექტორულ კლემურტებს.

მომენტის ინტეგრალს ასევე შეგვიძლია მივცეთ შემდეგი სახე:

$$\vec{r} \times d\vec{r} = \vec{c} dt. \quad (102)$$

ამ გამოსახულების მარცხნა მხარე წარმოადგენს \vec{r} და $\vec{r} + d\vec{r}$ კექტორებზე აგებული სამკუთხედის გაორმაგებულ ფართობს. იგი მაღალი რიგის უსასრულოდ მცირე სიდიდეების სიზუსტით ემთხვევა dS სექტორის ფართობს, რომელიც აღიწერება \vec{r} რადიუს-კექტორით dt დროში, ანუ:

$$dS = \frac{1}{2} c dt. \quad (103)$$

ამ განტოლების ინტეგრირება გვაძლევს:

$$S = \frac{1}{2} ct + c_0. \quad (104)$$

ტოლობები (103) და (104) გამოსახავნენ კუპლერის მურჯ კანონს. იგი შეიძლება შემდეგნაირად ჩამოვაყალიბოთ: კეპლერისეული მოძრაობის სექტორული სიჩქარე მუდმივია ანუ დროის ტოლი ინტეგრალების განმავლობაში წერტილის რადიუს-კექტორი შემოწერს ტოლი ფართობის სექტორებს. უნდა აღინიშნოს, რომ (104) არ წარმოადგენს მოძრაობის განტოლების კიდევ ერთ პირველ ინტეგრალს, რადგან სექტორის ფართობი, რომელიც შექმნილია მეორე ხარისხის მრუდის რკალით (გარდა წრეწირის შემთხვევისა), საბოლოო ჯამში არ გამოისახება მისი წვეროების

კოორდინატებით. როგორც ცნობილია, იოპანეს კეპლერმა დაადგინა პლანეტების მოძრაობის სამი კანონი. თუმცა, მესამე კანონი, მისი შინაარსიდან გამომდინარე, განეკუთვნება მხოლოდ პერიოდული მოძრაობის შემთხვევას და განხილულ იქნება მოგვიანებით.

ლექცია 6. ორბიტის კეპლერის ული ელემენტები

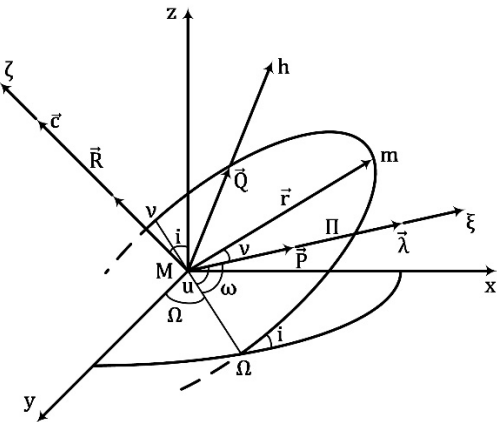
ორბიტის \vec{P} , \vec{Q} , \vec{R} , e , p , τ ელემენტები შესაძლებელია დაიყოს 3 ჯგუფად. პირველი (ვექტორული ელემენტები) განსაზღვრავს ორბიტის სიბრტყეს მდებარეობას სივრცეში და მის ორიენტაციას ამ სიბრტყეზე. მეორე ჯგუფი - (e , p) განსაზღვრავს ორბიტის ფორმას და ზომას. მესამე ჯგუფში შედის ერთი ელემენტი τ , რომელიც განსაზღვრავს ორბიტაზე მატერიალური წერტილის მოძრაობას და ამიტომ, ეწოდება **დინამიური** ელემენტი. თუმცა, მიმართულების კოსინუსების მატრიცის ცხრა ელემენტს შორის, რომლებსაც წარმოქმნიან ვექტორული ელემენტები, მხოლოდ სამია დამოუკიდებელი. დანარჩენი ურთიერდაკავშირებულია ორთონორმირების ექვსი დამოკიდებულებით. ამიტომ, ორბიტის მდებარეობის განსაზღვრის უფრო „ეკონომიური” საშუალება იქნებოდა ეილერის სამი კუთხის გამოყენება, რომლებიც განსაზღვრავენ ორბიტული კოორდინატთა სისტემის მდებარეობას საწყის კოორდინატთა სისტემის მიმართ.

ეს სამი კუთხი მოიცემა შემდეგნაირად (იხ. ნახაზი 7). ზოგად შემთხვევაში, ორბიტის სიბრტყე გადაკვეთს ძირითად x, y კოორდინატთა სისტემას გარკვეული წრფის მიმართულებით, რომელზეც ძეგლი x, y სიბრტყესთან ორბიტის კვეთის წერტილები. ამ წერტილებს ეწოდება **ორბიტის კვანძები**, ხოლო თავად კვეთის წრფეს – **კვანძების ხაზი**.

კვეთის იმ წერტილს, რომელშიც τ წერტილი ორბიტაზე თავისი მოძრაობის პროცესში იცვლის აპლიკაციის ნიშანს უარყოფითიდან დადებითზე, უწოდებენ **აღმავალ კვანძს** და აღნიშნავენ Ω ასოთი, ხოლო წერტილს, რომელშიც ნიშანი იცვლება პირიქით „+“-დან „-“-სკენ – **დაღმავალ კვანძს** და აღნიშნავე ამოტრიალებული S სიმბოლოთი.

ამ აღნიშვნების წარმოშობა დაკავშირებულია სასწორის თანავარსკვლავედის ძველბერძნულ აღნიშვნასთან, რომელშიც იმ დროისთვის მდებარეობდა გაზაფხულის დღედამტოლობის წერტილი და წარმოადგინდა დედამიწის გარშემო მზის წლიური მოძრაობის ორბიტის აღმავალ წერტილს.

ეილერის პირველი კუთხი არის საწყის კოორდინატთა სისტემის x ღერძის დადებით მიმართულებასა და ორბიტის აღმავალი კვანძის მიმართულებას შორის კუთხე. ეს კუთხი ასევე აღინიშნება Ω ასოთი და ეწოდება **აღმავალი კვანძის გრძელი** (ან უბრალოდ **კვანძის გრძელი**). კუთხეს, აღმავალი კვანძის მიმართულებასა და ორბიტის პერიცენტრის მიმართულებას შორის, უწოდებენ **პერიცენტრულ მანძილს** და აღინიშნება ω ასოთი.



ნახაზი 7. ორბიტული კოორდინატთა სისტემა და ეილერის კუთხები.

ეილერის მესამე კუთხე არის კოორდინატთა x, y სიბრტყესა და ორბიტის სიბრტყეს შორის (ანუ, რაც იგივეა, მათ ნორმალებს – z და ζ ღერძებს შორის) კუთხე i და მას ორბიტის დახრილობას უწოდებენ.

კვანძის გრძედი ათვლება x ღერძიდან y ღერძის მიმართულებით, პერიცენტრული მანძილი – კვანძების ხაზიდან m წერტილის მოძრაობის მიმართულებით. ამ კუთხებმა შესაძლოა მიიღონ მნიშვნელობები 0° -დან 360° -მდე. ორბიტის დახრილობა i მევს 0° -დან 180° -მდე ინტერვალში. იგი ნაკლებია 90° -ზე, თუ m წერტილის პროექცია x, y სიბრტყეზე მოძრაობს პირველ მეოთხედში x ღერძიდან y ღერძის მიმართულებით და მეტია 90° -ზე, თუ ეს მოძრაობა წარმოებს საპირისპირო მიმართულებით. პირველ შემთხვევაში მოძრაობას ეწოდება **პირდაპირი**, ხოლო მეორე შემთხვევაში – **უუძრავობა**.

ზემოთ განვსაზღვრეთ სიდიდეები Ω და ω როგორც ცენტრალური კუთხები გარკვეულ მიმართულებებს შორის, ხოლო ორბიტის კვანძები, როგორც კვანძების ხაზის თავად ორბიტასთან გადაკვეთის წერტილები. თუმცა, ზოგჯერ სასარგებლოა კვანძის გრძედისა და პერიცენტრული მანძილის სახით განვიხილოთ შესაბამისი რკალები ცის სფეროზე. მაშინ კვანძები არის კვანძების ხაზის ცის სფეროსთან გადაკვეთის წერტილები.

ექვსი დამოუკიდებელი სიდიდე ($\Omega, \omega, i, e, p, \tau$) სრულად და ცალსახად განსაზღვრავს წერტილის მოძრაობას ორი სხეულის ამოცანაში. მათ უწოდებენ ორბიტის **კეპლერისულ ჯოებენტებს**. ეს ნაკრები გამოდგება ნებისმიერი სიმრუდის ორბიტისათვის. ცალკეულ შემთხვევებში შესაძლოა მოვახდინოთ მათი

მოდიფიკაცია გარკვეული სახით. მაგალითად, ორბიტის p პარამეტრის ნაცვლად შესაძლოა გამოვიყნოთ ელიფსური ორბიტის დიდი ნახევარდერძი a .

აღვნიშნოთ, რომ r მანძილისა და ν ჭეშმარიტი ანომალიისათვის ორი სხეულის ამოცანის ზოგადი ამონახსნი ზემოთ უკვე ნაპოვნი გვაქვს. ზოგადი ამონახსნის სრულად განსაზღვრისათვის საცმარისია ვიბოვნოთ \vec{r} რადიუს-ვექტორის მიმართულების კოსინუსები, რომლებსაც აღვნიშნავთ α, β, γ -თი, ანუ დავუშვათ, რომ $\vec{r}^0 = \vec{r}/r \equiv (\alpha, \beta, \gamma)$.

მიმართულების კოსინუსები საპოვნელად, განვიხილოთ ორბიტის პროექცია ცის სფეროზე (ნახაზი 8). მაშინ $x\Omega m$ სფერულ სამკუთხედში: $x\Omega = \Omega$, $\Omega m = \omega + \nu = u$, $x\Omega m = 180 - i$. აქედან,

$$\alpha = \cos(xm) = \cos \Omega \cos u - \sin \Omega \sin u \cos i \quad (105)$$

ანალოგიურად,

$$\begin{aligned} \beta &= \cos(ym) = \sin \Omega \cos u + \cos \Omega \sin u \cos i \\ \gamma &= \cos(zm) = \sin u \sin i \end{aligned} \quad (106)$$

ამის შემდეგ შესაძლებელია ჩავწეროთ, რომ m წერტილის კოორდინატები საწყის კოორდინატთა სისტემაში ტოლია:

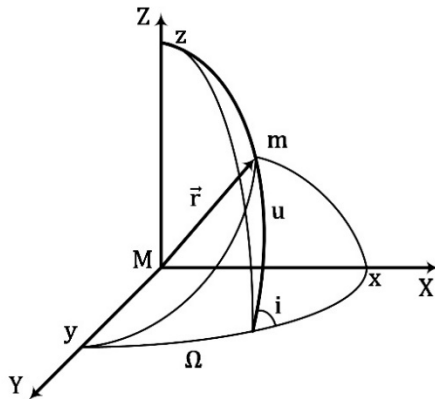
$$\begin{aligned} x &= r\alpha = r(\cos \Omega \cos u - \sin \Omega \sin u \cos i) \\ y &= r\beta = r(\sin \Omega \cos u + \cos \Omega \sin u \cos i) \\ z &= r\gamma = r \sin u \sin i. \end{aligned} \quad (107)$$

ფორმულები (88), (98) და (107) იძლევა ორი სხეულის ამოცანის ამონას ნაბეჭდის კეპლერის უკანასკნელ ელემენტებში. აქევე, u სიდიდე არის კუთხური მანძილი კვანძების ხაზსა და m წერტილის მიმდინარე რადიუს-ვექტორს შორის. მას ეწოდება გრძელის არგუმენტი. \vec{P} და \vec{Q} ორტების განსაზღვრების თანხმად ისინი ტოლია \vec{r}/r ორტისა, როცა $u = \omega$ და $u = \omega + 90^\circ$ (ეს მოუთოებს ω სიდიდის კიდევ ერთ სახელწოდებაზე – პერიფერულის არგუმენტი). ამიტომ, ფორმულები (105) და (106) იძლევა ორბიტის ვექტორულ და კეპლერის უკანასკნელ ელემენტებს შორის შემდეგი სახის კავშირს:

$$\begin{aligned} P_x &= \cos \Omega \cos \omega - \sin \Omega \sin \omega \cos i \\ P_y &= \sin \Omega \cos \omega + \cos \Omega \sin \omega \cos i \end{aligned} \quad (108)$$

$$\begin{aligned} P_z &= \sin \omega \sin i \\ Q_x &= -\cos \Omega \sin \omega - \sin \Omega \cos \omega \cos i \\ Q_y &= -\sin \Omega \sin \omega + \cos \Omega \cos \omega \cos i \end{aligned} \quad (109)$$

$$Q_z = \cos \omega \sin i$$



ნახაზი 8. რადიუს-ვექტორის მიმართულების კოსინუსების გამოთვლა.

თუ მოვახდენთ \vec{R} ვექტორის პროექციას უშუალოდ x, y, z ღერძებზე, მივიღებთ, რომ

$$\begin{aligned} R_x &= \sin \Omega \sin i \\ R_y &= -\cos \Omega \sin i \\ R_z &= \cos i \end{aligned} \quad (110)$$

ზოგადი ამონასნი შესაძლოა ასევე ჩავწეროთ შემდეგი სახით, თუ გამოვიყენებთ (99) და (100) ფორმულებს:

$$\begin{pmatrix} x \\ y \\ z \end{pmatrix} = \begin{pmatrix} P_x \\ P_y \\ P_z \end{pmatrix} \cdot \xi + \begin{pmatrix} Q_x \\ Q_y \\ Q_z \end{pmatrix} \cdot \eta \quad (111)$$

თუ მოვახდენთ (107) ან (111) გამოსახულების დიფერენცირებას t დროით, შეგვიძლია ვიპოვოთ $\dot{\vec{r}} \equiv (\dot{x}, \dot{y}, \dot{z})$ სიჩქარის ვექტორის კომპონენტები. ასევე სასარგებლოა ამ ვექტორის დაშლა რადიალურ V_r და რადიუს-ვექტორის მიმართ ნორმალურ (ტანგენტულურ) V_n კომპონენტებად. ცხადია, რომ $V_r = \dot{r}$, ხოლო $V_n = r\dot{\nu}$. მოვახდინოთ (88)-ის დიფერენცირება დროით და გავითვალისწინოთ (97) და (99), და მივიღებთ:

$$\begin{aligned} V_r &= \sqrt{\mu/p} e \sin \nu \\ V_r &= \sqrt{\mu/p} (1 + e \cos \nu) \\ V &= \sqrt{\mu/p} \sqrt{1 + 2e \cos \nu + e^2} \end{aligned} \quad (112)$$

ლექცია 7. მოძრაობის კლასიფიკაცია ორი სეზონის ამოცანაში

დეტალურად განვიხილოთ, თუ რა პირობებში ექნება ორი სეზონის ამოცანაში ამა თუ იმ ტიპის კეპლერისეულ მოძრაობას ადგილი. ამის შესახებ ინფორმაცია შეგვიძლია მოვათავსოთ ერთ ცხრილში (იხ. ცხრილი 2).

ცხრილი 2. კეპლერისეული მოძრაობის ტიპები ორი სეზონის ამოცანაში

მოძრაობის ტიპი	e	c	λ	h	V, r	$\delta = (r, V)$
წრიული	0	$\neq 0$	0	$-\mu/r$	$V^2 = \mu/r$	90°
კონცენტრი	$0 < e < 1$	-	$< \mu$	$-\mu/a$	$V^2 < 2\mu/r$	$0 < \delta \leq 180^\circ$
პარაბოლური	1	-	μ	0	$V^2 = 2\mu/r$	-
ჰაერბოლური	> 1	-	$> \mu$	μ/a	$V^2 > 2\mu/r$	-
წრფივი	1	0	ნებისმიერი	ნებისმიერი	ნებისმიერი	$0^\circ \leq 180^\circ$

ცხრილი 2-ის პირველი და მეორე სეზონი გამომდინარეობს კეპლერის პირველი კანონიდან და მეორე სარისხის მრუდების თეორიიდან. მესამე სეზონი აფიქსირებს კინეტიკური მომენტის მნიშვნელობებს მრუდწიროვანი და წრფივი მოძრაობისას. მეოთხე სეზონი შეიცავს ორი სეზონის ამოცანის გრავიტაციული მ მუდმივას და ლაპლასის ვექტორის სიდიდეს შორის კავშირს, რომელიც გამომდინარეობს (84) და (89) დამოკიდებულებებიდან. მეხუთე სეზონი მოცემული h გაორმავებული სრული ენერგიის სიდიდები გამომდინარეობს მესამე და მეოთხე სეზონის მონაცემებიდან და (84) დამოკიდებულებიდან.

საზო გავუსვათ, რომ წრიული და ელიფსური მოძრაობების, რომლებიც წარმოადგენს **ფინატურს** (სასრულო) ანუ ადგილი აქვთ სიბრტყის შემოსაზღვრულ არებში, სრული ენერგია უარყოფითია – კინეტიკური ენერგია არ არის საკმარისი მიზიდულობის ცვნტრის გრავიტაციული ზემოქმედების გადასალაშავად. **ინფინიტური** (უსასრულო) ანუ პარაბოლური და ჰიპერბოლური მოძრაობების შემთხვევებში სრული ენერგია არაურაყოფითია ანუ მოძრავი წერტილი გადალაშავს მიზიდულობის ძალას და მიდის უსასრულობაში. სრული ენერგიის სიდიდის ამ შეზღუდვებიდან და ენერგიის (78) ინტეგრალიდან გამომდინარეობს დამოკიდებულება წერტილის სიჩქარესა და მანძილს შორის, რომელზეც იგი მდებარეობს მოცემული მომენტისათვის და მოცემულია ცხრილი 2-ის მეექვსე სეზონი. წრიული და წრფივი მოძრაობების შემთხვევებში გაუთხოს მნიშვნელობები გამომდინარეობს აშკარა გეომეტრიული მოსაზრებებიდან.

სხვა შემთხვევებში ეს კუთხე უდიდეს მნიშვნელობებს იღებს ორბიტის პერიცენტრში. ნოლისკენ იგი მიისწრაფვის მაშინ, როცა წერტილი მიემართება უსასრულობისკენ პარაბოლაზე ან ჰიპერბოლაზე, ხოლო ელიფსური მოძრაობის შემთხვევაში ეს ხდება ელიფსის მცირე ღრების ბოლოებში, როცა იგი შეუზღუდულავად მცირდება.

ასტრონომიისა და კოსმონავტიკისათვის განსაკუთრებული მნიშვნელობა აქვს ცხრილი 2-ის მეექვსე სვეტის პირველ და მესამე დამოკიდებულებას. ეს იგივეა, რაც წრიული და პარაბოლური მოძრაობის სიჩქარეების ცნობილი ფორმულები:

$$V_c = \sqrt{\frac{\mu}{r}}, \quad V_p = \sqrt{\frac{2\mu}{r}}. \quad (113)$$

აღვნიშნოთ, რომ ამ ფორმულებიდან პირველი შეგვიძლია ვიპოვნოთ ელმერტარული მოსაზრებებიდან გამომდინარე, თუ გავუტოლებთ ერთმანეთს გრავიტაციულ და ცენტრიდანულ აჩქარებებს (მათი ტოლობა განაპირობებს სწორედ უწონადობის პირობებს ხელოვნური თანამგზავრის ან ორბიტული სადგურის ბორტზე):

$$\frac{\mu}{r^2} = \frac{V^2}{r} \quad (114)$$

საიდანაც ასვე შეგვიძლია განვსაზღვროთ წრიული მოძრაობის სიჩქარის ფორმულა. თუ r მანძილს გამოვსახავთ ცენტრალური სხეულის R რადიუსით და ფრენის H სიმაღლით, ხოლო μ გრავიტაციულ მუდმივას – სხეულის რადიუსით და g მიზიდულობის ძალის აჩქარებით მის ზედაპირზე, მაშინ (113) ფორმულები მიიღებენ შემდეგ სახეს:

$$V_c = \sqrt{\frac{gR^2}{R+H}}, \quad V_p = \sqrt{\frac{2gR^2}{R+H}}. \quad (115)$$

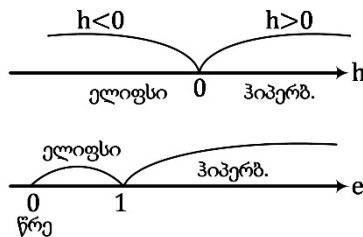
თუ ამჯერად დავუშვებთ, რომ სიმაღლე $H = 0$, მაშინ მივიღებთ წრიული და პარაბოლური მოძრაობის სიჩქარეებს მოცემული ციფრი სხეულის ზედაპირთან, რომელიც ცნობილია, როგორც პირველი და მეორე კოსმოსური სიჩქარეები:

$$V_1 = \sqrt{gR}, \quad V_2 = \sqrt{2gR}. \quad (116)$$

მეორე კოსმოსურ სიჩქარეს ასევე უწოდებენ განთავისუფლების ან გაქცევის სიჩქარეს.

განვიხილოთ ორი სხეულის ამოცანაში სხვადასხვა ტიპის მოძრაობებს შორის თანაფარდობა კიდევ ერთი თვალსაზრისით. ვთქვათ ყველანაირი საწყისი პირობა სრულდება თანაბარი აღბათობით. მაშინ λ და e სიდიდეთა მნიშვნელობები იქნება შემთხვევითი რიცხვები, რომლებიც თანაბრადა განაწილებული $[0, \infty)$ ინტერვალში. დავსვათ კითხვა: როგორია თითოეული მრუდწიროვანი ტიპის კეპლერისეული მოძრაობის აღბათობა? გეომეტრიული აღბათობების გამოთვლის მეთოდის მიხედვით წრიული და პარაბოლური მოძრაობის აღბათობა 0 -ის ტოლია, რადგან მათ შესაბამება ცალკეული წერტილები ექსცენტრისიტეტის შესაძლო მნიშვნელობების სხივზე (ნახაზი 9). ეს არის მაგალითი ხდომილებებისა, რომელთა აღბათობა ნოლია, თუმცა მათი დადგომა მაინც შესაძლებელია.

ელიფსური და ჰიპერბოლური მოძრაობების აღბათობათა გამოთვლას შესაძლოა შემდეგნაირად მივუდგეთ. დავუშვათ, რომ ნახაზზე 9 მოცემული ჰიპერბოლური მოძრაობის შესაბამის ნახევარღრმზე მდებარე მონაკვეთის სიგრძე დიდია, მაგრამ სასრულია და ტოლია l . მაშინ ელიფსური მოძრაობის აღბათობის $p(e < 1)$ და ჰიპერბოლური მოძრაობის აღბათობის $p(e > 1)$ შეფარდება ტოლია $1/l$. თუ $l \rightarrow \infty$ და გავითვალისწინებთ, რომ აღბათობათა ჯამი ტოლია 1 -ის, მაშინ მივიღებთ, რომ $p(e < 1) = 0$ და $p(e > 1) = 1$. მაგრამ ასეთი პასუხი არ არის მართებული თუნდაც იმიტომ, რომ $h/2$ სრული ენერგიის მნიშვნელობების რიცხვით ღერმზე ელიფსური და ჰიპერბოლური მოძრაობები იყვებენ ერთნაირ სიმეტრიულ სხივებს – $h < 0$ და $h > 0$. შეცდომა აქ იმაში მდგომარეობს, რომ $(0,1)$ მონაკვეთი განიხილება როგორც სასრული მნიშვნელობა, ხოლო $(1,\infty)$ სხივი – როგორც უსასრულო. სინაძვილეში ორივე მონაკვეთი შედგება უსასრულო რაოდენობის წერტილებისგან და აუცილებელია როგორმე შევუსაბამოთ ერთმანეთს ამ მონაკვეთებში მოქცეულ წერტილთა რაოდენობები. თუ მოვახდენთ გარდაქმნას $e \rightarrow 1/e$, მაშინ იგი შეუსაბამებს $(0,1)$ მონაკვეთის ერთ წერტილს $(1,\infty)$ სხივის ერთ და მხოლოდ ერთ წერტილს და პირიქით. სხვა სიტყვებით, ეს გარდაქმნა ამყარებს ურთიერთცალსახა დამოკიდებულებას ორივე სიმრავლის წერტილებს შორის. ეს ნიშნავს, რომ ამ ორივე სიმრავლის შემადგენლ წერტილთა რაოდენობა უნდა ჩავთვალით ტოლი. სიმრავლეთა თეორიის ენით თუ ვილაპარაკებთ, ამ ორ სიმრავლეს ერთნაირი ზომა აქვთ. ამიტომ ელიფსურ და ჰიპერბოლურ მოძრაობებს ერთნაირი აღბათობები აქვთ და ის ტოლია $p(e < 1) = p(e > 1) = 1/2$.



ნახაზი 9. სხვადასხვა ტიპის კეპლერისეული მოძრაობის აღბათობები.

დავსავთ კიდევ ერთი კითხვა: როგორია აღბათობა იმისა, რომ ექსცენტრისიტეტის მნიშვნელობა იქნება რაციონალური ან ირაციონალური რიცხვი? როგორც ცნობილია, რიცხვითი ღერძის რაციონალური მნიშვნელობების შესაბამისი წერტილებისგან შესაძლებელია შევადგინოთ მხოლოდ უსასრულოდ მცირე სიგრძის მონაკვეთი ანუ მათ სიმრავლეს ნულოვანი ზომა აქვს (თუმცა მათი რაოდენობა უსასრულოდ ბევრია). აქედან გამოდის, რომ $p(e_r) = 0$. შესაბამისად მივიღებთ მეორე მნიშვნელობასაც $p(e_{ir}) = 1$. მეორეს მხრივ, ნებისმიერი ციური სხეულის ორბიტის ექსცენტრისიტეტის მნიშვნელობა განისაზღვრება მისი პოზიციური დაკვირვებების საფუძველზე, რომელთაც შეზღუდული სიზუსტე გააჩნიათ. ეს ბოლო მოსაზრება საყოველთაო და პრინციპული ხასიათისაა. ამიტომ აზრი აქვს ექსცენტრისიტეტის მხოლოდ რაციონალურ მნიშვნელობებს (ისევე, როგორც ნებისმიერი სხვა გაზომვადი სიდიდისათვის) ანუ რაციონალური ექსცენტრისიტეტის აღბათობის მნიშვნელობაა $p(e_r) = 1$, ხოლო ირაციონალურის აღბათობაა $-p(e_{ir}) = 0$.

პარადოქსი, რომელსაც ჩვენ მივაღეჭით, ღრმა ბუნებისაა. იგი დაკავშირებულია სამყაროს ორ პრინციპულად განსხვავებულ სურათთან. პირველი, კლასიკური, გამომდინარეობს იქნან, რომ სამყარო შედგება დისკრეტული წერტილოვანი ობიექტებისაგან, ეს კი განსაზღვრავს მისი მახასიათებლების და, პირველ რიგში, სივრცე-დროის უსასრულო დაყოფადობას. მეორე სურათს, კვანტურს, საფუძვლად უდევს შეზღუდულება, რომ სამყაროს შემადგენელ ელემენტებს ერთდროულად გააჩნიათ დისკრეტული და უწყვეტი თვისებები („ნაწილაკი-ტალღის“ დუალიზმი). სამყაროს ამ სურათის წინააღმდეგობის მოსახსნელად შემოიღეს განუზღვრელობის პრინციპი (ჰაზენბერგის პრინციპი), რომელიც ზღუდავს ნებისმიერი გაზომვის სიზუსტეს.

ლექცია 8. პეკლერისეული მოძრაობის ცალკეული ტიპები

მოძრაობათა ტიპები ორი სხეულის ამოცანაში შეიძლება დავალაგოთ შემდეგი მიმდევრობით: ძირითადი – ელიფსური და პიპერბოლური, ზღვრული – წრიული და პარაბოლური, გადაგარუბული – წრფივი. სწორედ ამ მიმდევრობით განვიხილავთ თითოეულ ამ ჯგუფს.

ელიფსური მოძრაობა

მოძრაობის ამ ტიპს ადგილი აქვს მაშინ, როცა პირველი ინტეგრალების მუდმივების მნიშვნელობებია – $c \neq 0$, $0 < \lambda < \mu$, $h < 0$. იმისათვის, რომ დავასრულოთ ამოცანის ამოხსნა, უნდა ვიპოვნოთ ჭეშმარიტ ანომალიასა და დროს შორის კავშირი სასრული სახით ანუ გამოვთვალოთ ინტეგრალი:

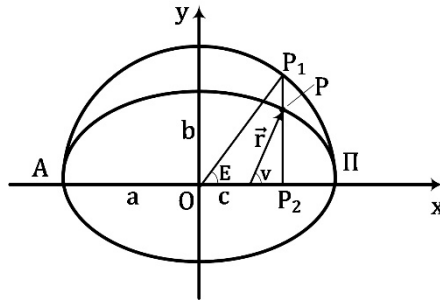
$$\int_0^v r^2 dv = c(t - \tau). \quad (117)$$

საინტერესო ისტორიული ფაქტია, რომ ცვლადების ჩანაცვლება, რომლის მეშვეობითაც საკმაოდ მარტივად იხსნება ეს ინტეგრალი, გეომეტრიული გზით იპოვნა ი.კეპლერმა ჯერ კიდევ მაშინ, როდესაც ინტეგრალური და დიფერენციალური აღრიცხვა არ არსებობდა. თუ ელიფსური ორბიტის დიდი ღრმის მიმართ გავაღლეთ პერპენდიკულარს ამ ორბიტაზე მოძრავი წერტილის მიმდინარე მდებარეობის გავლით წრეწირამდე, რომელიც აგებულია ამ ღერძზე, როგორც მის დამტეტრზე, მაშინ კუთხე ელიფსის ცენტრში დიდ ღრმისა და წრეწირთან კვეთის მიმართულებას შორის იქნება სწორედ ინტეგრირების ახალი ცვლადი. ამ E კუთხეს (იხ. ნახაზი 10) უწოდებენ **უქცენტრულ ანომალიას**. თუ განვიხილავთ სამკუთხედებს P_1MP და P_1OP_2 და ექსცენტრისიტეტის (93) განსაზღვრებას, მივიღებთ:

$$a \cos E = ae + r \cos v. \quad (118)$$

ელიფსის (90) განტოლების დახმარებით შეიძლება მივიღოთ, რომ a და b ნახევარლერმების მქონე ელიფსზე მდებარე წერტილების ორდინატების შეფარდება a რადიუსის მქონე წრის წერტილების ორდინატებთან ერთნაირი აბსცისების შემთხვევაში ტოლია:

$$\frac{y_c}{y_e} = \frac{a}{b}$$



ნახაზი 10. ექსცენტრული ანომალია.

(93)-ის გათვალისწინებით მივიღებთ, რომ

$$r \sin \nu = a \sqrt{1 - e^2} \sin E. \quad (119)$$

ფორმულებიდან (118) და (119) იოლია ვიპოვნოთ ორბიტული კოორდინატები:

$$\begin{aligned} \xi &= r \cos \nu = a(\cos E - e), \\ \eta &= r \sin \nu = a \sqrt{1 - e^2} \sin E, \end{aligned} \quad (120)$$

ხოლო თუ მათი კვადრატების ჯამიდან ავიღებთ კვადრატულ ფესვს, მივიღეთ, რომ:

$$r = a(1 - e \cos E). \quad (121)$$

ამის შემდეგ (118)-დან შეიძლება ვიპოვნოთ, რომ:

$$\cos \nu = \frac{\cos E - e}{1 - e \cos E}, \quad (122)$$

ხოლო (119)-დან:

$$\sin \nu = \frac{\sqrt{1 - e^2} \sin E}{1 - e \cos E}. \quad (123)$$

$\sin \nu / (1 + \cos \nu)$ სიდიდის მნიშვნელობის პოვნით, რომელიც თავის მხრივ ტოლია $\operatorname{tg}(\nu/2)$, ვიპოვნით კავშირს ჰეშმარიტ და ექსცენტრულ ანომალიებს შორის, რომელსაც შემდეგი სახით:

$$\operatorname{tg} \frac{\nu}{2} = \sqrt{\frac{1+e}{1-e}} \operatorname{tg} \frac{E}{2}. \quad (124)$$

ეს ფორმულა მოსახერხებლია იმით, რომ ცალსახად აკავშირებს ერთმანეთთან მეოთხედებს, რომლებშიც მოთავსებულია ν და E . საბოლოოდ, (123)-ის დიფერენცირება (122)-ის დახმარებით, გვაძლევს:

$$d\nu = \frac{\sqrt{1-e^2}}{1-e \cos E} dE. \quad (125)$$

(121) და (125) ჩაგვათ (117)-ში და (94)-ის მეშვეობით ვიპოვნით:

$$\int_0^E (1 - e \cos E) dE = \frac{\sqrt{\mu}}{a^{3/2}} (t - \tau) \quad (126)$$

ანუ

$$E - e \sin E = n(t - \tau), \quad (127)$$

სადაც $n = \sqrt{\mu}/a^{3/2}$. ჩვენ მივიღეთ ცნობილი **კეპლერის განტოლება**, რომელიც წარმოადგენს ორი სხვულის ამოცანის ამოხსნას ელიფსური მოძრაობის შემთხვევაში. თუ შემოვიღებთ აღნიშვნას

$$M = n(t - \tau), \quad (128)$$

მაშინ მისი უფრო კომპაქტური ფორმა იქნება:

$$E - e \sin E = M. \quad (129)$$

M სიდიდეს, რომელსაც უწოდებენ **საშუალო ანომალიას**, შეიძლება შევძინოთ შემდეგი აზრი: თუ წარმოვიდგენთ წერტილს, რომელიც თანაბრად მოძრაობს a რადიუსის წრეზე და გადის პერიცენტრსა და აპოცენტრზე m მატერიალურ წერტილთან ერთად, მაშინ მისი მდებარეობა განისაზღვრება M კუთხით, რომელიც აითვლება პერიცენტრის მიმართულებიდან და მისი წვერო ძეგს ელიფსის ცენტრში. n სიდიდე არის ელიფსურ ორბიტაზე მოძრაობის საშუალო კუთხური სიჩქარე და ასტრონომიაში ეწოდება **საშუალო მოძრაობა**.

ამის შემდგომ შეგვიძლია განვიხილოთ კეპლერის მესამე კანონი. თუ $t - \tau$ სხვაობას გავუტოლებთ მატერიალური წერტილის ელიფსურ ორბიტაზე სრული ბრუნის პერიოდს T , მივიღებთ, რომ

$$T = 2\pi \frac{a^{3/2}}{\sqrt{\mu}} = 2\pi \frac{a^{3/2}}{\sqrt{f(M+m)}}. \quad (130)$$

ეს არის **კეპლერის მესამე კანონი**, თუმცა იგი ჩაწერილია ნაკლებად გავრცელებული ფორმით. იგი აკავშირებს ერთმანეთთან პერიოდს და ელიფსის

დიდი ნახევარლერძის სიდიდეს, რომელზეც ერთი მეორეს მიმართ მოძრაობები მატერიალური წერტილები მასებით M და m . სწორედ ამ სახით გამოიყენება ეს კანონი მასების ჯამის განსაზღვრისას ორმაგ ვარსკვლავთა სისტემებში. ორი წერტილისათვის მასებით m_1 და m_2 , რომლებიც ბრუნავენ ერთი და იმავე მიზიდულობის ცნეტრის გარშემო მასით M , (130)-დან მივიღებთ, რომ:

$$\frac{T_1^2}{T_2^2} = \frac{M + m_2}{M + m_1} \cdot \frac{a_1^3}{a_2^3}. \quad (131)$$

მზის სისტემის სხეულების მასები ძალიან მცირეა მზის მასათან შედარებით. ერთის მხრივ, სწორედ ამან მისცა საშუალება იკეპლერის ეპოვნა ეს კანონი მისი გამარტივებული სახით:

$$\frac{T_1^2}{T_2^2} = \frac{a_1^3}{a_2^3}. \quad (132)$$

მეორეს მხრივ, ამ კანონის მოდიფიცირებული ფორმა, რომელიც იპოვნა ინიუტონმა (131) სახით, პრაქტიკულად არ გამოდგება მზის სისტემის სხეულთა მასების განსაზღვრისათვის. ამისათვის გამოიყენება კეპლერის კანონი იმ სიტუაციებში, როდესაც ცნეტრალური სხეულის (მზის) გარშემო მასით M ბრუნავს სხეული მასით m_p (პლანეტა), რომელსაც გააჩნია თანამგზავრი მასით m_s . მაშინ კეპლერის მესამე კანონის გამოიყენება „მზე-დედამიწა“ წყვილისა და „დედამიწა-თანამგზავრი“ წყვილის მიმართ, გვაძლევს:

$$\frac{T_p^2}{T_s^2} = \frac{m_p + m_s}{M + m_p} \cdot \frac{a_p^3}{a_s^3} \cong \frac{m_p}{M} \frac{a_p^3}{a_s^3}, \quad (133)$$

რადგან $M \gg m_p$ და $m_p \gg m_s$.

უნდა ხაზი გაესვას კეპლერის მესამე კანონის უაღრესად დიდ მნიშვნელობას ასტრონომიაში – ეს ციური სხეულების მასების განსაზღვრის ერთადერთი პირდაპირი მეთოდია. ყველა სხვა მეთოდი უფრო ან უმცირო დამოკიდებულებებს, რომელებიც საბოლოოდ ეყრდნობან ამ კანონის შესვებით მიღებულ მონაცემებს ან სხეულის ზომის და სიმკვრივის შეფასებებს.

ორბიტული კოორდინატების (120) გამოსახულების ჩასმით ზოგად (111) ფორმულებში მივიღებთ ელიფსურ ორბიტაზე მოძრავი წერტილის კოორდინატებს საწყის კოორდინატთა სისტემაში:

$$\begin{pmatrix} x \\ y \\ z \end{pmatrix} = a \left[\begin{pmatrix} P_x \\ P_y \\ P_z \end{pmatrix} \cdot (\cos E - e) + \begin{pmatrix} Q_x \\ Q_y \\ Q_z \end{pmatrix} \cdot \sqrt{1 - e^2} \cdot \sin E \right], \quad (134)$$

ხოლო (134)-ის დროის მიხედვით დიფერენცირების შემდეგ სიჩქარის კომპონენტებს:

$$\begin{pmatrix} \dot{x} \\ \dot{y} \\ \dot{z} \end{pmatrix} = \frac{na^2}{r} \left[-\begin{pmatrix} P_x \\ P_y \\ P_z \end{pmatrix} \cdot \sin E + \begin{pmatrix} Q_x \\ Q_y \\ Q_z \end{pmatrix} \cdot \sqrt{1-e^2} \cdot \cos E \right]. \quad (135)$$

ელიფსურ მოძრაობის სიჩქარის მოდული განისაზღვრება ენერგიის შენახვის კანონიდან იმის გათვალისწინებით, რომ მუდმივა $h = -\mu/a$:

$$V^2 = \mu \left(\frac{2}{r} - \frac{1}{a} \right) \quad (136)$$

ან (121)-ის გამოყენებით:

$$V^2 = \frac{\mu}{a} \cdot \frac{1 + e \cos E}{1 - e \cos E}. \quad (137)$$

როგორც უკვე აღვნიშნეთ, ზოგიერთი ორბიტის ელემენტი შეიძლება შეცვალოთ სხვა ელიფსური მოძრაობისათვის პირველ რიგში მიზანშეწონილია შეცვალოთ ორბიტის პარამეტრი დიდი ნახევარლერძით, თუმცა სასარგებლოა ასევე სხვა ცვლილებებიც. პერიცენტრული მანძილი იცვლება პერიცენტრის გრძელით

$$\pi = \Omega + \omega, \quad (138)$$

პერიცენტრში გავლის მომენტი τ – საშუალო ანომალიის M_0 მნიშვნელობით დროის t_0 მომენტში (საწყისი ეპოქის საშუალო ანომალია), ხოლო თავად M_0 სიდიდე – საწყისი ეპოქის საშუალო გრძელით

$$\varepsilon = \pi + M_0 = \Omega + \omega + M_0. \quad (139)$$

რა თქმა უნდა, აღნიშვნები π და ε არც თუ ისე მოსახრხებელია თანამედროვე მათემატიკაში მიღებული აღნიშვნების თვალსაზრისით, მაგრამ ისინი დიდი ხანია დამკვიდრებულია ცის მექანიკაში. ამ ელიფსურების შემოღების არსი შემდეგშია: კუთხები (რკალები) π და ε წარმოადგენენ ტეხილებს ანუ მათი ნაწილები ძევს სხვადასხვა სიბრტყეებში, სამაგიროდ ისინი Ω კვანძის გრძელთან ერთად აითვლებიან კოორდინატთა ერთი და იგივე x დერძის მიმართულებით. გარდა ამისა, დიდი ნახევარლერძი შეიძლება შეცვალოთ საშუალო მოძრაობით n , ხოლო ექსცენტრისიტეტი e – ექსცენტრისტეტის კუთხით $\varphi = \arcsin e$. პლანეტების მოძრაობის თეორიაში საკმაოდ

გავრცელებულია კლემნტების შემდეგი ნაკრები – ($\Omega, \pi, i, e, a, \varepsilon$), რომელსაც უწოდებენ კლიფსურ კაპლერისეულ კლემნტებს.

ცხრილებში 3 და 4 მოვანილია დიდი პლანეტების და ზოგიერთი მცირე პლანეტის კლემნტები. ცხრილის 2 განხილვა გვიჩვენებს, რომ ორბიტების დახრილობის და ექსცენტრისტეტის მნიშვნელობები საკმაოდ მცირეა, უმეტეს შემთხვევაში ნაკლებია 4° -სა და 0.05° -ზე. ეს ფაქტი, დიდი ნახევარლერძების გარკვეულ მნიშვნელობებთან ერთად, განსაზღვრავს მზის სისტემის აგებულების ძირითად დამახასიათებელ ნიშნებს. 4 ცხრილიდან ჩანს, რომ მცირე პლანეტების ორბიტებს ასევე გააჩნიათ დახრილობისა და ექსცენტრისიტეტის არც თუ ისე დიდი მნიშვნელობები, თუმცა მათი დამახასიათებელი სიდიდეები უფრო მეტია, ვიდრე დიდი პლანეტებისათვის. ამავე დროს გვხვდება მცირე პლანეტების დახრილობების და ექსცენტრისიტეტების საკმაოდ მაღალი მნიშვნელობები. მცირე პლანეტები, რომელთა დიდი ნახევარლერძები შეადგინენ დაახლოებით $2\text{--}4$ ა.ე. (ბრუნავენ მარსსა და თუპიტერს შორის), შეადგინენ მცირე პლანეტების ანუ ასტეროიდების მთავარ სარტყელს.

ცნობილი ორბიტების ქქონე მთავარი სარტყელის ასტეროიდების რაოდენობა სწრაფად იზრდება დაკვირვებათა ახალი საშუალებების გამოყენების ხარჯზე. დღეისათვის ამ რიცხვმა გადააჭარბა 120 ათასს. საკმაოდ დიდი ხანია ცნობილია მცირე პლანეტები, რომელთა ორბიტები შესაძლებელს ხდის დედამიწასთან მათ მეტ-ნაკლებად მჰიდრო მიახლოებას. ბოლო დროს ნაპოვნი ასეთი ობიექტების რაოდენობა სწრაფად იზრდება და დღეისათვის ისინი 4000-მდეა ცნობილი (თუმცა ორბიტები განსაზღვრულია მხოლოდ 420 მათგანისთვის).

დედამიწასთან მოახლოებად ასტეროიდებად ითვლება ისეთი ასტეროიდები, რომელთა ორბიტებსა და დედამიწის ორბიტას შორის უმცირესი მანძილი არ აღემატება 30 მლნ. კმ. ამასთან, დიდი პლანეტების შემაშფოთებელი ზემოქმედების შედეგად ამ ასტეროიდების მოძრაობის ცვლილების გამო შესაძლოა გაჩნდეს გარკვეული აღბათობა მათი დედამიწასთან შეჯახებისა. ამან მიიყვანა მეცნიერები ასტეროიდული საფრთხის პრობლემის შესწავლამდე.

უკანასკნელ ხანებში აღმოჩენილ იქნა მრავალი (დაახლოებით 1100; ორბიტები განსაზღვრულია მხოლოდ 140-თვის) ასტეროიდული სხეული, რომელთა ორბიტების დიდი ნახევარლერძები აღემატება ნეპტუნის და პლუტონის ორბიტებს. ისინი წარმოქმნიან ასტეროიდების გარე სარტყელს ანუ კოიპერის სარტყელს. გარკვეული რაოდენობას მცირე პლანეტების ორბიტები მოთავსებულია იუპიტერისა და ნეპტუნის ორბიტებს შორის.

ფორმულები (108), (109), (128), (134) და კბლურის განტოლება (129) წარმოადგენებ ელიფსურ ორბიტებზე მოძრავი ციური სხველების ეფექტების გამოთვლის საფუძვლებს. ასტრონომიაში ეფექტების უწოდებენ ციური სხეულების კოორდინატების მნიშვნელობებს დროის გარკვეულ მომენტებში, რომლებიც გამოთვლილია ორბიტის ცნობილი ელემენტებით. თუ ეფექტების აქვთ დროის მიხედვით მუდმივი ბიჯის მქონე ცხრილის სახე, მაშინ ბიჯი შეირჩევა ისეთნაირად, რომ დროის ნებისმიერი მომენტისათვის შესაძლებელი იყოს კოორდინატების პოვნა წრფივი ან კვადრატული ინტერპოლირების მეშვეობით. ცის მექნიკის თვალსაზრისით ეფექტების გამოთვლის სრული ალგორითმი მოიცავს რამდენიმე ტექნიკურ ეტაპს: სტანდარტულიდან (დღეისათვის 2000.0 წელი) საძიებო დღელამტოლობაზე გადასვლა; ორბიტის ეკლიპტიკური ვექტორული ელემენტებიდან ეპკატორულზე გადასვლა; ჰელიოცენტრული კოორდინატებიდან გეოცენტრულზე (ჩვეულებრივ ეპკატორულზე) გადასვლა. როგორც წესი, უფერიდები მოიცავნ ასევე ობიექტის ზილულ ვარსკვლავიერ სიდიდეს.

ჩვეულებრივ ასტრონომები თავიანთ პრაქტიკულ საქმიანობაში ეფექტების მოსახებნად იყენებენ ყოველწლიურ გამოცემებს, სადაც მოცემულია სხვადასხვა ციური სხეულის წინასწარ გამოთვლილი ეფექტები. ასეთი გამოცემაა, მაგალითად, „ასტრონომიული ალმანახი“ (The Astronomical Almanac, აშშ).

შეის, მთვარის და დიდი პლანეტების ეფექტების გამოსათვლელად მათში გამოყენებულია პლანეტების და მთვარის მოძრაობის თანამედროვე თეორიები DE2000/LE2000. ყოველწლიურ გამოცემაში „მცირე პლანეტების ეფექტები“ მოცემულია მათი ორბიტის ელემენტები და ეფექტები, მათ შორის იმათი, რომლებსაც აქვთ პირისპირდგომა იმ წელს.

შემოკლებული სახით და ნაკლები სიზუსტით მზის, მთვარის, დიდი და ზოგიერთი მცირე პლანეტის ეფექტები ქვეწლება ასტრონომიულ კალენდრებში (მაგალითად, ეხარაძის საქართველოს ეროვნული ასტროფიზიკური ობსერვატორიის ყოველწლიური „ასტრონომიული კალებდარი“).

ცხრილი 3. დიდი პლანეტების ორბიტის ელემენტები.

პლანეტები	a	T	S	$n, ^\circ$	$i, ^\circ$	e	$\Omega, ^\circ$	$\pi, ^\circ$	M_0°
მერკური	0.387	0.240	116	4.09	7.00	0.206	48	77	252
ვენერა	0.723	0.615	584	1.60	3.40	0.007	77	131	182
დედამიწა	1.000	1.000	-	0.99	0.00	0.017	-	103	100
მარსი	1.524	1.881	780	0.524	1.85	0.093	49	336	335
თუპატერი	5.203	11.86	399	0.083	1.30	0.048	100	14	32
სატურნი	9.555	29.54	378	0.034	2.48	0.056	113	93	50
ურანი	19.218	84.25	370	0.012	0.76	0.047	74	173	314
ნეპტუნი	30.110	165.2	368	0.006	1.77	0.009	132	48	304
პლუტონი	39.53	250.1	367	0.004	17.50	0.250	110	223	130

a - დიდი ნახევარდეკრძი, ა.ე.; T - სიღერული პერიოდი, წელიწადი; S - სინოდური პერიოდი, დღე-დაბეჭდი; n - საშუალო მოძრაობა, გრადუსი დღე-დაბეჭდში; e - ექსცენტრისიტეტი; i - გვლიატიერის მიმართ დახრა; Ω - კვანძის გრძელი; π - პერიპლიოუმის გრძელი; M_0 - საშუალო ანომალია 2000 წლის 1.5 ანგრის გარეშესათვის.

ცხრილი 4. ზოგიერთი მცირე პლანეტის ორბიტის ელემენტები.

პლანეტები	a	T	S	N	$I, ^\circ$	e	$\Omega, ^\circ$	$\pi, ^\circ$	M_0°
1 ცერენა	2.78	4.60	467	0.214	10.6	0.077	81	152	8
2 ჰალადა	2.77	4.61	467	0.214	34.8	0.235	173	123	355
3 თუნინა	2.67	4.36	474	0.226	13.0	0.257	171	57	243
4 ვესტა	2.36	3.63	504	0.272	7.1	0.090	104	254	341
5 ასტრეა	2.57	4.13	482	0.239	5.4	0.192	142	137	43
6 ჰება	2.42	3.78	497	0.261	14.8	0.202	139	17	50
153 ჰილდა	3.98	7.95	419	0.124	7.8	0.143	229	271	14
433 ეროსი	1.46	1.76	846	0.560	10.8	0.223	304	22	57
944 ჰიდალგო	5.84	14.08	393	0.070	42.5	0.658	22	79	223
1566 იაროსი	1.08	1.12	3409	0.881	22.9	0.827	88	119	105
20000 ვარუნა	43.19	283.82	366	0.003	17.2	0.051	273	10	87
28978 იქსონა	39.43	247.61	367	0.004	19.8	0.241	71	11	262
1998 BU	33.52	194.03	367	0.005	13.8	0.382	132	55	48

a - დიდი ნახევარდეკრძი, ა.ე.; T - სიღერული პერიოდი, წელიწადი; S - სინოდური პერიოდი, დღე-დაბეჭდი; n - საშუალო მოძრაობა, გრადუსი დღე-დაბეჭდში; e - ექსცენტრისიტეტი; i - გვლიატიერის მიმართ დახრა; Ω - კვანძის გრძელი; π - პერიპლიოუმის გრძელი; M_0 - საშუალო ანომალია 2000 წლის 1.5 ანგრის გარეშესათვის.

ჰიპერბოლური მოძრაობა

ამ მოძრაობის განხორციელების პირობაა - $c \neq 0, \lambda > \mu, h > 0$. მიუხედავად ელიფსური და ჰიპერბოლური ტიპის მოძრაობებს შორის თვისობრივი (პირველი - ფინიტურია, ხოლო მეორე - ინფინიტური) და გარეგნული განსხვავებისა, მათ სიღრმისული მსგავსებაც ახასიათებთ. ყველაზე სრულად იგი მუდავნდება, თუ ჰიპერბოლური მოძრაობის აღწერისათვის გამოვიყენებთ ჰიპერბოლურ ტრიგონომეტრიულ ფუნქციებს. ეს მსგავსება მდგომარეობს იმაში, რომ ჰიპერბოლური მოძრაობის ყველა ფორმულა შეძლება მივიღოთ, თუ ელიფსური მოძრაობის შესაბამის ფორმულებში გამოვიყენებთ შემდეგ ცვლილებებს:

$$\sin E \rightarrow \operatorname{sh} H, \quad \cos E \rightarrow \operatorname{ch} H, \quad \operatorname{tg} E \rightarrow \operatorname{th} H, \quad (140)$$

სადაც H - განხომილების არმქონე ცვლადია, რომელიც იცვლება $-\infty; +\infty$; ინტერვალში. გარდა ამისა, ყველა სხვაობა უნდა შევაბრუნოთ. ამსთან დაკავშირებით, შემდეგნაირად მოვიქცეთ: ამოვიწეროთ ელიფსური მოძრაობის ძირითადი დამოკიდებულებები და ზემოთ მოყანილი მსგავსების გამოყენებით, ჩავწეროთ შესაბამისი ფორმულები ჰიპერბოლური მოძრაობისათვის.

ჭეშმარიტ ანომალიასა და E და H ცვლადებს შორის კავშირი შემდეგია:

$$\operatorname{tg} \frac{\nu}{2} = \sqrt{\frac{1+e}{1-e}} \operatorname{tg} \frac{E}{2} \quad \operatorname{tg} \frac{\nu}{2} = \sqrt{\frac{e+1}{e-1}} \operatorname{th} \frac{H}{2}. \quad (141)$$

კეპლერის განტოლება და მისი ჰიპერბოლური ანალოგია:

$$E - e \sin E = n(t - \tau) \quad e \cdot \operatorname{ch} H - H = n(t - \tau), \quad (142)$$

ორბიტული კოორდინატებია:

$$\begin{aligned} \xi &= a(\cos E - e) & \xi &= a(e - \operatorname{ch} H) \\ \eta &= a\sqrt{1-e^2} \sin E & \eta &= a\sqrt{e^2-1} \operatorname{sh} H \\ r &= a(1 - e \cos E) & r &= a(e \operatorname{ch} H - 1) \end{aligned} \quad (143)$$

მოძრაობის სიჩქარეა:

$$V^2 = \mu \left(\frac{2}{r} - \frac{1}{a} \right) = \frac{\mu}{a} \cdot \frac{1 + e \cos E}{1 - e \cos E} \quad V^2 = \mu \left(\frac{2}{r} + \frac{1}{a} \right) = \frac{\mu}{a} \cdot \frac{e \operatorname{ch} H + 1}{e \operatorname{ch} H - 1}. \quad (144)$$

ჰიპერბოლური მოძრაობის კოორდინატების ფორმულები საწყის კოორდინატთა სისტემაში (111) და (143)-ის მიხედვით მიიღებს შემდეგ სახეს:

$$\begin{pmatrix} x \\ y \\ z \end{pmatrix} = a \left[\begin{pmatrix} P_x \\ P_y \\ P_z \end{pmatrix} \cdot (e - \operatorname{ch} H) + \begin{pmatrix} Q_x \\ Q_y \\ Q_z \end{pmatrix} \sqrt{e^2 - 1} \cdot \operatorname{sh} H \right]. \quad (145)$$

(141)-(145) ფორმულების შემთხვევაში გამოყენისათვის საჭიროა (98) ინტეგრალში მოვახდინოთ (141) ცვლადების შეცვლა (95)-ის გათვალისწინებით. ასევე აღვნიშნოთ, რომ ზემოთ ნახსენები მსგავსების არსებობამ მოგვცა საფუძველი ჰიპერბოლური ფუნქციებისათვის დაგვერქმია ჰიპერბოლური, თუმცა, ერთი შეხედვით, მათ ჰიპერბოლასთან საერთო არაფერი აქვთ. ფორმალურად (141)-(145)-ში მარცხენა ფორმულებიდან მარჯვენაზე გადასვლა შესაძლებლივ განვახორციელოთ, თუ ჩათვლით, რომ დიდი ნახევარლერძის უარყოფით a მნიშვნელობებს შეესაბამება წარმოსახვითი ელიფსის წარმოსახვითი მცირე ნახევარლერძი $i b$ (მაშინ ელიფსის განტოლება (90) გარდაიქმნება ჰიპერბოლის განტოლებად) და ჩავსავთ ნახევარლერძის მითითებულ მნიშვნელობებს ელიფსეური მოძრაობის ფორმულებში.

(98) ინტეგრალის გამოთვლისათვის ასევე შეიძლება გამოვიყენოთ ცვლილება:

$$\operatorname{tg} \frac{\nu}{2} = \sqrt{\frac{e+1}{e-1}} \operatorname{tg} \frac{F}{2} \quad (146)$$

და ვიპოვნოთ ჰიპერბოლური მოძრაობის ყველა მახასიათებელი როგორც F ცვლადის ფუნქცია. თუმცა, ასეთი ფორმალური ანალოგია ელიფსური მოძრაობისათვის არ გვექნება.

(144) ფორმულიდან გამომდინარეობს, რომ, როცა ჰიპერბოლაზე მოძრაობისას წერტილი მიემართება უსასრულობისკენ მისი სიჩქარე მისისწრაფის არანულოვანი მნიშვნელობისკენ:

$$V_\infty = \sqrt{\frac{\mu}{a}}, \quad (147)$$

რომელიც არის ეწ. სიჩქარის ჰიპერბოლური სიფრაბე.

ჰიპერბოლურ მოძრაობას ადგილი აქვს მაშინ, როცა მეტეორული სხეული შედის დედამიწის ან სხვა პლანეტის ზემოქმედების სფეროში გარკვეული ფარალობითი სიჩქარით; კოსმოსური აპარატის სხვა პლანეტისკენ ფრენის ტრაექტორიის პლანეტის მახლობელ მონაკვეთზე; ვარსკვლავების ერთმანეთთან მეტ-ნაკლებად მიახლოებისას. ასეთი მიახლოების ალბათობა ჩვენი გალაქტიკის უმრავლესობა ვარსკვლავებისათვის უაღრესად მცირეა. თუმცა ვარსკვლავთ გროვებში და გალაქტიკის ცენტრთან ახლოს იგი საგარაუდოდ, არც თუ ისე

მცირეა. ასეთი მიახლოების საბოლოო ეფექტი იქნება მხოლოდ ვარსკვლავთა ფარდობითი მოძრაობის მიმართულების ცვლილება. ეს ცვლილება ტოლია ჰიპერბოლის ასიმპტოტებს შორის გუთხის, რომლითაც ერთი ვარსკვლავი შემოუვლის მეორეს.

საბოლოოდ, შევჩერდეთ წმინდა თეორიულ, მაგრამ საინტერესო საკითხზე. ჰიპერბოლური მოძრაობის ყოველ კონკრეტულ შემთხვევაში წერტილი მიყვება ჰიპერბოლის მხოლოდ ერთ რომელიმე შტოს. რა აზრი აქვს ორი სხეულის ამოცანაში მეორე შტოს არსებობას მხოლოდ მიზიდულობის ძალების ზემოქმედების შემთხვევაში? პასუხი ამ კითხვაზე შემდეგია: წერტილი იმძრავებს ჰიპერბოლის მეორე შტოზე, თუ დროის t ნამდვილი მნიშვნელობებიდან გადავალთ მის it წარმოსახვით მნიშვნელობებზე.

წრიული მოძრაობა

წრიულ მოძრაობას ადგილი აქვს მაშინ, როცა $c \neq 0, \lambda = 0, h < 0$. ფორმალურად, წრიული მოძრაობა წარმოადგენს კლიფსური მოძრაობის კერძო შემთხვევას, როცა ექსცენტრისიტეტი $e = 0$. თუმცა, ამავე დროს, ფიქსირებულ მნიშვნელობას იღებს არა მარტო ორბიტის ეს ელემენტი. წრიულ ორბიტას არ გააჩნია პერიცენტრი და აპოცენტრი. ამიტომ, პერიცენტრული მანძილი ω აზრს კარგავს.

წრიულ ორბიტაზე მატერიალური წერტილის მდებარეობის განმსაზღვრული პოზიციური კუთხის ათვლის წერტილად შეიძლება ავილოთ ორბიტის ამომავალი კვანძი. ამ შემთხვევაში ჰეშმარიტი ანომალია ν ემთხვევა განედის არგუმენტის π . მეორეს მხრივ, განედის არგუმენტის ტოლია ასევე ექსცენტრული ანომალია E და საშუალო ანომალია M . ასევე აზრს კარგავნ ზოგადი სახით მოცემული ორბიტის ვექტორული ელემენტები. წრიული მოძრაობა აღიწერება ორბიტის ოთხი ელემენტით: ორბიტის რადიუსი r , კვანძის გრძელი Ω , ორბიტის დახრილობა i და აღმავალ კვანძში წერტილის გავლის მომენტი τ (ან საშუალო ანომალია M_0 საწყის ეპოქაში t_0) . წერტილის კოორდინატები წრიულ ორბიტაზე (107)-ის თანახმად ტოლია:

$$\begin{aligned} x &= r(\cos \Omega \cos M - \sin \Omega \sin M \cos i) \\ y &= r(\sin \Omega \cos M + \cos \Omega \sin M \cos i) \\ z &= r \sin M \sin i \end{aligned} \quad (148)$$

$$M = n(t - \tau) = n(t - t_0) + M_0, \quad n = \frac{\sqrt{\mu}}{r^{3/2}}. \quad (149)$$

ამ ბოლო განტოლებიდან გამომდინარეობს კეპლერის მესამე კანონი წრიული მოძრაობისათვის და მოძრაობის წრფივი სიჩქარის გამოსახულება:

$$T = \frac{2\pi}{\sqrt{\mu}} r^{3/2}, \quad V = \frac{\sqrt{\mu}}{r}. \quad (150)$$

წრიული მოძრაობა წმინდა სახით ბუნებაში არ გვხვდება, რადგან ყოველთვის არსებობს გარკვეული შემაშფოთებელი ფაქტორები. თუმცა მას დღი მნიშვნელობა აქვს, როგორც ელიფსური მოძრაობის აღწერის მარტივ მიახლოებას საკმარისად მცირე ექსცენტრისიტეტის შემთხვევაში.

პარაბოლური მოძრაობა

ამ ტიპის მოძრაობის არსებობის პირობაა: $c \neq 0, \lambda = \mu, h = 0$. რადგან ექსცენტრისიტეტი $e = 1$, მოძრაობის (98) კანონს ასეთი სახე ექნება:

$$\int_0^\nu \frac{dv}{(1 + \cos v)^2} = \frac{\sqrt{\mu}}{p^{3/2}}(t - \tau). \quad (151)$$

გადავიდეთ $\cos v$ -დან $\operatorname{tg}(v/2)$ -ზე შემდეგი ფორმულით:

$$\cos v = \frac{1 - \operatorname{tg}^2 \frac{\nu}{2}}{1 + \operatorname{tg}^2 \frac{\nu}{2}} \quad (152)$$

და მივიღებთ, რომ

$$\int_0^\nu \left(1 + \operatorname{tg}^2 \frac{\nu}{2}\right) \sec^2 \frac{\nu}{2} dv = \frac{\sqrt{\mu}}{p^{3/2}}(t - \tau). \quad (153)$$

თუ გამოვიყენებთ ცვლილებას $\sigma = \operatorname{tg}(v/2)$, ასევე ჩავანაცვლებთ ორბიტის პარამეტრს p -ს $2q$ -თი, სადაც q არის მანძილი პარაბოლის წვეროდან (ორბიტის პერიცენტრი) მის ფოკუსამდე, ინტეგრირების შემდეგ მივიღეთ:

$$\sigma^3 + 3\sigma - 3n(t - \tau) = 0, \quad (154)$$

$$n = \sqrt{\frac{\mu}{2}} q^{-3/2}. \quad (155)$$

კუბური განტოლების მარცხენა მხარე (**ძარღერის განტოლება**) – σ არგუმენტის მონოტონური ფუნქციაა, რადგან მისი წარმოებული, რომელიც ტოლია $3(\sigma^2 + 1)$, ყველგან დადგეთითა. ხოლო როცა $\sigma \rightarrow \pm\infty$, მაშინ ეს ფუნქციაც მიისწრაფის $\pm\infty$. ამიტომ, (154) განტოლებას ყოველთვის აქვს მხოლოდ ერთი რეალური ამონაზენი. ვიპოვნოთ ეს ფესვი რომელიმე მიახლოებითი რიცხვითი მეთოდით. ავირჩიოთ იგი როგორც ახალი დამოუკიდებელი ცვლადი, ჩავსვათ ორბიტის განტოლებაში (88) და მივიღებთ:

$$r = q(1 + \sigma^2). \quad (156)$$

გავიხსენოთ ფორმულა

$$\sin \nu = \frac{2 \operatorname{tg} \frac{\nu}{2}}{1 + \operatorname{tg}^2 \frac{\nu}{2}} \quad (157)$$

და ვიპოვნოთ ორბიტული კოორდინატები:

$$\begin{aligned} \xi &= r \cos \nu = q(1 - \sigma^2), \\ \eta &= r \sin \nu = 2q \sigma. \end{aligned} \quad (158)$$

საბოლოოდ, (111)-ის გარდაქმნა გვაძლევს:

$$\begin{pmatrix} x \\ y \\ z \end{pmatrix} = q \left[\begin{pmatrix} P_x \\ P_y \\ P_z \end{pmatrix} \cdot (1 - \sigma^2) + 2 \begin{pmatrix} Q_x \\ Q_y \\ Q_z \end{pmatrix} \cdot \sigma \right]. \quad (159)$$

კიდევ ერთხელ აღვნიშნავთ, რომ პარაბოლურ მოძრაობისას სიჩქარის მოდული განისაზღვრება ფორმულით

$$V^2 = \frac{2\mu}{r}, \quad (160)$$

საიდანაც ჩანს, როცა $\tilde{\nu}$ წერტილი მოძრაობს პარაბოლაზე უსასრულობისკენ, მისი სიჩქარე მიისწრაფის ნოლისკენ.

პარაბოლური მოძრაობა გამოყოფს ელიფსურ მოძრაობას ჰიპერბოლურისგან და შეშფოთებების არსებობის გამო ასევე ბუნებაში არ არსებობს. თუმცა იგი გამოიყენება ელიფსური და ჰიპერბოლური მოძრაობების განხილვისას, როცა ექსცენტრისიტეტის მნიშვნელობა ახლოა 1-თან, კერძოდ, კომეტების მოძრაობების შესწავლისას.

სწორზაზოვანი მოძრაობა

ამ ტიპის მოძრაობას ადგილი აქვს, როცა კინეტიკური მომენტი ნოლია ანუ $c = 0$. მაშინ (84)-ის გამო $\lambda = \mu$ და გაორმაგებულმა სრულმა ენერგიამ h შეიძლება მიიღოს ნებისმიერი მნიშვნელობა. ამ შემთხვევაში ორბიტის განტოლება (88) უკვე აღარ გამოიგება. თუმცა, წრფის განტოლების ჩაწერა, რომელიც ფაქტიურად წარმოადგენს მოძრაობის ტრაექტორიას, შესაძლებელია შემდეგნაირად: ეს წრფე უნდა გადიოდეს კოორდინატთა სათავეზე, რადგან $\vec{r} \dot{=} \vec{r}$, ანუ $(0,0,0)$ წერტილზე და მიმართულების ვექტორის სახით შესაძლოა ჰქონდეს საწყისი ვექტორი \vec{r}_0 . ამიტომ ტრაექტორის ვექტორული განტოლებისთვის $\vec{r}_0 \times \vec{r} = 0$, ხოლო სკალარული განტოლებისთვის

$$\frac{x}{x_0} = \frac{y}{y_0} = \frac{z}{z_0}. \quad (161)$$

ამ ტრაექტორის მიხედვით მოძრაობის კანონი შეიძლება მივიღოთ, თუ ენერგიის ინტეგრალს ვანგებერებთ, რადგან ამ შემთხვევაში $V^2 = \dot{r}^2$. ინტეგრირება გამარტივდება, თუ მოვახდენთ ცვლადების შემდეგ ცვლილებებს: $\sqrt{|h|} dt = \sqrt{\mu/a} dt = r d\eta$, სადაც $a = \mu/|h|$, ხოლო η – ახალი უგანზომილებო ცვლადია. აქედან მივიღეთ, რომ

$$\eta = \int \frac{dr}{\sqrt{2ar + sign(h) \cdot r^2}}. \quad (162)$$

ამ ინტეგრალის გამოთვლით, მივიღებთ:

$$\begin{aligned} r &= a(1 - \cos \eta), & h < 0, \\ r &= \frac{a}{2}\eta^2, & h = 0, \\ r &= a(\operatorname{ch} \eta - 1), & h > 0. \end{aligned} \quad (163)$$

ამავე დროს t დაკავშირებულია η არგუმენტთან შემდეგნაირად:

$$\begin{aligned} \eta - \sin \eta &= \frac{\sqrt{\mu}}{a^{3/2}}(t - t_0), & h < 0, \\ \frac{\eta^3}{6} &= \frac{\sqrt{\mu}}{a^{3/2}}(t - t_0), & h = 0, \\ sh \eta - \eta &= \frac{\sqrt{\mu}}{a^{3/2}}(t - t_0), & h > 0. \end{aligned} \quad (164)$$

როგორც ვხედავთ, η ცვლადი წარმოადგენს E ექსცენტრული ანომალიის და მისი H ჰიპერბოლური ანალოგის ზღვრულ მნიშვნელობას, თუ მოვახდენთ $e \rightarrow 1$ ზღვრულ გადასვლას a სიდიდის მუდმივი მნიშვნელობისათვის. აქ (164)-

ის პირველი და მესამე დამოკიდებულება კეპლერის განტოლების და მისი პიპერბოლური ანალოგის ზღვრული ფორმებია. ა მუდმივა წარმოადგენს ელიფსის დიდი ნახევარლერძის ან პიპერბოლის რეალური ნახევარლერძის ზღვრულ მნიშვნელობას და როცა $h < 0$, აღწევს მაქსიმალურ სიდიდეს. აქვე შევნიშნავთ, რომ (163) გამოსახულება მიღებულია საწყისი პირობისათვის $r_0 = 0$, ხოლო ზოგად შემთვევებში (163)-ის ორივე მხარეს უნდა დაემატოს r_0 სიდიდე.

(163)-(164) ამონახსნები აღწერებ არა მხოლოდ ერთი მატერიალური წერტილის მოძრაობას ნიუტონის მიზიდულობის ველში, არამედ ასევე შეუძლიათ აღწერონ მაგალითად სფერულად სიმეტრიული მტვროვანი ღრუბლის ევოლუცია. ასეთივე მათემატიკური ფორმა აქვს ზოგადი ფარდობითობის თეორიის ენტრეგინის ფორმულის ცნობილ ამონახსნს, რომელიც მიიღო ა.ფრიდმანმა ერთგვაროვანი და იზოტროპული სამყაროსათვის, რომელიც შევსებულია მტვრის მსგავსი ნივთიერებით (საჭიროა მხოლოდ შევცვალოთ სიდიდე μ/a სინათლის სიჩქარით c).

ეს ფაქტი მოუთითებს, რომ კლასიკური მექანიკა არის ზოგადი ფარდობითობის თეორიის სასაზღვრო შემთხვევა. თუმცა ეს არ ნიშნავს, რომ სამყაროს ევოლუცია შესაძლოა აღიწეროს ნიუტონის მექანიკის საზღვრებში, რადგან (163)-(164) ამონახსნებს ზოგადი ფარდობითობის თეორიაში გააჩნია სრულიად სხვა ფიზიკური არსი (კლასიკურ შემთხვევაში ვსაუბრობთ სივრცეში ცალკეული მატერიალური წერტილების მოძრაობაზე, ხოლო ზოგადი ფარდობითობის თეორიაში – თავად სივრცის განზომილების ცვლილებაზე (კერძოდ, გაფართოებაზე)).

ლექცია 9. პეპლერისეული მოძრაობის თეორიის დამატებითი საკითხები

ელიფსური მოძრაობის მწყრივები

პირველ რიგში დავიწყებთ ელიფსური მოძრაობის ხარისხობრივი პარამეტრების და მათ შორის, ექსცენტრული ანომალიის, როგორც კეპლერის განტოლების ამონასნის, ფუნქციურ მწყრივებად დაშლას. ამოცანის ასეთი დასმა დაკავშირებულია იმასთან, რომ კეპლერის განტოლება

$$E - e \sin E = M, \quad (165)$$

წარმოადგენს ტრანსცენდენტულ განტოლებას და ექსცენტრული ანომალია არ შეიძლება იქნას ნაპოვნი როგორც M და e არგუმენტების ელემენტარული ფუნქცია.

შევნიშნავთ, რომ საკმარისად ფართოდ არის გავრცელებული შემთხვევები (დიდი და უმრავლესობა მცირე პლანეტები, პლანეტების ბუნბერივი თანამგზავრები და დედამიწის ხელოვნური თანამგზავრები), როცა ორბიტის ექსცენტრისიტეტი ძალზედ მცირეა – $e \ll 1$. ასეთ შემთხვევებში კეპლერის განტოლების ამონასნის უფექტური საშუალებაა მისი რიცხვითი ამონასნა იტერაციის მეთოდით. ამასთან, შემდგომი მიახლოება გამოითვლება წინა მიახლოებით, შემდეგი ფორმულის გამოყენებით:

$$E_{n+1} = e \sin E_n + M. \quad (166)$$

E_0 სიდიდის საწყის მიახლოებად იღებენ M საშუალო ანომალიის მნიშვნელობას. (166) ფორმულის მარჯვენა მხარის ნამრავლის მოდულისთვის $|e \cos E| \leq e < 1$, ანუ იტერაციული პროცესის კრებადობის საკმარისი პირობა სრულდება, ხოლო e სიდიდის სიმცირე უზრუნველყოფს კრებადობის მაღალ სისწრაფეს. ამასთან, იტერაციის მეთოდი კეპლერის განტოლებისთვის შესაძლებელია განხორციელდეს ჩვეულებრივ კალკულატორზე შუალედური ჩანაწერების გარეშე. იტერაციების რაოდენობის შესამცირებლად საწყისი მიახლოების სახით შესაძლებელია ავილოთ კეპლერის განტოლების მიახლოებითი ამონასნები შესაბამისი ცხრილებიდან. თუმცა, მთელ რიგ გამოყენებით და, განსაკუთრებით, თეორიულ ამოცანებში, სასარგებლოა გვქონდეს კეპლერის განტოლების ამონასნი ანალიტიკური სახით, თუნდაც გარკვეული მიახლოებით.

e პარამეტრის სიმცირე ანუ $e \ll 1$, მიგვითთებს ვეძებოთ ასეთი ამონასნი ექსცენტრისიტეტის ხარისხების მწყრივის სახით. მწყრივის

კოეფიციენტები იქნება M საშუალო ანომალიის ფუნქციები. ამავე დროს, E ექსცენტრული ანომალია M საშუალო ანომალიის პერიოდული ფუნქცია. ეს ვითარება საშუალებას გვაძლევს დავსვათ E სიდიდის საშუალო ანომალიის მიხედვით ფურიეს მწყრივად დაშლის ამოცანა (შესაბამისად, ფურიეს კოეფიციენტები იქნება e ექსცენტრისიტეტის ფუნქციები).

კეპლერის განტოლების ამოხსნა

იმისათვის, რომ მივიღოთ კეპლერის განტოლების ამოხსნა ზარისხობრივი მწყრივის სახით:

$$E = \sum_{k=0}^{\infty} E_k e^k, \quad (167)$$

აუცილებელია ვიპოვნოთ ამ მწყრივის E_k კოეფიციენტები, რომლებიც განისაზღვრებიან შემდეგნაირად:

$$E_k = \frac{1}{k!} \left. \frac{dE(e)}{de} \right|_{e=0} \quad (168)$$

თუმცა, (167) გამოსახულებაში თავსუფალი ზარისხის ნამრავლის გამოთვლა დაგავშირებულია მნიშვნელოვან სირთულეებთან, რადგან E ექსცენტრული ანომალია როგორც e ექსცენტრისიტეტის ფუნქცია მოცემულია კეპლერის განტოლებაში არაცხადი ფუნქციის სახით. ამ სირთულეების გადაღახვის საშუალებას გვაძლევს ლაგრანჟის თეორემა ანალიტიკური ფუნქციების თეორიიდან. ეს თეორემა შემდეგში მდგომარეობს:

ლაგრანჟის თეორემა: თუ განტოლებაში

$$z - \alpha \cdot f(z) = a, \quad (169)$$

მუდმივებს α და a აქვთ ისეთი მნიშვნელობები, რომ z სიბრტყის რომელიღაც არეში ხრულდება პირობა:

$$\left| \frac{\alpha \cdot f(z)}{z - a} \right| < 1, \quad (170)$$

ამინ (169) განტოლების ფესვი არსებობს და ტოლია:

$$z = \sum_{k=0}^{\infty} \frac{\alpha^k}{k!} \cdot \frac{d^{k-1}}{da^{k-1}} [(f(a))^k]. \quad (171)$$

ლაგრანჟის (171) მწკრივი კრებადია a -ს ნებისმიერი მნიშვნელობისთვის, რომელისთვისაც სრულდება (170) პირობა. ლაგრანჟის თეორემის დამტკიცება შესაძლებელია მივიღოთ სრული მათემატიკური ინდუქციის მეთოდით. ლაგრანჟის თეორემას გააჩნია განზოგადება, რომელიც საშუალებას იძლევა ვიპოვნოთ ხარისხობრივი მწკრივი ნებისმიერი $\Phi(z)$ ანალიტიკური ფუნქციისათვის, რომლის არგუმენტი \tilde{z} არმოადგენს (169) განტოლების ფესვს, კერძოდ:

$$\Phi(z) = \sum_{k=0}^{\infty} \frac{a^k}{k!} \cdot \frac{d^{k-1}}{da^{k-1}} [\Phi'(a) \cdot (f(a))^k]. \quad (172)$$

ეს საშუალებას გვაძლევს ვიპოვნოთ ექსცენტრული ანომალიის და ელიფსური მოძრაობის სხვა, მათზე დამოკიდებული, მახასიათებლების მაკლორენის მწკრივის სახით დაშლა. ძირითადი პრობლემა ახლა იმაშია, რომ ვიპოვნოთ ამ მწკრივების კრებადობის რადიუსი პირობიდან:

$$|e| < \left| \frac{E - M}{\sin E} \right|, \quad (173)$$

რომელიც ჩვენს შემთხვევაში გამომდინარეობს (170)-დან.

პირობა (173) განსაზღვრავს არეს, რომელიც $E(e)$ ფუნქცია, როგორც კეპლერის (165) განტოლების ამონასნი, იქნება ანალიტიკური ფუნქცია და, შესაბამისად, იარსებებს dE/de წარმოებული E და e სიდიდეების ნებისმიერი მნიშვნელობებისათვის მითითებული არედან. ამ წარმოებულის გამოთვლით კეპლერის განტოლებიდან მივიღებთ:

$$\frac{dE}{de} = \frac{\sin E}{1 - e \cos E}. \quad (174)$$

აქედან, (171) და (172) მწკრივების კრებადობის რადიუსისათვის ვიპოვნოთ შემდეგი განტოლებათა სისტემა:

$$\begin{cases} E - e \sin E = M \\ 1 - e \cos E = 0 \end{cases} \quad (175)$$

ამასთან, ამ სისტემის მოდულით უნდა ვიპოვნოთ უმცირესი ფესვი e . მეორე განტოლებიდან გვაქვს, რომ $e = 1/\cos E$. შესაბამისად,

$$|e|^2 = 1/(\cos E \cdot \cos \bar{E}), \quad (176)$$

სადაც \bar{E} აღნიშნავს კომპლექსურ შეუღლებულ სიდიდეს. აქეთ გათვალისწინებულია, რომ კოსინუსი არის ლურჯი ფუნქცია. ვიპოვნოთ $\cos E \cdot \cos \bar{E}$ ფუნქციის მაქსიმუმი. მისი წარმოებული ტოლია:

$$-(\sin E \cos \bar{E} + \cos E \sin \bar{E}) = -\sin(E + \bar{E}) \quad (177)$$

თუ დავუშვებთ, რომ $E = \rho + i\sigma$, მაშინ წარმოებული ტოლია $-\sin 2\rho$, ხოლო $\sin 2\rho = 0$ განტოლების უმცირესი, არანულოვანი ფესვი არის $\pi/2$. ჩავსვათ $E = \pi/2 + i\sigma$ კეპლერის განტოლებაში:

$$\frac{\pi}{2} + i\sigma - \frac{\sin\left(\frac{\pi}{2} + i\sigma\right)}{\cos\left(\frac{\pi}{2} + i\sigma\right)} = M. \quad (178)$$

გავითვალისწინოთ მიყვანის ფორმულები, წარმოსახვითი არგუმენტის ტრიგონომეტრიულ ფუნქციებსა და ნამდვილი არგუმენტის პიპერბოლურ ფუნქციებს შორის კავშირი და მივიღებთ:

$$\frac{\pi}{2} + i\sigma + \frac{\cos i\sigma}{\sin i\sigma} = \frac{\pi}{2} + i\left(\sigma - \frac{ch \sigma}{sh \sigma}\right) = M. \quad (179)$$

რადგან ჩვენ გვაითვალისწინოთ M საშუალო ანომალის მხოლოდ ნამდვილი მნიშვნელობები, σ კოეფიციენტის განსაზღვრისათვის გვექნება განტოლება:

$$\sigma \cdot sh \sigma - ch \sigma = 0. \quad (180)$$

მნელი არ არის დავრწმუნდეთ, რომ ამ განტოლების ფესვი ძეგს 1-ს და 2-ს შორის. მისი ზუსტი მნიშვნელობაა $\sigma_0 = 1.1997$. საბოლოოდ მივიღებთ, რომ ლაგრანჟის მწყრივების კრებადობის რადიუსია

$$e_0 = \frac{1}{\cos\left(\frac{\pi}{2} + i\sigma_0\right)} = \frac{1}{sh \sigma} = 0.6627. \quad (181)$$

ექსცენტრისიტეტის e_0 მნიშვნელობას უწოდებენ **ლაპლასის ზღვარს**, რომელმაც პირველმა იძოვნა ეს სიდიდე, თუმცა განსხვავებული მეთოდით. ექსცენტრისიტეტის e_0 -ზე ნაკლები სიდიდისათვის, ლაგრანჟის მწყრივები აბსოლუტურად იკრიბებიან, ხოლო მეტი სიდიდისათვის შესაძლოა განშლადიც იყვნენ M საშუალო ანომალის გარკვეული მნიშვნელობებისათვის. ექსცენტრისიტეტის ლაპლასის ზღვარზე ნაკლები, თუმცა ახლო მდებარე, სიდიდისათვის შესაძლოა ამ მწყრივების კრებადობის სიჩქარე მნიშვნელოვნად შემცირდეს.

გადავიდეთ (167) მწკრივის რეალური სახით პოვნაზე. (171)-დან მივიღებთ, რომ

$$E_k = \frac{1}{k!} \cdot \frac{d^{k-1}}{dM^{k-1}} (\sin^k M). \quad (182)$$

თუ ჩავატარებთ გამოთვლებს (181) ფორმულით, მაშინ E_k კოეფიციენტებისათვის მივიღებთ გამოსახულებას პოლინომების სახით, რომელთა ხარისხებია $\sin M$ და $\cos M$. როგორც ცნობილია, შემდეგი ტოლობის მეშვეობით

$$(\cos M + i \sin M)^n = \cos nM + i \sin nM \quad (183)$$

$\sin^n M$ და $\cos^n M$ ხარისხები შესაძლებელია გამოვსახოთ M -ის ჯერადი ანუ kM არგუმენტის სინუსებით და კოსინუსებით. ამიტომ, E_k კოეფიციენტები შეიძლება განვიხილოთ, როგორც ტრიგონომეტრიული მრავალწევრები M საშუალო ანომალიის ჯერადი არგუმენტებით. კერძოდ, (181)-დან ვიღებთ:

$$E_0 = M, \quad E_1 = \sin M, \quad E_2 = \frac{1}{2} \sin 2M. \quad (184)$$

შესაბამისად, კებლერის განტოლების ამოხსნას შემდეგი სახე აქვს:

$$E = M + e \sin M + \frac{1}{2} e^2 \sin 2M + \dots. \quad (185)$$

ელიფსური მოძრაობის ხარისხობრივი მწკრივები

ელიფსური მოძრაობის სხვადასხვა მახასიათებლების მწკრივების მისაღებად დაგვჭირდება $\cos e$ და $\sin e$ ფუნქციების მწკრივები, ანუ:

$$\cos E = \sum_{k=0}^{\infty} C_k e^k, \quad \sin E = \sum_{k=0}^{\infty} S_k e^k. \quad (186)$$

გამოვიყენოთ ლაგრანჟის განზოგადებული მწკრივი და მივიღებთ, რომ:

$$C_k = \frac{1}{k!} \cdot \frac{d^{k-1}}{dM^{k-1}} (-\sin^{k+1} M). \quad (187)$$

გამოვთვალოთ პირველი C_k კოეფიციენტები და მივიღებთ, რომ:

$$\cos E = \cos M + \frac{e}{2} (\cos 2M - 1) + \frac{3}{8} e^2 (\cos 3M - \cos M) + \dots. \quad (188)$$

S_k კოეფიციენტების გამოსათვლელად არ არის აუცილებელი გამოვიყენოთ (172) მწკრივი, რადგან კეპლერის განტოლებიდან გამომდინარეობს, რომ:

$$\sin E = \frac{E - M}{e} = \sum_{k=0}^{\infty} E_k e^{k-1} - \frac{M}{e}. \quad (189)$$

თუ (186) მწკრივებიდან მეორეს შევადარებთ (87)-ს, დავრწმუნდებით, რომ კოეფიციენტები ტოლია:

$$S_k = E_{k+1} \quad (190)$$

ასევე მოვიქცევით შემდგომში ანუ შემდგომი მწკრივების კოეფიციენტებს გამოვსახავთ ძირითადი E_k და C_k მწკრივების ანუ ექსცენტრული ანომალიის და მისი კოსინუსის კოეფიციენტებით. რადგან ძირითადი მწკრივების კოეფიციენტები განუზღვრელია, ამიტომ სხვა სიდიდეებიც ჩავწეროთ განუზღვრელი სახით. მაშინ ორბიტის (121) განტოლება მიიღებს შემდეგ სახეს:

$$\frac{r}{a} = 1 - e \cos E. \quad (191)$$

თუ ჩავწერთ მწკრივს:

$$\frac{r}{a} = \sum_{k=0}^{\infty} R_k e^k, \quad (192)$$

მაშინ (191)-ის და (192)-ის შედარებით მივიღებთ, რომ

$$R_k = C_{k-1} \quad k \neq 0, \quad R_0 = 1. \quad (193)$$

ორბიტის განუზღვრელი კოორდინატებია:

$$\frac{\xi}{a} = \cos E - e, \quad \frac{\eta}{a} = \sqrt{1 - e^2} \sin E. \quad (194)$$

მათი სარისხობრივი მწკრივები აღვნიშნოთ შემდეგნაირად:

$$\frac{\xi}{a} = \sum_{k=0}^{\infty} \Xi_k e^k, \quad \frac{\eta}{a} = \sum_{k=0}^{\infty} H_k e^k. \quad (195)$$

თუ შევადარებთ ξ/a გამოსახულებებს, ადგომად დავინახავთ, რომ:

$$\Xi_k = C_k \quad (k \neq 1), \quad \Xi_1 = C_1 - 1. \quad (196)$$

იმისათვის, რომ ვიპოვნოთ H_k კოეფიციენტები, უნდა გავიხსენოთ, რომ $(1+x)^m$ -თვის ბინომური მწკრივის ზოგადი სახიდან შეგვიძლია მივიღოთ შემდეგი, თუ $m = 1/2$:

$$\sqrt{1 - e^2} = \sum_{k=0}^{\infty} \alpha_k e^k, \quad (197)$$

სადაც

$$\alpha_0, \quad \alpha_2 = \frac{1}{2}, \quad \alpha_{2j} = (-1)^j \frac{(2j-3)!!}{(2j)!!}, \quad \alpha_{2j+1} = 0.$$

გადავამრავლოთ აბსოლუტურად კრებადი (185) და (197) მწკრივები და მივიღებთ, რომ:

$$H_k = \sum_{s=0}^k \alpha_s S_{k-s} = \sum_{s=0}^k \alpha_s E_{k-s+1}. \quad (198)$$

ჩავწეროთ კოორდინატების მწკრივები საწყის კოორდინატთა სისტემაში:

$$\frac{x}{a} = \sum_{k=0}^{\infty} X_k e^k, \quad \frac{y}{a} = \sum_{k=0}^{\infty} Y_k e^k, \quad \frac{z}{a} = \sum_{k=0}^{\infty} Z_k e^k, \quad (199)$$

შევადაროთ ისინი (108) დამოკიდებულებას და მივიღებთ:

$$\begin{pmatrix} X_k \\ Y_k \\ Z_k \end{pmatrix} = \begin{pmatrix} P_x \\ P_y \\ P_z \end{pmatrix} \cdot \Xi_k + \begin{pmatrix} Q_x \\ Q_y \\ Q_z \end{pmatrix} \cdot H_k. \quad (200)$$

იმისათვის, რომ ვიპოვნოთ მწკრივი განუზღვრელი სიჩქარის კვადრატისათვის, ენერგიის (136) ინტეგრალი ჩავწეროთ (127)-ის მეშვეობით შემდეგი სახით:

$$\left(\frac{V}{na} \right)^2 = 2 \cdot \frac{a}{r} - 1. \quad (201)$$

ცხადია ასევე უნდა ვიპოვნოთ მწკრივი შებრუნებული მანძილისათვის:

$$\frac{a}{r} = \sum_{k=0}^{\infty} \tilde{R}_k e^k. \quad (202)$$

კებლერის განტოლების M -ით დიფერენცირებისას, მივიღებთ

$$\frac{dE}{dM} = \frac{1}{1 - e \cos E} = \frac{a}{r}, \quad (203)$$

ამიტომ კოეფიციენტები:

$$\tilde{R}_k = \frac{dE_k}{dM}, \quad (204)$$

ხოლო თუ ჩავწერთ მწერივს:

$$\left(\frac{V}{na}\right)^2 = \sum_{k=0}^{\infty} V_k^{(2)} e^k, \quad (205)$$

მაშინ ამ მწერივის კოეფიციენტები იქნება:

$$V_k^{(2)} = 2\tilde{R}_k \quad (k \neq 0), \quad V_0^{(2)} = 1. \quad (206)$$

საბოლოოდ, შემდეგი დამოკიდებულებების გამოყენებით:

$$\frac{V_n}{na} = \frac{r\dot{v}}{na} = \frac{\sqrt{\mu p}}{nar} = \frac{a}{r} \cdot \sqrt{1 - e^2} \quad (207)$$

და

$$\frac{\dot{v}}{n} = \frac{V_n}{nr} = \frac{a}{r} \cdot \frac{V_n}{na}, \quad (208)$$

შესაბამისი მწერივების გადამრავლებით, ხოლო შემდგომ, მიღებული ნამრავლის ინტეგრირებით დროის მიხედვით, შესაძლოა მივიღოთ მწერივი ჭეშმარიტი ანომალიისთვის, რომელსაც **ცენტრუს განტოლებას** უწოდებენ:

$$v = \sum_{k=0}^{\infty} v_k e^k. \quad (209)$$

მისი პირველი წევრები ასეთია:

$$v = M + 2e \sin M + \frac{5}{4}e^2 \sin 2M + \dots . \quad (210)$$

გლიფსური მოძრაობის ტრიგონომეტრიული მწერივები

კრებადობის არის გამო ხარისხობრივი მწერივები უფექტურია პრაქტიკულად მნიშვნელოვანი უქსცენტრისიტეტის მცირე მნიშვნელობებისათვის - $e \ll 1$. ამიტომ, საჭიროა ვთოვნოთ ისეთი მწერივები, რომლებიც იკრიბება უქსცენტრისიტეტის ნებისმიერი მნიშვნელობისთვის ($0 < e < 1$). ასეთ მწერივებს წარმოადგინს უურიეს მწერივები M საშუალო ანომალიის მიხედვით, რომელთა განხილვაზეც გადავალთ ქვევით.

ექსცენტრული ანომალია და მასზე დამოკიდებული ელიფსური მოძრაობის სხვა მასასიათებლები წარმოადგენს საშუალო ანომალიის პერიოდულ ფუნქციებს, რადგან ექსცენტრული ანომალია E ყველა ფორმულაში შედის მხოლოდ სინუსის ან კოსინუსის ნიშნის შიგნით.

გარდა ამისა, კეპლერის განტოლებიდან და ელიფსური მოძრაობის სხვა ფორმულებიდან გამომდინარებს, რომ $E - M$ სხვაობა და r, ξ, η სიდიდეები არიან საშუალო ანომალიის ლუწი ან კენტი ფუნქციები. ლუწი 2π პერიოდიანი ფუნქციის ფურიეს მწკრივს შემდეგი სახე აქვს:

$$f(x) = \frac{a_0}{2} + \sum_{k=1}^{\infty} a_k \cos kx, \quad (211)$$

სადაც ფურიეს კოეფიციენტებია:

$$a_k = \frac{2}{\pi} \int_0^{\pi} f(x) \cos kx \, dx, \quad (212)$$

ხოლო კენტი ფუნქციისათვის:

$$f(x) = \sum_{k=1}^{\infty} b_k \sin kx, \quad (213)$$

და ფურიეს კოეფიციენტებია:

$$b_k = \frac{2}{\pi} \int_0^{\pi} f(x) \sin kx \, dx, \quad (214)$$

დირიხლეს თეორემის მიხედვით (212) და (214) ინტეგრალების საბოლოო მნიშვნელობების არსებობა საგმარისი პირობაა (211) და (213) მწკრივების კრებადობისათვის, რომელიც, საზოგადოდ, პირობითაა.

პირველ რიგში ვიპოვნოთ ძირითადი მწკრივების ფურიე კოეფიციენტები ექსცენტრული ანომალიისა და მისი კოსინუსისთვის.

კოეფიციენტები $E - M$ სიდიდისთვის (214)-ის თანახმად, ტოლია:

$$b_k = \frac{2}{\pi} \int_0^{\pi} (E - M) \sin kM \, dM, \quad (215)$$

რადგან კეპლერის განტოლება იძლევა E სიდიდეს, როგორც M არგუმენტის მქონე არაცხად ფუნქციას, ხოლო M სიდიდეს, პირიქით, E არგუმენტის ცხად ფუნქციას, (215) ინტეგრალში გადავიდეთ E ინტეგრირების

ცვლადზე. ამის გაკეთება მოსახურხებელი იქნება, თუ (215)-ს წინასწარ ნაწილ-ნაწილ ვაინტეგრებთ. მაშინ:

$$\begin{aligned} b_k &= \frac{2}{k\pi} \left[-(E - M) \cos kM \left|_0^\pi + \int_0^\pi \cos kM(dE - dM) \right] = \\ &= \frac{2}{k\pi} \int_0^\pi \cos(kE - ke \sin E) dE. \end{aligned} \quad (216)$$

თუ გავიხსენებთ ცნობილ ინტეგრალურ ფორმულას **ბესელის ფუნქციისათვის:**

$$J_k(x) = \frac{1}{\pi} \int_0^\pi (k\varphi - x \sin \varphi) d\varphi, \quad (217)$$

მაშინ კოეფიციენტებისათვის მივიღებთ:

$$b_k = \frac{2}{k} J_k(ke), \quad (218)$$

ხოლო ექსცენტრული ანომალიისთვის ფურიეს მწყრივს შემდეგი სახე აქვს:

$$E = M + 2 \sum_{k=1}^{\infty} \frac{1}{k} J_k(ke) \sin kM. \quad (219)$$

ანალოგიურად, თუ მოვახდენთ $\cos E$ ფუნქციის ფურიე კოეფიციენტების ნაწილ-ნაწილ ინტეგრირებას:

$$a_k = \frac{2}{\pi} \int_0^\pi \cos E \cos kM dM, \quad (220)$$

მივიღებთ, რომ:

$$a_k = \frac{2}{k\pi} \int_0^\pi \sin(kE - ke \sin E) \sin E dE, \quad (221)$$

გადავიდეთ სინუსების ნამრავლიდან კოსინუსების სხვაობაზე და, კვლავ, (217)-ის გათვალისწინებით, მივიღებთ, რომ:

$$a_k = \frac{1}{k} [J_{k-1}(ke) - J_{k+1}(ke)]. \quad (222)$$

(222) გამოსახულება გამოუსადეგარია როცა $k = 0$, მაგრამ ამ შემთხვევაში (220)-ის პირდაპირი ინტეგრირება გვიჩვენებს, რომ $a_0 = -e$. შესაბამისად:

$$\cos E = -\frac{e}{2} + \sum_{k=1}^{\infty} \frac{1}{k} [J_{k-1}(ke) - J_{k+1}(ke)] \cos kM. \quad (223)$$

ამის შემდეგ ელიფსური მოძრაობისათვის შესაძლებელია მივიღოთ ფურიეს მწკრივები სხვა სახით:

$$\begin{aligned} \frac{r}{a} &= 1 + \frac{e^2}{2} - e \sum_{k=1}^{\infty} \frac{1}{k} [J_{k-1}(ke) - J_{k+1}(ke)] \cos kM, \\ \frac{\xi}{a} &= -\frac{3}{2}e + \sum_{k=1}^{\infty} \frac{1}{k} [J_{k-1}(ke) - J_{k+1}(ke)] \cos kM, \\ \frac{\eta}{a} &= \frac{2\sqrt{1-e^2}}{e} \sum_{k=1}^{\infty} \frac{1}{k} J_k(ke) \sin kM. \end{aligned} \quad (224)$$

როგორც ცნობილია, ბესელის ფუნქციები იშლება აბსოლუტურად კრებად ხარისხობრივ მწკრივებად, გერძოდ:

$$J_k(x) = \sum_{j=0}^{\infty} \frac{(-1)^j \left(\frac{x}{2}\right)^{k+2j}}{k! (k+j)!}. \quad (225)$$

მწკრივი (225) ჩავსვათ მწკრივებში (219), (223) და (224) და ჩავთვალოთ, რომ $x = ke$. თუ ერთად დავაჯვალოთ წევრებს e ექსცენტრისიტეტის ტოლი ხარისხებით, მივიღებთ მწკრივებს e -ს ხარისხებით, რომელთა კოეფიციენტები იქნება $\sin kM$ და $\cos kM$ ფუნქციების ტრიგონომეტრიული მრავალწევრები. ასევე პირიქით, თუ წინა პარაგრაფში მოყვანილ შესაბამის ხარისხობრივ მწკრივებში დავაჯვალოთ სინუსებსა და კოსინუსებში ერთნაირ არგუმენტებიან წევრებს, ეს მწკრივები შესაძლებელია გარდავქმნათ ფურიეს მწკრივებად, რომელთა კოეფიციენტებია e არგუმენტის მქონე ხარისხობრივი მწკრივები. თუმცა, ასეთი გარდაქმნები მწკრივების კრებადობის დარღვევის გარეშე, თანაც მათი ჯამის მიმართ, შესაძლებელია შესრულდეს მხოლოდ აბსოლუტურად კრებადი მწკრივებისათვის, რომელთათვისაც კრებადია მწკრივი, შედგენილი მათი წევრების მოდულებისგან.

თუ მწკრივი კრებადია მხოლოდ პირობითად, სხვანაირად რომ ვთქვათ, მისი კრებადობა უზრუნველყოფილია საპირისპირო ნიშნის წევრების ნაწილობრივი ურთიერთკომბენსაციით, მაშინ ასეთი მწკრივის უსასრულო რაოდენობის წევრების გადაადგილებამ შესაძლოა გამოიწვიოს მწკრივის ჯამის ცვლილება ან განშლადი მწკრივის მიღებაც კი.

ამ მოსაზრებებს მივყავართ ლაპლასის e_0 ზღვრის ახალ გაგებამდე. იგი წარმოადგენს საზღვარს ელიფსური მოძრაობის ფურიეს მწკრივების აბსოლუტური და პირობითი კრებადობის არებს შორის. ექსცენტრისიტეტის $e < e_0$ მნიშვნელობებისათვის ფურიეს მწკრივები აბსოლუტურად კრებადია. ამიტომ, მათგან მიღებული მწკრივები $e > e_0$ მნიშვნელობებისათვის ფურიეს მწკრივები ასევე კრებადია და თანაც, აბსოლუტურად. ხოლო $e = e_0$ მნიშვნელობებისათვის ფურიეს მწკრივები ასევე კრებადია, მაგრამ მხოლოდ პირობითად. ამიტომ, შესაბამისი მწკრივები ექსცენტრისიტეტის ხარისხებით შესაძლოა იყოს გაშლადი, თუნდაც M საშუალო ანომალიის ზოგიერთი მნიშვნელობებისათვის.

ლექცია 10. ორი სეულის სასაზღვრო ამოცანა

ორი სეულის ამოცანა შეიძლება ამოცხნათ როგორც საწყისი, ასევე სასაზღვრო პირობებით. საწყისი პირობებით ორბიტის ელემენტების პოვნის ამოცანა (ანუ, როგორც ამბობენ, ორბიტის პოვნა) ფაქტიურად უკვე განვიხილეთ წინა ლექციაში. პირველი ინტეგრალების გამოსახულებებიდან განისაზღვრება პირველი ინტეგრალების მუდმივები. შემდეგ, (89) და (98) ფორმულების საფუძველზე ვპოულობთ ელემენტებს e, p, r .

რაც შეეხება სასაზღვრო ამოცანას, პირველ რიგში უნდა გავიხსენოთ, რომ ასტრომეტრიული დაკვირვებები გვაძლევს მხოლოდ ციური სხეულის მდებარეობას ცის სფეროზე მისი ორი კუთხური კოორდინატის სახით. ამიტომ, ორბიტის ექვსი ელემენტის საპოვნელად აუცილებელია სულ მცირე სამი დაკვირვება (წრიული მოძრაობის შემთხვევაში საკმარისია მხოლოდ ორი დაკვირვება).

თუმცა, სანამ გადავალოთ ორბიტის ელემენტების განსაზღვრის ამოცანაზე, უნდა განვსაზღვროთ სასაზღვრო პირობები ანუ რადიუს-ვექტორების $\vec{r}_{1,2}$ მნიშვნელობები დროის $t_{1,2}$ მომენტში კუთხური კოორდინატების მნიშვნელობების მიხედვით, როგორც წესი, ეკვატორული α_k, β_k კოორდინატებით t_k დროის მომენტში, სადაც $k = 1, 0, 2$ (დროის შუალედური მომენტი მოხერხებულია აღნიშნოთ როგორც t_0). ამისათვის, პირველ რიგში, გამოიყენება აპრიორული ინფორმაცია იმის შესახებ, რომ \vec{r}_k ვექტორის სამი წერტილი ძევს მეორე რიგის რომელიაც მრუდზე და დროში დაკავშირებულია ერთმანეთთან კეპლერის მეორე კანონით.

სამი დაკვირვებით ელიფსური ორბიტის განსაზღვრის გაუსის მეთოდი ეფუძნება შემდეგ იდეას. რადგან რადიუს-ვექტორები ძევს ერთ სიბრტყეში, მაშინ ისინი წრფივად არიან ერთმანეთთან დაკავშირებული ანუ $\vec{r}_1 = c_1 \vec{r}_1 + c_2 \vec{r}_2$, სადაც კოეფიციენტები $c_{1,2}$ ტოლია შესაბამისი სამკუთხედების ფართობების შეფარდების, რომლებიც წარმოქმნილია \vec{r}_k ვექტორებით.

ამავე დროს, კეპლერის მეორე კანონი გვაძლევს შესაბამისი ელიფსური სექტორების ფართობების შეფარდებას. აქედან ისმება სამკუთხედის ფართობის ელიფსური სექტორის ფართობთან შეფარდების პოვნის პრობლემა, რაც საკმარის რთული ამოცანაა, რადგან ელიფსური სექტორის ფართობი არ გამოისახება სასრული სახით მისი წვეროების კოორდინატებით. პირველ მიახლოებაში ეს ამოცანა ამოიხსნება იმ ვარაუდით, რომ მოძრაობა წარმოებს წრიულ ორბიტაზე-ეს დასაშვებია მაშინ, როცა დაკვირვებები მოიცავს ორბიტის მხოლოდ

შედარებით მცირე რკალს, როგორც ეს ხდება მცირე პლანეტების ორბიტების განსაზღვრისას და, სავარაუდოდ, ექსცენტრისიტეტის მნიშვნელობა არც ისე დიდია.

განვიხილოთ ორბიტის განსაზღვრის მეთოდი, რომელსაც არ სჭირდება ზემოხსენებული ვარაუდი და, ამიტომ, ფართოდ გამოიყენება ასტროდინამიკაში. იგი ეფუძნება **ლამბერტის თეორემას**. ეს თეორემა აკავშირებს ელიფსური ორბიტის დად ნახევარლერშს a ორი წერტილის რადიუსებთან $r_{1,2}$, ამ წერტილებს შორის ქორდის სიგრძესთან c და დროის შუალედთან $\Delta t = t_2 - t_1$, რომლის განმავლობაში მატერიალური წერტილი გაივლის ორბიტის რკალს $\vec{r}_{1,2}$ წერტილებს შორის.

ამავე დროს, უნდა გავითვალისწინოთ, რომ ეს რკალი შესაძლებელია იყოს როგორც ნაკლები, ასევე მეტი 180° -ზე, ხოლო $\vec{r}_{1,2}$ წერტილების შემართებელმა ქორდამ შესაძლოა გადაკვეთოს ელიფსის დიდი ნახევარლერძი. ამიტომ, სანამ ჩამოვაყალიბებთ თავად ლამბერტის თეორემას, უნდა შემოვიდოთ დამხმარე სიდიდე a_m – მოსაზღვრე ელიფსის დიდი ნახევარლერძი, რომლის ქორდა (იხ. ნახაზი 11-დ) გადის ელიფსის მეორე ფოკუსზე და ამასთან:

$$a_m = \frac{1}{4}(r_1 + r_2 + c). \quad (226)$$

მაშინ, ამ მოსაზღვრე ორბიტაზე გადაფრენის დრო ტოლია:

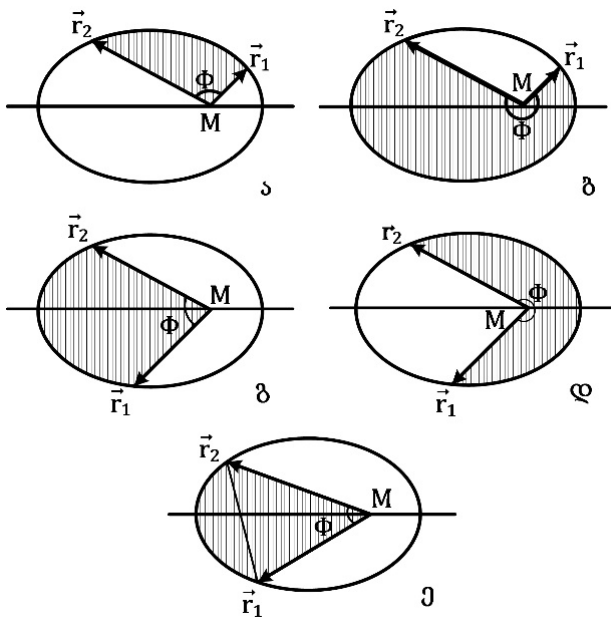
$$\Delta t_m = \frac{a_m^{3/2}}{\sqrt{\mu}} [\pi - sign(\sin \Phi)(\delta - \sin \delta)]. \quad (227)$$

თავად ლამბერტის თეორემას აქვს შემდეგი სახე:

$$\begin{aligned} \sqrt{\mu} (t_2 - t_1) &= a^{3/2} [\pi + sign(\Delta t_m - \Delta t)(\varepsilon - \sin \varepsilon) \\ &\quad - sign(\sin \Phi)(\delta - \sin \delta)], \end{aligned} \quad (228)$$

სადაც

$$\sin \frac{\varepsilon}{2} = \sqrt{\frac{a_m}{a}}, \quad \sin \frac{\delta}{2} = \sqrt{\frac{a_m - 2c}{a}}, \quad c = \sqrt{r_1^2 - 2r_1 r_2 + r_2^2}, \quad (229)$$



ნახაზი 11. ელიფსური სექტორის სხვადასხვა განლაგება ელიფსის დიდი
ნახევარლერძის მიმართ.

ხოლო Φ წარმოადგენს კუთხეს $\vec{r}_{1,2}$ ვექტორებს შორის, ანუ $\Phi = \nu_2 - \nu_1$. ამასთანავე, $0 < \delta/2 < \varepsilon/2 < \pi/2$, ხოლო (228)-სა და (229)-ში ნიშნის თანამამრავლის გამოჩენა დაკაშირებულია ორბიტაზე $\vec{r}_{1,2}$ წერტილების სხვადასხვა შესაძლო განლაგებასთან, რომლებსაც შევეხეთ ზემოთ და რომლებიც ნაჩვენებია ნახაზზე 11.

თუ ცნობილია $\vec{r}_{1,2}$ ვექტორები, მაშინ $\sin \Phi$ და $\cos \Phi$ სიდიდეები შეგვიძლია ვაპოვნოთ ამ ვექტორების ვექტორული ნამრავლის მოდულის და მათი სკალარული ნამრავლის მეშვეობით. მაშინ ლამბერტის ოქორემა შესაძლოა განვიხილოთ როგორც განტოლება a დიდი ნახევარლერძის მიმართ, რომელიც უნდა ამოვხსნათ რომელიმე რიცხვითი მეთოდით. თუ ვიცით a სიდიდე, მაშინ შესაძლებელია ვიპოვნოთ ორბიტის პარამეტრი

$$p = \frac{r_1 r_2 \sin^2 \frac{\Phi}{2}}{a \sin \frac{\varepsilon - \gamma}{2}} \quad (230)$$

სადაც

$$\gamma = \operatorname{sign}(\Delta t_m - \Delta t) \cdot \operatorname{sign}(\sin \Phi) \cdot \delta.$$

ფორმულა (230) მიიღება $\vec{r}_{1,2}$ წერტილებში ჭეშმარიტი და ექსცენტრული ანომალიების მნიშვნელობათა სხვაობების შეფარდების და ქორდის სიგრძის ექსცენტრული ანომალიების სხვაობებზე დამკაიდებულებიდან.

თუ განვიხილავთ მომენტის ინტეგრალს, ლაპლასის ინტეგრალს და მათ ვექტორულ ნამრავლს $\vec{r}_{1,2}$ წერტილებში, შესაძლებელია მივიღოთ ორბიტის ვექტორული ელემენტების შემდეგი გამოსახულებები:

$$\vec{P} = \frac{e + \cos \nu_{1,2}}{p} \vec{r}_{1,2} - \frac{r_{1,2}}{\sqrt{\mu p}} \sin \nu_{1,2} \dot{\vec{r}}_{1,2} \quad (231)$$

$$\vec{Q} = \frac{\sin \nu_{1,2}}{p} \vec{r}_{1,2} - \frac{r_{1,2}}{\sqrt{\mu p}} \cos \nu_{1,2} \dot{\vec{r}}_{1,2} \quad (232)$$

გამოვრიცხოთ ამ განტოლებებიდან $\dot{\vec{r}}_{1,2}$ სიჩქარეები და ვაპოვნით ორბიტის ვექტორულ ელემენტებს, რაც საბოლოოდ საშუალებას მოგვცემს ვიპოვნოთ Ω, ω, i .

შევნიშნავთ, რომ თუ (231) და (232) განტოლებების ყოველი წყვილებიდან გამოვრიცხავთ \vec{P} და \vec{Q} ვექტორებს, შესაძლებელია ვიპოვნოთ ორი განტოლება, რომლებიც აკავშირებენ რადიუს-ვექტორებს და სიჩქარის ვექტორებს დროის ორ განხილულ მომენტში. მიღებული განტოლებათა სისტემა ამოქსნათ \vec{r}_2 რადიუს-ვექტორის და $\dot{\vec{r}}_2$ სიჩქარის ვექტორის მიმართ და მივიღებთ:

$$\vec{r}_2 = \left[1 - \frac{r_2}{p} (1 - \cos \Phi) \right] \cdot \vec{r}_1 + \frac{r_1 r_2}{\sqrt{\mu p}} \sin \Phi \cdot \dot{\vec{r}}_1 \quad (233)$$

$$\dot{\vec{r}}_2 = \left[\frac{\vec{r}_1 \cdot \dot{\vec{r}}_1}{pr_1} (1 - \cos \Phi) - \frac{1}{r_1} \sqrt{\frac{\mu}{p}} \sin \Phi \right] \cdot \vec{r}_1 + \left[1 - \frac{r_1}{p} (1 - \cos \Phi) \right] \cdot \dot{\vec{r}}_1 \quad (234)$$

საბოლოოდ, (233) და (234) ფორმულებში გამოვტოვოთ ინდექსი 2 და ინდექსი 1 შევცვალოთ ინდექსით 0, მივიღებთ რადიუს-ვექტორის და სიჩქარის

ვექტორის დამოკიდებულებას მათ საწყის მნიშვნელობებზე დროის ნებისმიერ მომენტში:

$$\dot{\vec{r}} = \left[1 - \frac{r}{p} (1 - \cos \Phi) \right] \cdot \vec{r}_0 + \frac{rr_0}{\sqrt{\mu p}} \sin \Phi \cdot \dot{\vec{r}}_0 \quad (235)$$

$$\dot{\vec{r}} = \left[\frac{\vec{r}_0 \cdot \dot{\vec{r}}_0}{pr_0} (1 - \cos \Phi) - \frac{1}{r} \sqrt{\frac{\mu}{p}} \sin \Phi \right] \cdot \vec{r}_0 + \left[1 - \frac{r_0}{p} (1 - \cos \Phi) \right] \cdot \dot{\vec{r}}_0 \quad (236)$$

სადაც $\Phi = v - v_0$.

თუ ლამბერტის თეორემაში მოვახდენთ სასაზღვრო გადასვლას როცა $a \rightarrow \infty$, მივიღებთ კოლერის თეორემას, რომლის მიხედვით

$$6\sqrt{\mu} \Delta t = (r_1 + r_2 + c)^{3/2} - \text{sign}(\Phi)(r_1 + r_2 - c)^{3/2}. \quad (237)$$

ეს თეორემა გამოიყენება ოლბერსის მეთოდით პარაბოლური ორბიტების გამოსათვლელად. ლამბერტის და ეილერის თეორემები ასევე გამოიყენება შესაბამის ორბიტაზე ორ წერტილს შორის გადაადგილების დროის გამოსათვლელად.

საზოგადოდ, ხელოვნური ციური სხეულების, კერძოდ, დედამიწის ხელოვნური თანამგზავრების ორბიტების განსაზღვრის ამოცანის ამოხსნა მნიშვნელოვნად არის დამოკიდებული მათი მოძრაობის ტელემეტრიულ მონაცემებზე. რადიოლოგაციური და ვიზოლოგაციური გაზომვები გვაძლევენ ხელოვნურ ციურ სხეულებადე მანძილს, ხოლო დოპლერის სიჩქარეების გაზომვები – სიჩქარის რადიალურ კომპონენტს. ამასთან, თუ კუთხური კორდინატებით და მანძილით ვიპოვნით სიჩქარის ტანგენციალურ კომპონენტს, მაშინ ორბიტის განსაზღვრის ამოცანა დაიყვანება კოშის ამოცანაზე.

ცის მექანიკისა და გარსკვლავთ ასტრონომიის მომიჯნავე საკითხს წარმოადგენს ორმაგ ვარსკვლავთ სისტემაში ორბიტის განსაზღვრის ამოცანა. ძირითადი სირთულეები აქ ის არის, რომ ჩვენ ვაკვირდებით ამ სისტემის კომპონენტებს მხოლოდ მხედველობის სიბრტყის პროექციაში. ამ სირთულეების გადალახვის შესაძლებლობები და გზები დამოკიდებულია ორმაგი სისტემის ტანგენტზე. ცის მექანიკის კიდევ ერთი სპეციფიკური ამოცანაა მზისა და მთვარის დაბნელებების დროის და კითარების გამოთვლა.

ლექცია 11. ორი სხვულის ამოცანის ინტეგრირებული თრი ჰამილტონ-იაკობის მეთოდით

პირველი ინტეგრალების მეთოდი, რომლითაც იქნა ინტეგრირებული ორი სხეულის ამოცანის განტოლებები წინა თავში, არ წარმოადგენს ერთადერთ მეთოდს. განვიხილოთ ამ ამოცანის ამოხსნა სფერულ კოორდინატებში ჰამილტონ-იაკობის მეთოდით.

სფერულ კოორდინატთა სისტემის გამოყენება მიზანშეწონილია, რადგან ამ შემთხვევაში პოტენციალი, რომელიც ტოლია $V = \mu/r$, დამოკიდებულია მხოლოდ ერთ კოორდინატზე. კუთხური კოორდინატები აღვნიშნოთ როგორც φ და λ , სადაც φ - გრძედია, λ კი - განედი. ჰამილტონ-იაკობის მეთოდის გამოყენებისათვის თავდაპირველად უნდა ვიპოვნოთ r, λ, φ კოორდინატების შესაბამისი განზოგადებული იმპულსები - R, Λ, Φ .

განზოგადებული იმპულსი p_i , რომელიც შეესაბამება განზოგადებულ კოორდინატს q_i , განისაზღვრება ფორმულით:

$$p_i = \frac{\partial L}{\partial q_i}, \quad (238)$$

სადაც **ლაგრანჟის ფუნქცია** ტოლია კინეტიკური და პოტენციური ენერგიების სხვაობის ანუ $L = T + V$. კინეტიკურ ენერგიას სფერულ კოორდინატებში შემდეგი სახე აქვს:

$$T = \frac{1}{2}(\dot{r}^2 + r^2\dot{\varphi}^2 + r^2 \cos^2 \varphi \cdot \dot{\lambda}^2). \quad (239)$$

ლაგრანჟის ფუნქცია ტოლია

$$L = \frac{1}{2}(\dot{r}^2 + r^2\dot{\varphi}^2 + r^2 \cos^2 \varphi \cdot \dot{\lambda}^2) + \frac{\mu}{r}. \quad (240)$$

აქედან ვპოულობთ, რომ

$$R = \dot{r}, \quad \Phi = r^2\dot{\varphi}, \quad \Lambda = r^2 \cos^2 \varphi \cdot \dot{\lambda} \quad (241)$$

ამდენად, შეგვიძლია ჩავწეროთ ორი სხეულის ამოცანის **ჰამილტონის ფუნქცია**, რომელიც ტოლია განზოგადებულ კოორდინატებში და განზოგადებულ იმპულსებში გამოხატული სრული ენერგიის, ანუ

$$H = \frac{1}{2}\left(R^2 + \frac{\Phi^2}{r^2} + \frac{\Lambda^2}{r^2 \cos^2 \varphi}\right) - \frac{\mu}{r}. \quad (242)$$

იმისათვის, რომ ჩავწეროთ პამილტონ-იაკობის განტოლება, საჭიროა S მოქმედების დროითი კერძო წარმოებულის და პამილტონის ფუნქციის ჯამი გავუტოლოთ ნოლს. ამასთან, პამილტონის ფუნქციაში განზოგადებული იმპულსები უნდა შევცვალოთ S მოქმედების განზოგადებული კოორდინატების მიხედვით კერძო წარმოებულებით. კონსერვატიულ ამოცანებში ანუ ამოცანებში, სადაც მოქმედებები მხოლოდ კონსერვატიული ძალები, მოქმედება შეიძლება შემდეგნაირად წარმოვადგინოთ:

$$S = W(q_i) - \alpha_1 t, \quad (243)$$

სადაც W - ე.წ. შეკვეცილი მოქმედებაა. მაშინ პამილტონ-იაკობის განტოლებას შემდეგი სახე აქვს:

$$\left(\frac{\partial W}{\partial r}\right)^2 + \frac{1}{r^2} \left(\frac{\partial W}{\partial \varphi}\right)^2 + \frac{1}{r^2 \cos^2 \varphi} \left(\frac{\partial \Lambda}{\partial \lambda}\right)^2 - \frac{2\mu}{r} = 2\alpha_1 \quad (244)$$

ამის შემდგომ საჭიროა ვიპოვნოთ ამ განტოლების სრული ინტეგრალი ანუ მისი ისეთი ინტეგრალი, რომელიც ზოგადისგან განსხვავებით, დამოკიდებულია არა სამ ნებისმიერ ფუნქციაზე, არამედ მხოლოდ სამ ნებისმიერ მუდმივაზე. ვიპოვნოთ იგი ცვლადების განცალკევების გზით, ანუ ასეთი სახით:

$$W = W_1(r) + W_2(\varphi) + W_3(\lambda). \quad (245)$$

ჩავსვათ (245) (244)-ში და მივიღებთ:

$$\left(\frac{dW_1}{dr}\right)^2 + \frac{1}{r^2} \left(\frac{dW_2}{d\varphi}\right)^2 + \frac{1}{r^2 \cos^2 \varphi} \left(\frac{dW_3}{d\lambda}\right)^2 - \frac{2\mu}{r} = 2\alpha_1 \quad (246)$$

თუ დავუშვებთ, რომ

$$\frac{dW_3}{d\lambda} = \alpha_3, \quad \left(\frac{dW_2}{d\varphi}\right)^2 + \frac{\alpha_3^2}{\cos^2 \varphi} = \alpha_2^2. \quad (247)$$

მაშინ მივიღებთ:

$$\left(\frac{dW_1}{dr}\right)^2 + \frac{\alpha_2^2}{r^2} - \frac{2\mu}{r} = 2\alpha_1. \quad (248)$$

აქედან შეკვეცილი მოქმედება ტოლია:

$$W = \alpha_3 \lambda + \int \sqrt{\alpha_2^2 - \frac{\alpha_3^2}{\cos^2 \varphi}} d\varphi + \int \sqrt{2\alpha_1 + \frac{2\mu}{r} - \frac{\alpha_2^2}{r^2}} dr. \quad (249)$$

ამოცანის ზოგადი ამონახსნი უკვე შემდეგი დამოკიდებულებებით გამოისახება:

$$\frac{\partial S}{\partial \alpha_i} = \beta_i, \quad (250)$$

რომლებიც ჩვენს შემთხვევაში გვაძლვს შემდეგს:

$$\frac{\partial W}{\partial \alpha_1} = \int \frac{dr}{\sqrt{2\alpha_1 + \frac{2\mu}{r} - \frac{\alpha_2^2}{r^2}}} = t + \alpha_1, \quad (251)$$

$$\frac{\partial W}{\partial \alpha_2} = \alpha_2 \int \frac{d\varphi}{\sqrt{\alpha_2^2 - \frac{\alpha_3^2}{\cos^2 \varphi}}} - \alpha_2 \int \frac{dr}{r^2 \sqrt{2\alpha_1 + \frac{2\mu}{r} - \frac{\alpha_2^2}{r^2}}} = \beta_2, \quad (252)$$

$$\lambda - \alpha_3 \int \frac{d\varphi}{\cos^2 \sqrt{\alpha_2^2 - \frac{\alpha_3^2}{\cos^2 \varphi}}} = \beta_3. \quad (253)$$

ინტეგრირების α_i, β_i ექვს მუდმივას, რომლებიც განსაზღვრავენ ორი სხეულის ზოგადი ამოცანის ამონახსნას პამილტონ-იაკობის ფორმით, უწოდებენ აკობის კლემენტებს.

ფორმალურად, ჩვენ გადავწყვიტეთ დასტული ამოცანა. თუმცა შემდგომსათვის, ჩვენ გვჭირდება განვსაზღვროთ კავშირი იაკობის და კეპლერის კლემენტებს შორის. ამისათვის უნდა გამოვთვალოთ ინტეგრალები (251)-(253) ფორმულებში. რადგან (253) ფორმულიდან $\cos^2 \varphi > \alpha_3^2 / \alpha_2^2$, შეგვიძლია დავწეროთ:

$$\frac{\alpha_3^2}{\alpha_2^2} = \cos i. \quad (254)$$

თუ (253)-ში მოვახდეთ შესაბამის ცვლილებებს, მაშინ მისი ინტეგრირების და გარკვეული გარდაქმნების შემდეგ, მივიღეთ

$$\operatorname{tg} \varphi = \operatorname{tg} i \cdot \sin(\lambda - \beta_3). \quad (255)$$

(255) გავამრავლოთ $r \cos \varphi \cos i$ -ზე და დეკარტეს და სუერულ კოორდინატებს შორის კავშირის გათვალისწინებით, მივიღეთ:

$$\sin \beta_3 \sin i \cdot x - \cos \beta_3 \sin i \cdot y + \cos i \cdot z = 0 \quad (256)$$

ამდენად, მივიღეთ მოძრაობის სიბრტყის განტოლება და (110)-ის გათვალისწინებით შეგვიძლია გავაკეთოთ დასკვნა, რომ β_3 მუდმივა არის კვანძის გრძელი, ხოლო ზემოთ შემოტანილი კუთხე i ემთხვევა ორბიტის დახრის კუთხეს i .

იმისათვის, რომ ვიპოვნოთ პირველი ინტეგრალი (252)-ში, შევცვალოთ ინტეგრირების მუდმივა:

$$\sin \varphi = \sin i \sin u \quad (257)$$

სადაც გრძელის არგუმენტია $u = \omega + \nu$. მაშინ, ინტეგრირების შემდეგ მივიღებთ, რომ

$$\alpha_2 \int \frac{dr}{r^2 \sqrt{2\alpha_1 + \frac{2\mu}{r} - \frac{\alpha_2^2}{r^2}}} = u - \beta_2. \quad (258)$$

თუ $s = 1/r$ ცვლილების მეშვეობით გამოვთვლით (258) ინტეგრალს, მივიღებთ ორბიტის განტოლებას

$$r = \frac{\frac{\alpha_2^2}{\mu}}{1 + \sqrt{1 + \frac{2\alpha_1\alpha_2^2}{\mu^2} \cos(u - \beta_2)}}. \quad (259)$$

თუ (259)-ს შევადარებთ (87)-(89)-ს, დავინახავთ, რომ

$$\frac{\alpha_2^2}{\mu^2} = p, \quad \sqrt{1 + \frac{2\alpha_1\alpha_2^2}{\mu^2}} = e, \quad \beta_2 = \omega \quad (260)$$

საიდანაც გამომდინარეობს, რომ

$$\alpha_2 = \sqrt{\mu p}, \quad \alpha_1 = \frac{\mu}{2p} (e^2 - 1). \quad (261)$$

(261)-ის პირველი ტოლობიდან ჩანს, რომ α_2 ელემენტი ტოლია c კინეტიკური მომენტის, ხოლო მეორედან გამომდინარეობს ჩვენთვის უკვე ცნობილი დამოკიდებულება სრული ენერგიის ნიშანსა (რომელიც ტოლია α_1 მუდმივასი) და ორი სხეულის ამოცანაში მოძრაობის ტიპს შორის. (254) და (261)-დან გამომდინარეობს, რომ

$$\alpha_3 = \sqrt{\mu p} \cos i. \quad (262)$$

საბოლოოდ, თუ გამოვითვლით (258) ინტეგრალს r მანძილის უმცირესი მნიშვნელობიდან (პერიცენტრში მისი მნიშვნელობა) r მანძილის მიმდინარე მნიშვნელობამდე, მაშინ მოთხოვნა, რომ მარცხენა და მარჯვენა ნაწილები (258)-ში ერთდროულად უტოლდებოდეს ნოლს, გვაძლევს მნიშვნელობას $\beta_1 = -\tau$.

დასკვნისათვის ერთად მოგუყაროთ თავი ფორმულებს, რომლებიც კეპლერის ელემენტებს გამოხატავენ იაკობის ელემენტების მეშვეობით და პირიქით. შედეგად მივიღებთ:

$$\Omega = \beta_3, \quad \omega = \beta_2, \quad \cos i = \frac{\alpha_3}{\alpha_2}, \quad p = \frac{\alpha_2^2}{\mu}, \quad e = \sqrt{1 + \frac{2\alpha_1\alpha_2^2}{\mu^2}}, \quad \tau = -\beta_1 \quad (263)$$

და

$$\begin{aligned} \alpha_1 &= \frac{\mu}{2p}(e^2 - 1), \quad \alpha_2 = \sqrt{\mu p}, \quad \alpha_3 = \sqrt{\mu p} \cos i, \\ \beta_1 &= -\tau, \quad \beta_2 = \omega, \quad \beta_3 = \Omega. \end{aligned} \quad (264)$$

უნდა აღვნიშნოთ, რომ იაკობის ელემენტები α_i – ნაწილაკის მოძრაობის სწორედ ის მახასიათებლებია, რომელთა დაკვანტვაც ზდება მიკროფიზიკაში.

ლექცია 12. მოძრაობა ცენტრალური ძალის გავლენით

ორი სხულის ამოცანაში მოქმედი ძალის მნიშვნელოვანი თავისებურებაა მისი ცენტრალური ხასიათი ანუ ის, რომ ძალის მოქმედების წრფე ყოველთვის გადის ერთ და იგივე წერტილზე – მიზიდულობის ცენტრზე. ამიტომ, ამ ძალის ჩაწერა შესაძლებელია შემდეგი სახით:

$$\vec{F} = F(r) \vec{r}^0, \quad (265)$$

სადაც \vec{r}^0 - \vec{r} რადიუს-ვექტორის ორტია. ფუნქციის

$$F(r) = -\frac{\mu}{r^2}, \quad (266)$$

მოდული განსაზღვრავს ძალის სიდიდეს, ხოლო ნიშანი – მისი მოქმედების თავისებურებას (ანუ ის, რომ იგი მიზიდულობის ძალაა).

განვიხილოთ ზოგადი შემთხვევა – თავისუფალი ცენტრალური ძალის გავლენით მოძრაობის ამოცანა. ეს ძალა ანუ

$$F = F(r, \dot{r}, t) \quad (267)$$

არის r მანძილის, მისი \dot{r} ცვლილების სიჩქარის და დროის თავისუფალი ფუნქცია. პირველ რიგში, ეს საშუალებას მოგვცემს გავარკვიოთ ორი სხულის ამოცანის რა თვისებები გამომდინარეობს მასში მოქმედი ძალის ცენტრალური ხასიათიდან, ხოლო რა თვისებები – მისი r მანძილზე დამოკიდებულებიდან. მეორე, ასეთ ამოცანას შესაძლებელია პქონდეს გარკვეული პრაქტიკული გამოყენება. ეს შესაძლოა იყოს ვარსკვლავის მოძრაობა ვარსკვლავთ სფერულ გროვაში, სადაც F ფუნქციის სახე განისაზღვრება ამ გროვაში ვარსკვლავთ სიმკრივის განაწილებით. ასევე შეიძლება განვიხილოთ პლანეტის მოძრაობა ვარსკვლავის მახლობლად, რომელიც ინტენსიურად კარგავს მასას, სადაც $F = F_1(t)/r^2$.

განსახილველ ამოცანაში (72) განტოლების განზოგადებით ჩავწეროთ ფარდობითი მოძრაობის განტოლება:

$$\ddot{\vec{r}} - F(r, \dot{r}, t) \vec{r}^0 = 0. \quad (268)$$

(268) განტოლება გავამრავლოთ მარცხნიდან \vec{r} რადიუს-ვექტორზე და მივიღებთ მოქმედის ინტეგრალს:

$$\vec{r} \times \ddot{\vec{r}} = \vec{r} \times \ddot{\vec{r}} + \dot{\vec{r}} \times \dot{\vec{r}} = \frac{d}{dt}(\vec{r} \times \dot{\vec{r}}) = 0 \Rightarrow \vec{r} \times \dot{\vec{r}} = \vec{c}. \quad (269)$$

ამდენად, მომენტის ინტეგრალის არსებობა და ყველა აქტიური გამომდინარე შედეგი, განპირობებულია სწორედ მოქმედი ძალის ცენტრალური ხასიათით. ამ შედეგებიდან ყველაზე მნიშვნელოვნი არის ცენტრალური ძალის გავლენით გამოწვეული მოძრაობის ბრტყელი ხასიათი. მოძრაობის სიბრტყის არსებობა, რომლის განტოლებაა $\vec{c} \cdot \vec{r} = 0$, საშუალებას გვაძლევს შემოვიდოთ კვანძების წრფის და ორბიტის ელემენტების მცნებები, რომლებიც განსაზღვრავნ სივრცეში ამ სიბრტყის მდებარეობას აღმავალი კვანძის გრძედის Ω , ორბიტის დახრილობის i მეშვეობით (ნახაზი 12). მაშინ კინეტიკური მომენტის ვექტორის კომპონენტები ტოლია:

$$c_1 = c \sin \Omega \sin i, \\ c_2 = -c \cos \Omega \sin i, \quad (270)$$

$$c_3 = c \cos i.$$

ასევე, შესაძლებელია შემოვიდოთ პოლარული ორბიტული კოორდინატები r და w , სადაც პოლარული კუთხე w აითვლება აღმავალი კვანძის მიმართულებიდან. ამასთან, კუთხე w არის ორი სხეულის ამოცანაში გრძედის u არგუმენტის ანალოგი. ამჯერად, რადიუს-ექტორი და მისი ორტი შესაძლოა წარმოვადგინოთ შემდეგი სახით:

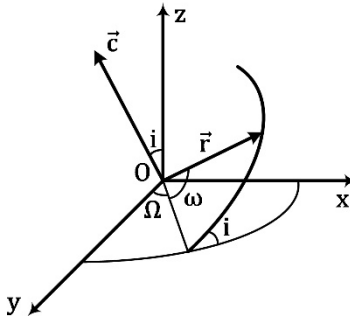
$$\vec{r} = r(t) \vec{r}^0(w(t)), \quad \vec{r}^0 \equiv (\alpha(w(t)), \beta(w(t)), \gamma(w(t))), \quad (271)$$

სადაც \vec{r}^0 ორტის კომპონენტები, რომლებიც წარმოადგენენ \vec{r} ვექტორის მიმართულების კოსინუსებს, განისაზღვრება (102) და (103) ფორმულებში უ სიდიდის w სიდიდეზე შეცვლით. იმისათვის, რომ (271) ჩავსვათ მოძრაობის (268) განტოლებაში, უნდა მოგახდინოთ (271)-ის ორმაგი დიფერენცირება t დროით:

$$\dot{\vec{r}} = \dot{r} \vec{r}^0 + r \vec{r}^0, \quad \ddot{\vec{r}} = \ddot{r} \vec{r}^0 + 2\dot{r} \vec{r}^0' \dot{w} + r \vec{r}^0'' w'^2 + r \vec{r}^0' \ddot{w} \quad (272)$$

სადაც ' ნიშანი მიუთითებს w წარმოებულს. მიმართულების კოსინუსების წრფივი დამოკიდებულება სიდიდეებზე $\sin w$ და $\cos w$ და ტრიგონომეტრიული ფუნქციების დიფერენცირების წესი გვაძლევს შემდეგს:

$$\vec{r}^{0'} = \vec{r}_\perp^0, \quad \vec{r}^{0''} = -\vec{r}^0, \quad (273)$$



ნახაზი 12. მოძრაობა ცენტრალური ძალის გავლენით

სადაც \vec{r}_\perp^0 არის ორტი მოძრაობის სიბრტყეში, რომელიც პერპენდიკულარულია \vec{r}^0 ორტის. ამჯერად, (273) ჩავსვათ (272)-ში, ხოლო (272) – (268)-ში, მივიღებთ, რომ

$$(\ddot{r} - r\dot{\omega}^2 - F) \vec{r}^0 + (r\ddot{\omega} + 2\dot{r}\dot{\omega}) \vec{r}_\perp^0 = 0. \quad (274)$$

რადგან ორტები \vec{r}^0 და \vec{r}_\perp^0 წრფივად დამოუკიდებელნი არიან, ამტომ (274) ტოლობა სამართლიანია მხოლოდ მაშინ, როცა

$$\begin{aligned} \ddot{r} - r\dot{\omega}^2 &= F, \\ r\ddot{\omega} + 2\dot{r}\dot{\omega} &= 0 \end{aligned} \quad (275)$$

(275) განტოლებებიდან მეორე ინტეგრირდება ერთხელ, თუ გავამრავლებთ $r\dot{\omega}$ -ზე. ასეთ შემთხვევაში, მივიღებთ

$$r^2\dot{\omega} = c. \quad (276)$$

ინტეგრალი (276) შესაძლებელია მივიღოთ ასევე, თუ განვიხილავთ მომენტის ინტეგრალის მოდულს. ამისათვის ინტეგრირების მუდმივა (276)-ში უნდა უდრიდეს $c = |\vec{c}|$. თუ (275)-ის პირველი განტოლებიდან გამოვრიცხავთ წარმოებულს $\dot{\omega}$, მივიღებთ განტოლებას r რადიუსისთვის:

$$\ddot{r} - \frac{c^2}{r^3} = F(r, \dot{r}, t) \quad (277)$$

თუ ამ განტოლებიდან შევძლებთ ვიპოვნოთ $r = r(t)$ რადიუსი, მაშინ (276) მოგვცემს მოძრაობის კანონს შემდეგი სახით:

$$w = w_0 + c \int_{t_0}^t \frac{dt}{r(t)}. \quad (278)$$

(277) განტოლების ინტეგრირების შესაძლებლობა დამოკიდებულია F ფუნქციის სახეზე. თუ იგი არ არის დამოკიდებული t დროზე, მაშინ მიზანშეწონილია გადავიდეთ t დამოკიდებელი ცვლადიდან ახალ არგუმენტზე w . გარდა ამისა, შესაძლებელია გამოვრიცხოთ c^2/r^3 -ის არაწრფივობა, თუ მოვახდეთ ჩანაცვლებას დამოკიდებული ცვლადით $r = 1/u$. თუ გამოვითვლით წარმოებულებს \dot{r} და \ddot{r} , მაშინ (276)-ის მეშვეობით ვიპოვნით:

$$\dot{r} = -cu', \quad \ddot{r} = -c^2u^2u'', \quad (279)$$

ხოლო თუ (279)-ს ჩავსვათ (277)-ში, მივიღებთ განტოლებას შებრუნებული և მანძილისათვის წრფივი მარცხენა ნაწილით:

$$u'' + u = -\frac{1}{c^2u^2}F\left(\frac{1}{u}, -cu'\right). \quad (280)$$

ეს განტოლება ცნობილია როგორც **ბინეს განტოლება**. იგი შეიძლება ინტეგრირდეს, თუ F ძალა წარმოადგენს მხოლოდ u სიდიდის ფუნქციას. ამ შემთხვევაში ხდება ცვლადის ცვლილება $p(u) = u'$, ანუ u სიდიდეს ირჩევენ დამოკიდებული ცვლადის სახით. მაშინ ბინეს განტოლება გარდაიქმნება პირველი რიგის განტოლებად:

$$p \frac{dp}{du} + u = -\frac{1}{c^2u^2}F(u) \equiv \Phi(u). \quad (281)$$

ამ განტოლებაში გამოვყოთ ცვლადები, რაც ინტეგრირების შემდეგ გვაძლევს:

$$p^2 = p_0^2 - u^2 + u_0^2 + 2 \int_{u_0}^u \Phi(u) du. \quad (282)$$

თუ ამოვხსნით განტოლებას $p(u) = u'$, მივიღებთ:

$$w = w_0 + \int_{u_0}^u \frac{du}{p(u)} \quad (283)$$

და თუ კვლავ გამოვიყენოთ (276)-ს, ვიპოვნით დამოკიდებულებას:

$$\int_{w_0}^w \frac{dw}{u^2(w)} = c(t - t_0). \quad (284)$$

ამდენად, ნაპოვნია ცენტრალური ძალის გავლენით მოძრაობის ამოცანის ზოგადი ამოხსნა, რომელიც დამოკიდებულია შეოლოდ მანძილზე $r = 1/u$, რაღაც გვაქვს ექვსი დამოუკიდებელი ინტეგრირების მუდმივა \tilde{c}, p_0, u_0, w_0 . თუმცა, ამ შემთხვევაში ამოცანის ამოხსნის მიღება შესაძლებელია სხვა გზითაც, თუ შემდეგი დამოკიდებულებით შემოვიდებთ ძალოვან ფუნქციას:

$$F(r) = \frac{dU}{dr}. \quad (285)$$

მაშინ, თუ ბინეს განტოლებას გავამრავლებთ $u' - \dot{z}$, შესაძლოა ვიპოვნოთ მისი პირველი ინტეგრალი:

$$c^2 u'^2 + c^2 u^2 = 2U + h. \quad (286)$$

ხოლო თუ (286) ინტეგრალში დავბრუნდებით r და t ცვლადებზე, მაშინ მივიღებთ:

$$\dot{r}^2 + r^2 \dot{\omega}^2 = 2U + h, \quad (287)$$

ანუ პირველ ინტეგრალს, რომელიც წარმოადგენს ენერგიის ინტეგრალს.

დავუბრუნდეთ ორი სხეულის ამოცანას, როგორც განხილული ამოცანის კერძო შემთხვევას, ანუ დაუუშვათ $F = -\mu/r^2 = -\mu u^2$. მაშინ დავინახავთ, რომ ბინეს განტოლების მარჯვენა მხარე გადაიქცევა მუდმივად μ/c^2 , ხოლო თავად ბინეს განტოლება – მუდმივი კოუფიციენტების და მუდმივი მარჯვენა მხარის მქონე წრფივ განტოლებად.

მისი ამოხსნა ხდება ცნობილი სტანდარტული მეთოდით და შესაძლებელია ჩაეწეროთ შემდეგი სახით:

$$u = \frac{\mu}{c^2} + A \cos(w - \omega). \quad (288)$$

თუ დავუშვებთ, რომ ინტეგრირების თავისუფალი წევრი $A = e \mu/c^2$, ხოლო მუდმივა $\mu/c^2 = p$, მივიღებთ ჩვენთვის უკვე ცნობილ კპლერის ორბიტის განტოლებას:

$$r = \frac{p}{1 + e \cos(w - \omega)}. \quad (289)$$

ლექცია 13. ორი სხეულის რელატივისტური ამოცანა

რადგან ზოგადი ფარდობითობის თეორია, როგორც წესი, არ შედის თეორიული ფიზიკის ძირითად კურსში, მოკლედ განვიხილოთ ამ თეორიის ფიზიკური და მათემატიკური საფუძვლები.

ზოგადი ფარდობითობის თეორიის ელემენტები

ზოგადი ფარდობითობის თეორია ეფუძნება ცნობილ, მაღალი სიზუსტით დადასტურებულ ექსპერიმენტულ ფაქტს ნებისმიერი ფიზიკური სხეულის ინერციული და გრავიტაციული მასების ტოლობის შესახებ. ეს ნიშნავს, რომ არსებობს კავშირი ინერციით მოძრაობასა და გრავიტაციულ ველში მოძრაობას შორის. ეს კავშირი თავს იჩენს ინერციულ ათვლის სისტემაში გრავიტაციულ მოძრაობასა და შესაბამის არაინერციულ ათვლის სისტემაში თავისუფალ მოძრაობას შორის არსებულ კერივალუნტობის პრინციპში.

რადგან ნებისმიერ გრავიტაციულ ველში მოძრაობა არათანაბარი და მრუდწიროვანია, ამიტომ აუცილებელია ბრტყელი ოთხგანზომილებიანი მინკოვსკის ფარდობითობის სპეციალური თეორიის სივრცე-დროიდან გადავიდეთ ზოგადი ფარდობითობის თეორიის გამრუდებულ სივრცე-დროზე.

ეს აუცილობლობა დაკავშირებულია იმასთან, რომ გრავიტაციულ ველში მოძრაობიდან არაინერციულ ათვლის სისტემაში თავისუფალ მოძრაობაზე გადასვლისას, არ შეიძლება სივრცის სასრულ ნაწილში შემოვილოთ დეკარტეს კოორდინატთა სისტემა მრუდწიროვანის ნაცვლად, როგორც ეს ყოველთვის შესაძლებელია გავაკეთოთ მინკოვსკის ბრტყელ სივრცე-დროში. შესაბამისად, აუცილებელია განვაზოგადოთ ფარდობითობის სპეციალურ თეორიაში ცნობილი ინტერვალების გამოსახულება

$$\begin{aligned} ds^2 &= c^2 t^2 - dx^2 - dy^2 - dz^2 \\ &\equiv (dx^0)^2 - (dx^1)^2 - (dx^2)^2 - (dx^3)^2, \end{aligned} \quad (290)$$

და შეეცალოთ იგი კოორდინატების თავისუფალ კანონურ ფორმად:

$$ds^2 = \sum_{i=0}^3 \sum_{k=0}^3 g_{ik} dx^i dx^k. \quad (291)$$

აქ კოეფიციენტების ერთობლიობა

$$g_{ik} = g_{ik}(x^0, x^1, x^2, x^3) \quad (292)$$

წარმოქმნის ფუნდამენტალურ ან მეტრიკულ ტენსორს, რომელიც განსაზღვრავს სივრცე-დროის მეტრიკულ თვისებებს (მეტრიკას). გამოსახულებებში (290)-(292) გამოყენებულია გადასვლა კოორდინატთა ინდექსებრ აღნიშვნაზე და ჩათვლილია, რომ $ct = x^0$, სადაც c – სინათლის სიჩქარეა. ტენსორი g_{ik} აღწერს სივრცე-დროის სიმრუდეს და ამავე დროს, აღწერს გრავიტაციულ ველსაც, რადგან ფარდობითობის ზოგადი თეორიის თვალსაზრისით გრავიტაცია როგორც ფიზიკური მოვლენა ამ სიმრუდეში ავლენს სწორედ თავს.

გამოსახულებებში (290)-(292) ფერადლებას იპყრობს ზედა და ქვედა ინდექსების არსებობა. მათი გამოჩენა დაკავშირებულია იმასთან, რომ მრუდწიროვან კოორდინატთა სისტემებში უნდა განვასხვავოთ ვექტორული და ტენსორული სიდიდეების განსაზღვრის ორი შესაძლო ფორმა – კოვარიანტული და კონტრავარიანტული. განსაზღვრის თანაბმად, კონტრავარიანტულ ვექტორს უწოდებენ ვექტორს, რომელიც x'^k კოორდინატთა სისტემიდან x^i სისტემაზე გადასვლისას ისევე გარდაიქმნება, როგორც დიფერენციალი

$$dx^i = \frac{\partial x^i}{\partial x'^k} dx'^k, \quad (293)$$

ანუ

$$A^i = \frac{\partial x^i}{\partial x'^k} A'^k, \quad (294)$$

დაწყებული (293) და (294) გამოსახულებებიდან გამოვიყენებთ ეინშტეინის **აჯამეთს წესს**, რომლის მიხედვით აჯამება ხდება ინდექსების მიხედვით, რომლებიც მოცემულ გამოსახულებაში გატვდება ორჯერ, ერთხელ როგორც ზედა, მეორეჯერ – როგორც ქვედა. **კოვარიანტული ვექტორი** არის ვექტორი, რომელიც გარდაიქმნება როგორც სკალარული ფუნქციის გრადიენტი

$$\frac{\partial \psi}{\partial x^i} = \frac{\partial x'^k}{\partial x^i} \frac{\partial \psi}{\partial x'^k}, \quad (295)$$

ანუ

$$A_i = \frac{\partial x'^k}{\partial x^i} A'_k. \quad (296)$$

გეომეტრიული თვალსაზრისით ამ ორი ტიპის ვექტორების (უფრო სწორად, ერთი და იგივე ვექტორული სიდიდის ორი ფორმის) გამოჩენა დაკავშირებულია იმასთან, რომ ვექტორი შესაძლებელია გამოვსახოთ როგორც

მისი კომპონენტებით, რომლებიც წარმოადგენენ ამ ვექტორის კოორდინატთა ღერძების ორტებად დაშლის კოეფიციენტებს (კონტრავარიანტული ფორმა), ასევე ვექტორის პროექციებით კოორდინატთა ღერძებზე (კოვარიანტული ფორმა). ეს ორი ფორმა განსხვავდული იქნება მახვილკუთხოვან კოორდინატთა სისტემაში (ნახაზი 13), მაგრამ დაემთხევევა ერთმანეთს - მართკუთხა სისტემაში. ერთი ფორმიდან მეორეზე გადასცლა (ე.წ. ინდექსების აწევა ან დაწევა) ხორციელდება ვექტორის გამრავლებით ფუნდამენტალურ ტენზორზე. მაგალითად,

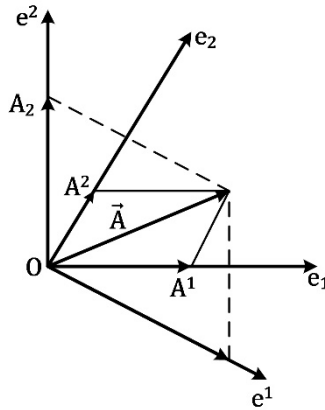
$$A_i = g_{ik} A^k. \quad (297)$$

ტენზორებიც შეიძლება იყოს კოვარიანტული (A_{ik}), კონტრავარიანტული (A^{ik}) და ასევე, შერეული (A_k^i). კოვარიანტული და კონტრავარიანტული მეტრიკული ტენზორები ურთიერთსაბირისპიროა ანუ $g_{il} \cdot g^{kl} = \delta_i^k$ - არის ერთეულოვანი ტენზორი. ტენზორებზე ასევე ერცელდება ინდექსების აწევა-დაწევის წესი.

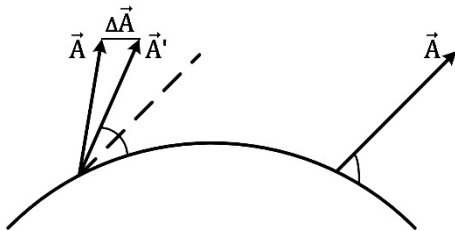
სივრცე-დროის გამრუდება იწვევს ვექტორების და ტენზორების, როგორც კოორდინატების ფუნქციების, დიფერენცირების გარკვეულ გართულებას. იმისათვის, რომ მივიღოთ წარმოებული, საჭიროა (მისი განმარტების თანახმად) თავდაპირველად ვაპონოთ დაფურენცირებადი ფუნქციის მნიშვნელობების სხვაობა ორ მახლობელ წერტილში. თუ ეს ფუნქცია არის ვექტორი, ამისათვის საჭიროა ვექტორის საწყისი წერტილი გადავიტანოთ ერთი წერტილიდან მეორეში. თუ ვითვლით კერძო წარმოებულს რომელიდაც კოორდინატით, მაშინ ასეთი გადატანა ხდება შესაბამის კოორდინატთა ღერძის გასწვრივ, რომელიც გამრუდებულია და ამიტომ, ვექტორის კომპონენტები ასეთი გადატანისას დამატებით იცვლებიან (ნახაზი 14). რადგან გადატანა ხდება უსასრულოდ ახლო მდებარე წერტილებს შორის, ამიტომ ეს ცვლილება შეიძლება ჩავთვალოთ წრფივი როგორც ვექტორის კომპონენტების, ასევე კოორდინატთა დაფურენციალების მიხედვით. სხვანაირად რომ ვთქვათ, კონტრავარიანტული ვექტორის სრული დაფურენციალი მრუდწიროვან კოორდინატებში შეიძლება ჩავწეროთ შემდეგნაირად:

$$DA_i = \frac{\partial A^l}{\partial x_k} dx^k + \Gamma_{kl}^i A^l dx^k, \quad (298)$$

სადაც Γ_{kl}^i კოექვიციენტების ერთობლიობას უწინდებენ **კონტრავარიანტული სიმბოლოების** (ან შეცავშირების კოეფიციენტებს). გავყოთ (298) dx^k -ზე და მივიღობთ ე.წ. ვექტორის **კოვარიანტულ წარმოებულს**.



ნახაზი 13. ვექტორის კოვარიანტული და კონტრავარიანტული კომპონენტები.



ნახაზი 14. ვექტორის პარალელური გადატანა მრუდხაზოვან კოორდინატთა სისტემაში.

$$A_{,k}^i = \frac{\partial A^i}{\partial x^k} + \Gamma_{kl}^i A^l. \quad (299)$$

კოვარიანტული ვექტორისათვის კოვარიანტული წარმოებული ტოლია:

$$A_{i;k} = \frac{\partial A_i}{\partial x^k} - \Gamma_{ik}^l A_l. \quad (300)$$

კრისტოფელის სიმბოლოები Γ_{kl}^i , რომლებიც წარმოადგენენ სივრცე-დროის გამრუდების გარკვეულ ზომას, არ წარმოქმნან მესამე რანგის ტენზორს. ისინი არიან მეტრიკული ტენზორის კომპონენტების წარმოებულების წრფივი

უფრო უფრო გამრუდებულია სივრცე, მთ უფრო სწრაფად იცვლება ვექტორი მისი გადატანისას):

$$\Gamma_{kl}^i = \frac{1}{2} g^{im} \left(\frac{\partial g_{mk}}{\partial x^l} + \frac{\partial g_{ml}}{\partial x^k} - \frac{\partial g_{kl}}{\partial x^m} \right). \quad (301)$$

ტენზორების შემთხვევაში ხდება კოვარიანტული დიფერენცირების ფორმულების განზოგადება. მაგალითად:

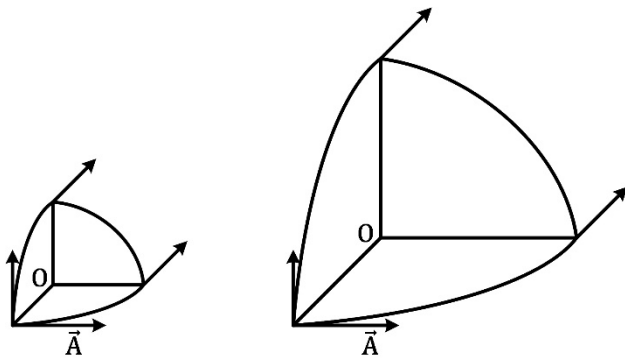
$$A_{k;l}^i = \frac{\partial A_k^i}{\partial x^l} - \Gamma_{kl}^m A_m^l + \Gamma_{ml}^k A_m^l. \quad (302)$$

შევთქმოთ ვაჩვენოთ, რომ ყოველთვის შეიძლება ავტომოთ ისეთი ათვლის სისტემა, სადაც მოცემულ წერტილში კრისტოფელის ყველა სიმბოლო ტოლია ნოლის. ამიტომ, სასურველია გვქონდეს სივრცე-დროის გამრუდების ისეთი ზომა, რომელსაც ექვებოდა ტენზორული ნასიათი და გაუტოლდებოდა 0-ს შხოლოდ ბრტყელ სივრცეში. ასეთ ზომას წარმოადგენს **სიმრუდის ტენზორი**. მისი შემოღება შეიძლება შემდეგნაირად: რაც უფრო მეტი იქნება სივრცის გამრუდება, მთ უფრო მეტი იქნება გარკვეული ჩაკეტილი კონტურის გასწრივ პარალელური გადატანისას ვექტორის ცვლილების შეფარდება ფართობთან, რომელსაც შემოწერს ეს კონტური. მაგალითად, ვექტორის მოტრიალება ორი სფეროს ოქტანტების საზღვრების შემოვლისას (ნახაზი 15) ერთნაირია და ტოლია 90° -ის, ხოლო ფართობი ნაკლებია უფრო მცირე რადიუსის და, შესაბამისად, უფრო მეტი სიმრუდის მქონე სფეროს ოქტანტისათვის. ვექტორის ცვლილება ჩაკეტილი კონტურის L შემოვლისას ტოლია:

$$\Delta A_k = \oint_L \Gamma_{kl}^i A_i dx^l. \quad (303)$$

სტოქსის თეორემის მეშვეობით (303)-ში წრიულიდან გადავიდეთ ზედაპირულ ინტეგრალზე L კონტურით შემოსაზღვრული S ზედაპირის მიხედვით. ამავე დროს, აუცილებელი წარმოებულები გამოვთვალოთ (299) ფორმულით. საბოლოოდ, L კონტურის და S ზედაპირის უსასრულოდ შემცირებით, მივიღებთ:

$$\Delta A_k = \frac{1}{2} R_{klm}^i A_i \Delta S^{lm}, \quad (304)$$



ნახაზი 15. ვექტორის მობრუნება ჩაკეტილი კონტურის გასწვრივ მისი პარალელური გადატანისას.

ამასთან, S^{lm} კოორდინტული ზედაპირის ΔS^{lm} ელემენტი მოიცემა ორი ინდექსით – ამ ზედაპირზე მდებარე კოორდინატული წრფეების ინდექსების მიხედვით. ამჯერად, გაორმაგებული შეფარდება $\Delta A_k / A_i \Delta S^{lm}$, რომელიც წარმოადგენს მეოთხე რანგის R_{klm}^i ტენზორს, იქნება სწორედ სივრცე-დროის გამრუდების ზომა წერტილში, რომლისკენაც იკეცება L კონტური და S ზედაპირი. გამოთვლები უჩვენებს, რომ სიმრუდის ტენზორი (ანუ **რიმანისტრისტოფელის ტენზორი**) ტოლია:

$$R_{klm}^i = \frac{\partial \Gamma_{km}^i}{\partial x^l} - \frac{\partial \Gamma_{kl}^i}{\partial x^m} + \Gamma_{nl}^i \Gamma_{km}^n - \Gamma_{nm}^i \Gamma_{kl}^n. \quad (305)$$

(301)-ის გათვალისწინებით ვხედავთ, რომ სიმრუდის ტენზორის კომპონენტები შეიცავენ წრფივად მეტრიკული ტენზორის კომპონენტების მეორე წარმოებულებს და პირველი წარმოებულების ნამრავლებს. თუ შევკუმშვათ ამ ტენზორის i და m ინდექსების მიხედვით, მივიღებთ მეორე რანგის სიმრუდის ტენზორს (რიჩის ტენზორს)

$$R_{kl} = \frac{\partial \Gamma_{km}^m}{\partial x^l} - \frac{\partial \Gamma_{kl}^m}{\partial x^m} + \Gamma_{nl}^m \Gamma_{km}^n - \Gamma_{nm}^m \Gamma_{kl}^n. \quad (306)$$

ხოლო თუ შევკუმშვათ რიჩის ტენზორს, მივიღებთ **სკალარულ სიმრუდეს** $R = g^{kl} R_{kl}$. სიმრუდის ტენზორების R_{klm}^i და R_{kl} ყველა კომპონენტი უტოლდება ნოლს მხოლოდ ბრტყელ სივრცე-დროში.

ზოგადი ფარდობითობის თეორიის ძირითადი იდეის შესაბამისად სივრცე-დროის გამრუდების მახასიათებლები უნდა განისაზღვრებოდეს მასში მოთავსებული მატერიის განაწილებით და მოძრაობით. ეს განაწილება და მოძრაობა აღიწერება ენერგია-იმპულსის ტენზორით:

$$T_{ik} = \begin{pmatrix} \frac{\varepsilon}{c} & \frac{W_1}{c} & \frac{W_2}{c} & \frac{W_3}{c} \\ \frac{W_1}{c} & p_{11} & p_{12} & p_{13} \\ \frac{W_2}{c} & p_{21} & p_{22} & p_{23} \\ \frac{W_3}{c} & p_{31} & p_{32} & p_{33} \end{pmatrix}, \quad (307)$$

სადაც დროითი კომპონენტი T_{00} - არის **ენერგიის სიძევრიგე**, შერული კომპონენტები T_{0k} ($k \neq 0$) შეადგენ 1/c თანამამრავლის სიზუსტით **ენერგიის ნაკადის ვექტორს** \vec{W} (უმოკონტინგის ვექტორი), ხოლო ენერგია-იმპულსის სივრცული ნაწილი არის სამგანზომილებიანი დაძაბულობის ტენზორი p_{ik} ($i, k = 1, 2, 3$). მისი დიაგონალური კომპონენტები არის \vec{p}_0 კოორდინატთა ღერძების გასწვრივ, ხოლო არადიაგონალური p_{ik} ($i \neq k$) - წანაცვლების სიმკვრივეების k -ური კომპონენტებია სიბრტყეებში, რომლებიც მართობულია x^i ღერძებისა. ენერგია-იმპულსის ტენზორის ზემოთ მოყვანილი ფორმა გულისხმობს უწყვეტი მატერიალური ობიექტების აღწერას (მყარი სხეულები, ფიზიკური ველები). დისკრეტული სისტემების აღსაწერად უნდა გამოვიყენოთ ეწ. განზოგადებული ფუნქციები, რომელთა ყველაზე მარტივი და ცნობილი წარმომადგენელია დირაქის δ -ფუნქცია.

რადგან ზოგადი ფარდობითობის თეორიის ძირითადი განტოლების ერთ-ერთი კომპონენტი გრავიტაციულ ველზე სასაზღვრო გადასვლისას, როდესაც გრავიტაციული პოტენციალის შეფარდება სინათლის სიჩქარის კვადრატთან ხდება მცირე ($V/c^2 \ll 1$), უნდა გადავიდეს ჟუასონის წრფივ განტოლებაში $\nabla^2 V = 4\pi f\rho$. ამიტომ, ეს საძიებო განტოლება უნდა იყოს g_{ik}, R_{ik} და T_{ik} ტენზორების მიმართ წრფივი, ანუ მას შეიძლება მივცეთ შემდეგი სახე:

$$R_{ik} + ag_{ik} = bT_{ik}. \quad (308)$$

სიმრუდის ტენზორის თვისება, რომელიც აკმაყოფილებს ზოგიერთ იგივთებს (ბიანკის და ეინშტეინის იგივობები), საშუალებას იძლევა ვიპოვნოთ a კოეფიციენტი, ხოლო სასაზღვრო გადასვლა $V \ll c^2$ - გვაძლევს b კოეფიციენტს. საბოლოოდ, განტოლებები, რომლებიც განსაზღვრავნ როგორც სივრცე-დროის მეტრიკას, ასევე მასში გრავიტაციის გავლენით მატერიის მოძრაობას (ეინშტეინის განტოლება), აქვს შემდეგი სახე:

$$R_{ik} - \frac{1}{2} R g_{ik} = \frac{8\pi f}{c^4} T_{ik}. \quad (309)$$

რა თქმა უნდა, მოყვანილი მსჯელობა არ არის ეინშტეინის განტოლების მკაცრი გამოყვანა. ზოგადი ფარდობითობის თეორიის უფრო დეტალური გაცნობისათვის უნდა მივმართოთ დამატებით ლიტერატურას.

ცენტრალური სიმეტრიის კლი

განვიხილოთ საკითხი იმის შესახებ, თუ როგორ სახის გრავიტაციულ კელს, ანუ როგორ მეტრიკას ქმნის თავის გარშემო მატერიალური წერტილი ან სხეული ნივთიერების სფერული სიმეტრიის მქონე განაწილებით. ბუნებრივია, ამისათვის გამოვიყენოთ სფერულ კორდინატთა სისტემა: $x^0 = ct$, $x^1 = r$, $x^2 = \varphi$, $x^3 = \theta$, სადაც φ - გრძელია, ხოლო θ - პოლარული მანძილი. რადგან სივრცის თვისებები უნდა იყოს ერთნაირი ყველა მიმართულებით, მათ შორის რადიუს-გექტორის მართობულად, ამიტომ, მეტრიკული ტენზორის სივრცული არადიაგრანალური კომპონენტები უნდა იყოს 0-ის ტოლი, ხოლო დამოკიდებულება კუთხურ კორდინატებზე უნდა იყოს ისეთივე, როგორც ბრტყელ სივრცეში. ეს საშუალებას იძლევა ჩავწეროთ ინტერვალის გამოსახულება შემდეგი სახით:

$$ds^2 = h(r, t)c^2 dt^2 - l(r, t)dr^2 - k(r, t)(\sin^2 \theta d\varphi^2 + d\theta^2) + a(r, t)dtdr. \quad (310)$$

ათვლის სისტემის არჩევის თავისუფლება საშუალებას გვაძლევს მოვანდინოთ კოორდინატთა შემდეგი გარდაქმნა $r = f_1(r', t')$ და $t = f_2(r', t')$, რათა მივიღოთ $a(r, t) = 0$ და $k(r, t) = r^2$. მაშინ, თუ შემოვიღებთ აღნიშვნებს $h(r, t) = e^\nu$ და $l(r, t) = e^\lambda$, მივიღებთ:

$$ds^2 = e^\nu c^2 dt^2 - e^\lambda dr^2 - r^2(\sin^2 \theta d\varphi^2 + d\theta^2). \quad (311)$$

(311) გამოსახულება გვაძლევს მეტრიკული ტენზორის კომპონენტებს: შემდეგ მნიშვნელობებს:

$$g_{00} = e^\nu, \quad g_{11} = -e^\lambda, \quad g_{22} = -r^2 \sin^2 \theta, \quad g_{33} = -r^2. \quad (312)$$

პრინციპულად არა რთული, მაგრამ საკმაოდ გრძელი გამოთვლების შედეგად, (301)-ის მეტვებით შეგვიძლია ვიპურნოთ კრისტოფელის სიმბოლოები. აღმოჩნდა, რომ 0-სგან განსხვავებული სიმბოლოებია (სიმეტრიის $\Gamma_{kl}^i = \Gamma_{lk}^i$ თვისებების სიზუსტით):

$$\begin{aligned}
\Gamma_{00}^0 &= \frac{\dot{\nu}}{2} & \Gamma_{11}^1 &= \frac{\lambda'}{2} & \Gamma_{10}^0 &= \frac{\nu'}{2} & \Gamma_{10}^1 &= \frac{\dot{\lambda}}{2} & \Gamma_{11}^0 &= \frac{\dot{\lambda}}{2} e^{\lambda-\nu} \\
\Gamma_{00}^1 &= \frac{\nu'}{2} e^{\nu-\lambda} & \Gamma_{22}^1 &= -r e^{-\lambda} \\
\Gamma_{12}^2 &= \Gamma_{13}^3 = \frac{1}{r} & \Gamma_{23}^3 &= \operatorname{ctg} \theta & \Gamma_{33}^1 &= r e^{-\lambda} \sin^2 \theta & \Gamma_{33}^2 &= -\sin \theta \cos \theta
\end{aligned} \tag{313}$$

აქ შტრიხი აღნიშნავს წარმოებულს r -ით, ხოლო წერტილი $-ct$ -თი. (306) ფორმულიდან მეორე რანგის სიმრუდის ტენზორის კომპონენტების გამოთვლით და იმის გათვალისწინებით, რომ ჩვენ ვეძებთ ველს, რომელსაც ქმნის სფერული სიმეტრიის მქონე სხეული მის გარშემო სიცარიელეში, ანუ იქ, სადაც ენერგია-იმპულსის ტენზორი $T_{ik} = 0$, (312)-დან ν და λ ფუნქციებისათვის მივიღებთ შემდეგ განტოლებათა სისტემას:

$$\begin{aligned}
e^{-\lambda} \left(\nu' + \frac{1}{r} \right) - \frac{1}{r} &= 0 \\
e^{-\lambda} \left(\lambda' - \frac{1}{r} \right) + \frac{1}{r} &= 0 \\
\dot{\lambda} &= 0
\end{aligned} \tag{314}$$

(314)-ის მესამე განტოლებიდან ჩანს, რომ λ ფუნქცია არ არის დამოკიდებული t დროზე. პირველი ორი განტოლების ჯამიდან გამომდინარეობს, რომ $\lambda + \nu = f(t)$, რაც ნიშნავს, რომ e^λ და e^ν ფუნქციები განსხვავდებან ერთმანეთისგან მხოლოდ დროითი მამრავლით. თუ მოვახდენთ დროის ისეთ გარდაქმას, რომ ფუნქცია $f(t) = 0$, მაშინ $-e^\nu = e^{-\lambda}$. (314) სისტემის მეორე განტოლებაში ცვლადები შეიძლება გამოვყოთ და იგი ინტეგრირების შემდეგ მივიღებთ:

$$e^{-\lambda} = 1 - \frac{r_g}{r}, \tag{315}$$

სადაც r_g – ინტეგრირების მუდმივაა. საკმარისად დიდ r მანძილებზე უნდა მივიღოთ ნიუტონის მსოფლიო მიზიდულების კანონი, ანუ პოტენციალი $V = fM/r$, სადაც M - სხეულის მასაა, რომელიც ქმნის სფერული სიმეტრიის ველს. ხოლო, თუ ეინშტეინის განტოლებაში შემოვიფარგლებით V/c^2 რიგის წევრებით, ვიპოვნით, რომ $g_{00} = 1 - 2V/c^2$. აქედან გამომდინარეობს, რომ მუდმივა

$$r_g = \frac{2fM}{c^2}. \tag{316}$$

სიდიდე r_g -ს უწოდებენ სხეულის გრავიტაციულ რადიუსს. საინტერესოა, რომ (316) ფორმულა იპოვნა ჯერ კიდევ დაახლოებით ორასი წლის წინ პიერ ლაპლასმა. მან დასვა კითხვა: როგორი უნდა იყოს M მასის მქონე სხეულის რადიუსი, რათა მის ზედაპირზე პარაბოლური სიჩქარე ტოლი იყოს სინათლის სიჩქარის და სინათლემ ნაკლები რადიუსის შემთხვევაში ვერ დატოვოს მისი ზედაპირი ანუ ეს სხეული წარმოადგნდეს იმას, რასაც დღეს ვუწოდებთ **შავ ხვრელს.**

საბოლოოდ, (311) და (316)-დან ინტერვალებისათვის ვიღებთ შემდეგ გამოსახულებას:

$$ds^2 = c^2 \left(1 - \frac{r_g}{r}\right) dt^2 - \frac{dr^2}{1 - \frac{r_g}{r}} - r^2(\sin^2 \theta d\varphi^2 + d\theta^2). \quad (317)$$

სივრცის ამ მეტრიკას, რომელიც გარს არტყია სფერული სიმეტრიის სხეულს, უწოდებენ **შვარცშილდის მეტრიკას**, ხოლო მის შესაბამის გრავიტაციულ ველს - **შვარცშილდის ველს**. (317)-დან გამომდინარებს, რომ საკუთარი დრო ანუ დრო ათვლის სისტემაში, რომლის სათავე მოთავსებულია სივრცის მოცემულ წერტილში, ტოლია

$$\tau = \sqrt{1 - \frac{r_g}{r}} \cdot t < t, \quad (318)$$

სადაც t - დროა ათვლის სისტემაში, რომლის სათავე მოთავსებულია შვარცშილდის ველის წარმომქნელი სხეულის ცენტრში. მანძილი r_1 და r_2 წერტილებს შორის ნებისმიერი რადიალური მიმართულების გასწვრივ, აკმაყოფილებს პირობას:

$$\int_{r_1}^{r_2} \frac{dr}{\sqrt{1 - \frac{r_g}{r}}} > r_2 - r_1. \quad (319)$$

მატერიალური წერტილის მოძრაობა შვარცშილდის ველში

ზოგადი ფარდობითობის თეორიის ძირითადი იდეის შესაბამისად ორი სხეულის რელატივისტური ამოცანა (იმ პირობით რომ $M \gg m$) დაიყვანება შვარცშილდის მეტრიკის მქონე სივრცე-დროში მატერიალური წერტილის თავისუფალ მოძრაობის შესწავლაზე. იმისათვის, რომ განვახორციელოთ ეს შესწავლა, პირველ რიგში საჭიროა ჩავწეროთ ოთხგანზომილებიანი წრფის განტოლება, რომელიც მოახდენდა სპეციალურ ფარდობითობის თეორიაში

ინერციით თანაბარი და სწორხაზოვანი მოძრაობის განტოლების განზოგადებას. ასეთ წრფეს უწოდებენ **გეოდეზიურს**.

სპეციალურ ფარდობითობის თეორიაში შემოლებულია ოთხგანზომილებიანი სიჩქარის ცნება $u^i = dx^i/ds$ და შესაბამისად, თავისუფალი მოძრაობის განტოლებაა $du^i/ds \equiv d^2 x^i/ds^2 = 0$. კოვარიანტული დიფერენცირების (319) ფორმულის შესაბამისად ზოგადი ფარდობითობის თეორიაში ეს განტოლება გადავა შემდეგ **გეოდეზიურ ფორმულაში**:

$$\frac{d^2 x^i}{ds^2} + \Gamma_{kl}^i \frac{dx^i}{ds} \frac{dx^k}{ds} = 0. \quad (320)$$

გადავწეროთ შვარცშილდის მეტრიკის გამოსახულება შემდეგი სახით:

$$c^2 e^\nu \left(\frac{dt}{ds} \right)^2 - e^\lambda \left(\frac{dr}{ds} \right)^2 - r^2 \left(\sin \theta \left(\frac{d\varphi}{ds} \right)^2 + \left(\frac{d\theta}{ds} \right)^2 \right) = 1. \quad (321)$$

(320) ფორმულის გამოთვლა (313)-ის მეშვეობით გვაძლევს შემდეგ განტოლებათა სისტემას:

$$\begin{cases} \frac{d^2 t}{ds^2} + \nu' \frac{dt}{ds} \frac{dr}{ds} = 0, \\ \frac{d^2 r}{ds^2} + \frac{\nu'}{2} \left[c^2 e^{2\nu} \left(\frac{dt}{ds} \right)^2 - \left(\frac{dr}{ds} \right)^2 \right] - re^\nu \left[\left(\frac{d\theta}{ds} \right)^2 + \sin^2 \theta \left(\frac{d\varphi}{ds} \right)^2 \right] = 0, \\ \frac{d^2 \theta}{ds^2} + \frac{2}{r} \frac{dr}{ds} \frac{d\theta}{ds} - \sin \theta \cos \theta \left(\frac{d\varphi}{ds} \right)^2 = 0, \\ \frac{d^2 \varphi}{ds^2} + 2 \left[\frac{1}{r} \frac{dr}{ds} - \operatorname{ctg} \theta \frac{d\theta}{ds} \right] \frac{d\varphi}{ds} = 0. \end{cases} \quad (322)$$

სიმეტრიის თვალსაზრისიდან გამომდინარე უნდა ველოდოთ, რომ ამ ამოცანის ცენტრალური სიმეტრიის გამო მოძრაობა იქნება ბრტყელი. მოძრაობის სიბრტყის სახით ავირჩიოთ კოორდინატთა სისტემის ექვატორული სიბრტყე. მაშინ, პოლარული მანძილი ჭოლია $\theta = \pi/2$, ამასთან, გრძედი φ ავითვალოთ რადიუს-ვექტორის საწყისი მიმართულებიდან ანუ ჩავთვალოთ, რომ $\varphi_0 = 0$. შესაბამისად, (322)-ის მესამე განტოლება შესრულდება იგივერად, ხოლო მეორე და მეოთხე — გამარტივდება. თუ პირველ განტოლებას გავყოფთ dt/ds -ზე, ხოლო მეოთხეს - $d\varphi/ds$ -ზე, მაშინ ისინი შეიძლება მივიყვანოთ შემდეგ სახემდე:

$$\begin{cases} \frac{d}{ds} \left(\ln \left(c \frac{dt}{ds} \right) \right) + \frac{dv}{ds} = 0, \\ \frac{d}{ds} \left(\ln \left(\frac{d\varphi}{ds} \right) \right) + \frac{d}{ds} (\ln r^2) = 0. \end{cases} \quad (323)$$

ვაინტეგროთ (323) და მივიღებთ ჩვენი ამოცანის შემდეგ პირველ ინტეგრალებს:

$$e^\nu \frac{dt}{ds} = k, \quad r^2 \frac{d\varphi}{ds} = c_0. \quad (324)$$

ამჯერად, (324)-ის მეშვეობით (323)-დან გამოვრიცხოთ წარმოქმულები t და φ -ის მიხედვით. შედეგად მივიღებთ განტოლებას:

$$\left(\frac{dr}{ds} \right)^2 + e^\nu \left(\frac{c_0^2}{r^2} + 1 \right) - \frac{k^2}{c^2} = 0. \quad (325)$$

თუ (325)-ში დამოუკიდებელი S ცვლადიდან გადავალოთ დამოუკიდებელ ფცვლადზე და მოვახდეთ ცვლილებას $r = 1/u$, მივიღებთ:

$$c_0^2 \left(\frac{du}{d\varphi} \right)^2 + e^\nu (c_0^2 u^2 + 1) - \frac{k^2}{c^2} = 0. \quad (326)$$

საბოლოოდ, გამოვრიცხოთ (326)-დან e^ν სიდიდე (315)-ის მეშვეობით, მოვახდნოთ მიღებული განტოლების დიფერენცირება φ ცვლადით და მივიღებთ ორბიტის განტოლებას ორი სხეულის რელატივისტურ ამოცანაში:

$$\frac{d^2 u}{d\varphi^2} + u = \frac{1}{p} + \frac{3}{2} r_g u^2, \quad (327)$$

სადაც ჩათვლილია, რომ $c_0^2/r_g = p$, ხოლო r_g - ცენტრალური სხეულის გრავიტაციული რადიუსია. (327) განტოლება მხოლოდ მარჯვნიდან მეორე შესაკრებით განსხვავდება ორი სხეულის კლასიკური ამოცანის ორბიტის განტოლებისგან (280)-ის ფორმატში.

შევაფასოთ (327) განტოლების მარჯვენა მხარის შესაკრებების სიდიდეები მზის სისტემის პლანეტებისათვის. პირველი შესაკრები ტოლია $\approx 1/a$, ხოლო მეორე - $\approx r_g/a^2$, სადაც a არის პლანეტური ორბიტის დიდი ნახევარლერძი. მზის გრავიტაციული რადიუსი შეადგენს დაახლოებით 3 კმ-ს. აქედან გამომდინარე, მერყეობისთვისაც კი მეორე შესაკრების შეფარდება პირველთან ძალზე მცირე სიდიდეა - დაახლოებით 10^{-7} რიგის. ეს საშუალებას გვაძლევს ამოგვსნათ (327) განტოლება მიმდევრობითი მიახლოებების მეთოდით, სადაც

ნულოვანი მიახლოების სახით შეგვიძლია ავიღოთ ორბიტის კეპლერის უკული განტოლება

$$u_0 = \frac{1}{p}(1 + e \cos \varphi). \quad (328)$$

(328) ჩავსვათ (327) განტოლების მარჯვენა მხარეში და პირველი მიახლოებისათვის მივიღებთ შემდეგ განტოლებას:

$$\frac{d^2 u_1}{d\varphi^2} + u_1 = \frac{1}{p} \left[1 + \frac{3}{2} \frac{r_g}{p} (1 + e \cos \varphi)^2 \right]. \quad (329)$$

(329) განტოლების მარჯვენა მხარეში მეორე შესაკრების გარდაქმნით, შეგვიძლია მივიღოთ:

$$\frac{d^2 u_1}{d\varphi^2} + u_1 = \frac{1}{p} \left[1 + 3 \frac{r_g}{p} e \cos \varphi + \frac{3}{4} \frac{r_g}{p} e^2 \cos 2\varphi \right], \quad (330)$$

სადაც უგულებელვავით მცირე მუდმივა $3r_g(1 + e^2)/2p$. (330) განტოლება ამოიხსნება მუდმივი კოეფიციენტების ქვერცხით განტოლებათა თვორის სტანდარტული მეთოდების გამოყენებით. მის ამოხსნას შემდეგი სახე აქვს:

$$u_1 = \frac{1}{p} \left(1 + e \cos \varphi + \frac{3}{2} \frac{r_g}{p} e \varphi \sin \varphi - \frac{1}{4} \frac{r_g}{p} e^2 \cos 2\varphi \right). \quad (331)$$

ამ ამონახსნში ბოლო შესაკრებს მცირე ამპლიტუდა გააჩნია, ზოლო მესამე შესაკრებში იგი იზრდება დროის მიხედვით. ამიტომ, ბოლო შესაკრები შეიძლება უგულებელვავით. განვიხილოთ $\cos(\varphi - \delta\varphi)$, სადაც $\delta\varphi$ - მცირე სიდიდეა. მაშინ გვექნება, რომ

$$\cos(\varphi - \delta\varphi) = \cos \varphi + \delta\varphi \sin \varphi. \quad (332)$$

თუ შევადარებთ (331)-ს და (332)-ს, მივაღთ დასკვნამდე, რომ თანამამრავლი $\sin \varphi$ -ს წინ (331)-ში შეიძლება განვიხილოთ, როგორც დამატებითი ცვლილება გრძედის არგუმენტში, რომელიც საწყისი პირობის გამო ტოლია φ კოორდინატის მნიშვნელობის და ეს ცვლილება ტოლია

$$\delta\varphi = \frac{3}{2} \frac{r_g}{p} \varphi. \quad (333)$$

პლანეტის ორბიტის გარშემო ერთი სრული ბრუნვის დროს φ კუთხე იცვლება 2π სიდიდით და $\delta\varphi(2\pi)$ სიდიდე შეიძლება განვსაზღვროთ როგორც პლანეტის ელიფსური ორბიტის ორიენტაციის ცვლილება მის სიბრტყეში ანუ

პერიცენტული მანძილის ცვლილება ერთი ორბიტული ბრუნვის განმავლობაში (პერიცენტრის რელატივისტური მობრუნება). კეპლერის მესამე კანონის მეშვეობით ამ მობრუნების სიდიდეს შესაძლებელია მიგცეთ შემდეგი სახე:

$$\delta\omega = \frac{24\pi^3 a^2}{c^2 T^2 (1 - e^2)}, \quad (334)$$

სადაც T - პლანეტის ორბიტული ბრუნვის კლასიკური პერიოდია. სიდიდე გვაძლივა მცირეა, ამიტომ ტრადიციულად გამოითვლება 100 წლის განმავლობაში აფსიდების წრფის მობრუნების სიდიდე. გამოთვლები უჩვენებს, რომ მერკურისათვის ეს სიდიდე ტოლია $43.03''$, ვენერასათვის - $8.62''$, დედამიწისათვის - $3.84''$, მარსისათვის - $1.35''$.

პერიცენტრის ეს მობრუნება პირველ მიახლოებაში ერთადერთი ზოგადრელატივისტური ეფექტია ორი სხეულის ამოცანაში. უფრო მაღალი მიახლოების ეფექტები მზის სისტემისათვის მნიშვნელოვნად სცილდება დაკვირვების სიზუსტეებს. თუმცა, ეს არ გამორიცხავს ორი სხეულის რელატივისტური ამოცანის ზესტი ამოხსნის შესწავლის მიზანშეწონილობას, რომელიც, სხვათაშორის, შესაძლებელია გამოვსახოთ ელიატიკური ფუნქციებით.

მერკურის პერიპელიუმის მობრუნების დაკვირვებულ და სხვა პლანეტების შეშფოთებითი ზეგავლენით გამოწვეულ მნიშვნელობებს შორის განსხვავდა, რომელიც 100 წელიწადში აღწევს $40''$, ჯერ კიდევ ცნობილი იყო XIX საუკუნის მეორე ნახევრიდან. პრინციპში, ეს განსხვავება ახსნილი იქნა ზოგადი ფარდობითობის თვორიაში. თუმცა, ამ ახსნის და ასევე, სხვა ექსპერიმენტული ტესტირების არცთუ მაღალი სიზუსტე ($\approx 10\%$), ათწლეულების განმავლობაში იწვევდა არა ერთ მცდელობას თუ არ უარესობ ზოგადი ფარდობითობის თვორია, ყოველ შემთხვევაში, შეეცვალათ იგი რომელიმე სხვა ალტერნატიული თვორით.

დედამიწაზე დღემდე ჩატარებული ყველა ექსპერიმენტი (მათ შორის, მესაურის ეჟექტის მეშვეობით სიმძიმის ძალის სიმაღლის მიხედვით ცვლილების უაღრესად მაღალი სიზუსტის გაზომვები) და ასევე, პლანეტების და პლანეტათაშორისის ავტომატური სადგურების მოძრაობის დაკვირვებები რადიოტექნიკური საშუალებებით, ადასტურებენ ზოგადი ფარდობითობის თვორიას მინიმუმ 0.01% პროცენტის სიზუსტით.

დღეისათვის შემუშავებულია დიდი პლანეტების მოძრაობის რელატივისტური თვორიები, რომლებიც წარმატებით გამოიყენება ამ პლანეტებისკენ გაგაზაგნილი კოსმოსური მისიების ორბიტული ტრაქტორიების ბალისტიკური გათვლების დროს.

ლექცია 14. ორი სხეულის ამოცანა N-განზომილებიან სივრცეში

ორი სხეულის კლასიკური ამოცანა N-განზომილებიან სივრცეში განხილულ იქნა პაულ ერნესტის მიერ ჯერ კიდევ 1907 წელს. თუმცა, დიდი ხნის განმავლობაში მის შედეგებს მხოლოდ აბსტრაქტული მნიშვნელობა ჰქონდა, რადგან ფიზიკა და ასტრონომია ჩვენს გარშემო არსებულ სამყაროში მხოლოდ სამგანზომილებიან სივრცეს განიხილავდა.

თუმცა ბოლო დროს გაჩნდა თეორიული კვლევები, რომლებიც საშუალებას გვაძლევს ვილაპარაკოთ ჩვენი სამყაროს პარალელურად სხვა სამყაროების არსებობის შესახებ, რომელთაც გააჩნიათ განსხვავებული ფუნდამენტური თვისებები, კერძოდ, სივრცის სამისგან განსხვავებული განზომილება.

ჩაგთვალოთ, რომ ნებისმიერი განზომილების სივრცეში ნარჩუნდება მისი ისეთი თვისებები, როგორიცაა სივრცის ერთგვაროვნება და იზოტროპულობა და დროის ერთგვაროვნება. ეს ნიშნავს, რომ უნდა არსებობდეს მოძრაობისა და ენერგიის ინტეგრალები და შესაბამისად, რომ სხეულის ამოცანაში მოძრაობის ისეთი თვისება, როგორიცაა მისი ბრტყელი ხასიათი. ეს კი, ნიშნავს, რომ მოძრაობის სიჩქარის კვადრატი შესაძლებელია ჩავწეროთ შემდეგი სახით:

$$V^2 = \dot{r}^2 + r^2 \dot{\vartheta}^2, \quad (335)$$

ხოლო (335)-ის ჩასმით ენტეგრალში, მივიღებთ

$$\dot{r} = \pm \sqrt{h - W_N(r)}, \quad (336)$$

სადაც W_N – განზოგადებული პოტენციალია. იგი ტოლია ცენტრისკენული პოტენციალის გაორმაგებული ჯამის, რომელსაც (97)-ის მეშვეობით შეიძლება მივცეთ სახე $c^2/2r^2$ და გრავიტაციული პოტენციალის, რომელსაც N განზომილებიან სივრცეში აღვინშნავთ როგორც $V_N(r)$, ანუ

$$W_N(r) = \frac{c^2}{r^2} - 2V_N(r). \quad (337)$$

გავიხსენოთ, რომ $V_3 = \mu/r$. როგორი სახე ექნება გრავიტაციულ პოტენციალს N განზომილებიან სივრცეში? ამ კითხვაზე პასუხი გამომდინარეობს იმ გარემოებიდან, რომ გრავიტირებული მასების გარეშე ეს პოტენციალი აკმაყოფილებს ლაპლასის განტოლებას:

$$\sum_{i=1}^N \frac{\partial^2 V_N}{\partial x_i^2} = 0, \quad (338)$$

რომლის ამოხსნა იმ შემთხვევაში, როცა პოტენციალი შექმნილია კოორდინატთა სათავეში მოთავსებული მატერიალური წერტილის მიერ, ტოლია:

$$V_N = \frac{\mu}{(N-2)r^{N-2}} \quad (339)$$

უნდა შევნიშნოთ, რომ (339) გამოსახულება არ გამოდგება როცა $N = 2$. ადვილია დაკრწენდეთ, რომ ორგანზომილებიან სამყაროში

$$V_2 = -\mu \ln r. \quad (340)$$

როგორც (339) გამოსახულებიდან ვხედავთ ზარისხი მნიშვნელში 2 ერთეულით ნაკლებია სივრცის განზომილებაზე. შესაბამისად, მიზიდულობის ძალა r^{N-1} სიდიდის უკუპროპორციულია. ფაზიკური თვალსაზრისით ეს იმას ნიშნავს, რომ მიზიდულობის ძალა ყველაზე ნელა მცირდება მანძილთან ერთად თუ ურთიერთქმედების სრული ენერგია სასრულია, რაც გამომდინარეობს შესაბამისი არასაკუთარი ინტეგრალის კრებალობის პირობიდან. მსოფლიო მიზიდულობის კანონში ჩვენი სამყაროს სამგანზომილებიანობასა და ძალის მანძილის კვადრატზე უკუპროპორციულ დამოკიდებულებას შორის კავშირზე ჯერ კიდევ იმანულ კანტმა გაამახვილა ყურადღება.

(336)-დან გამომდინარეობს, რომ მოძრაობა შესაძლებელია r -ის მხოლოდ ისეთი მნიშვნელობებისათვის, როცა ფესვის შიგნით გამოსახულება არაუარყოფითია, რაც შესრულდება თუ

$$W_N(r) \leq h, \quad (341)$$

ანუ მხოლოდ იქ, სადაც (W_N, r) გრაფიკზე $W_N(r)$ ფუნქციის მრუდი გადის $W_N = h$ წრფის ქვევით. განვიხილოთ ეს გრაფიკი სივრცის სხვადასხვა N განზომილებისთვის. ჩავწეროთ განზოგადებული პოტენციალი $W_N(r)$, როცა $N = 2, 3, 4, 5$:

$$W_2 = \frac{c^2}{r^2} + 2\mu \ln r, \quad W_3 = \frac{c^2}{r^2} - \frac{2\mu}{r}, \quad W_4 = \frac{c^2 - \mu}{r^2}, \quad W_5 = \frac{c^2}{r^2} - \frac{2\mu}{3r^3} \quad (342)$$

მნელი არ არის დაკრწენდეთ, რომ ყველა შემთხვევაში r დერბი იქნება პორიზონტული ასიმპტოტა, ხოლო W_N დერბი – ვერტიკალური. პოტენციალის წარმოებული ტოლია

$$W'_N(r) = -\frac{2c^2}{r^3} - \frac{2\mu}{r^{N-1}} \quad (343)$$

და ყველა შემთხვევაში, გარდა $N = 4$, $W_N(r)$ მრუდზე იქნება მხოლოდ ერთი ექსტრემუმი, მოთავსებული შემდეგ წერტილში:

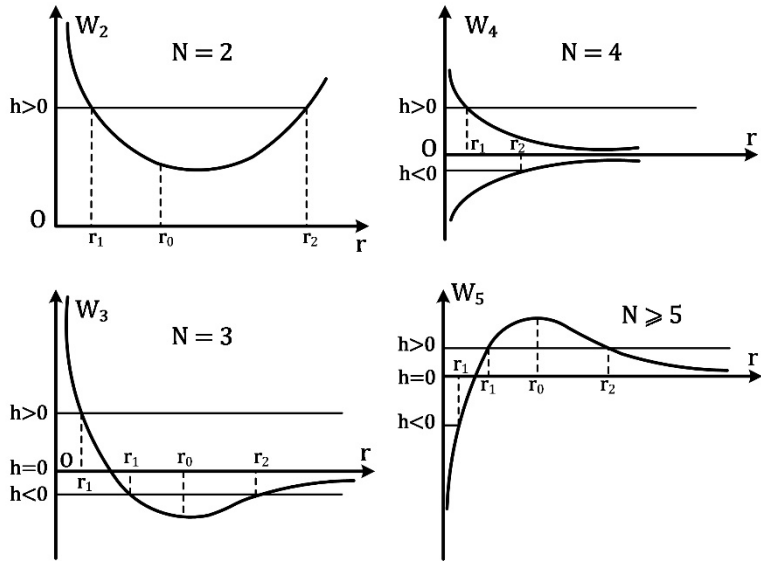
$$r_0 = \left(\frac{\mu}{c^2}\right)^{1/(N-1)}. \quad (344)$$

$W_N(r)$ ფუნქციის ასიმპტოტური ხასიათის გამო ჩანს, რომ ეს ექსტრემუმი როცა $N = 2, 3$ არის მინიმუმი, ხოლო როცა $N = 5$ – მაქსიმუმი. ზოგადი გამოსახულებები (339) და (344) გვიჩვენებენ, რომ როცა $N > 5$, $W_N(r)$ ფუნქციის ხარისხობრივი ქცევა არ იცვლება $N = 5$ შემთვევასთან შედარებით, ამიტომ მათი განხილვა არ არის საჭირო.

განზოგადებული $W_N(r)$ პოტენციალის გრაფიკები მოცემულია ნახაზზე 16. ჩანს, რომ $N = 2, 3, 4, 5$ შემთხვევებში შესაძლებელია წრიული ორბიტების არსებობა r_0 რადიუსით, რომლებიც მდგრადია ორ და სამ განზომილებან სივრცეებში, მაგრამ არამდგრადია ზეთ განზომილებიან სივრცეში. უფრო მეტიც, ორგანზომილებიან სივრცეში ადგილი აქვს გარკვეული თვალსაზრისით ზემდგრადობას ანუ მოძრაობა ყოველთვის იქნება ფინიტური, თუ იგი შემოსაზღვრულია რგოლით $r_1 < r < r_2$ და სრული ენერგია ($h/2$) ნებისმიერ სასრულ მნიშვნელობას იღებს. ასეთ სამყაროში არ არსებობს მეორე კოსმოსური სიჩქარის ცნება (ანუ $V_2 = \infty$). მრავალგანზომილებიან სამყაროებში ($N \geq 4$) მატერიალური წერტილი მოძრაობისას (თუ არ გავითვალისწინებთ არამდგრად წრიულ ორბიტას $N \geq 5$ შემთხვევაში) საბოლოოდ აღმოჩნდება მიზიდულობის ცენტრში ($r \rightarrow 0$) ან გავა უსასრულობაში ($r \rightarrow \infty$) ანუ სასრული მოძრაობა უსასრულოდ ხანგრძლივი დროის განმავლობაში შეუძლებელია.

მხოლოდ ჩვენი „მშობლიური“ სამგანზომილებიანი სივრცე გამოირჩევა თავისი შესაძლებლობების სიმდიდრით – უარყოფითი სრული ენერგიის შემთხვევაში მოძრაობას გააჩნია სასრული ხასიათი (წრიული ან ელიფსური, $r_1 < r < r_2$). ენერგიის მნიშვნელობებისთვის $h/2 \geq 0$, მოძრაობა უსასრულოა (პარაბოლური ან ჰიპერბოლური). ამისთან, ერთი ტიპის მოძრაობიდან მეორეზე გადასვლა ხდება სრული ენერგიის ზღვრული ცვლილებისას.

ეს არ არის სამგანზომილებიანი სივრცის ერთადერთი თავისებურება. მხოლოდ სამგანზომილებიან სივრცეში ანტისიმეტრიული ტენზორის დამოუკიდებელი კომპონენტების რიცხვი, $(N^2 - N)/2$, ტოლია სივრცის განზომილების, რადგან განტოლებას $(N^2 - N)/2 = N$ გააჩნია მხოლოდ ერთი არატრივიალური ფესვი $N = 3$. ეს, თავის მხრივ, ნიშნავს, რომ მხოლოდ სამგანზომილებიან სივრცეში შეიძლება შემოვილოთ ვექტორული ნამრავლის ცნება, რომელიც სინამდვილეში წარმოადგენს ფსევდოვექტორს, უფრო სწორად – მეორე რანგის ანტისიმეტრიულ ტენზორს.



ნახაზი 16. მრავალი სხეულის ამოცანის W განზოგადებული პოტენციალის r მანძილზე დამოკიდებულება N განზომილებან სივრცეში.

აქედან გამომდინარეობს, რომ ფიზიკის „მათემატიკური სახე“ სამგანზომილებიანისგან განსხვავებულ განზომილების მქონე სამყაროებში უნდა იყოს განსხვავებული და უფრო რთული – მაგალითად, კლასიკურ მექანიკას და ელექტროლინამიკას უწევბათ არსებითად ტენზორული ხასიათი.

მთავარი საკითხი მდგრამარეობს იმაში, რომ გრავიტაციულად (მაგალითად, პლანეტურის) და ელექტროსტატიკურად დაკავშირებული (ატომები და მოლეკულები) სისტემების არსებობა შესაძლებელია მხოლოდ ორ და სამგანზომილებიან სამყაროებში. თუმცა, ორგანზომილებიან სამყაროში შეუძლებელია ასეთი დაკავშირებული სისტემების დარღვევა (პლანეტათაშორისის ფრენები, ნივთიერების გაფანტვა ზეასლი ვარსკლავების ავეთქმბისას, ატომების და მოლეკულების იონიზაცია). შედეგად, მატერიის ორგანიზაციის და მოძრაობის ფიზიკურისგან განსხვავებული უმაღლესი (ქიმიური, ბიოლოგიური, სოციალური) ფორმის განვთარება შესაძლებელია მხოლოდ გარკვეული ფუნდამენტური ფიზიკური თვისებების მქონე სამყაროებში, კერძოდ, მხოლოდ სამგანზომილებიანში.

ლექცია 15. სამი სხეულის ამოცანა

მიუხედავად იმისა, რომ სამი სხეულის ამოცანა არ არის სასრული სახით ინტეგრირებადი, იგი მაინც კარგად არის შესწავლილი, რადგან ზშირად, მისი მეშვეობით, ახდენენ ციური სხეულების რეალური სისტემების მოდელირებას. ამ ამოცანის ზუსტი და ლაკონური განმარტება შემდეგია: **სამი სხეულის ამოცანა** არის ამოცანა სამი მატერიალური წერტილის ურთიერთობითზიდულობის ძალთა ველში მოძრაობის შესახებ. ამ სამი მატერიალური წერტილის ქვეშ შეიძლება იგულისხმებოდეს: სამი ვარსკვლავისგან შემდგარი ჯერადა სისტემა, სისტემები - „დედმიწა-მთვარე-ზზე”, „ზე-პლანეტა-კომეტა”, „დედამიწა-მთვარე-ხელოვნური თანამგზავრი” და ა.შ.

ინერციულ კოორდინატთა სისტემაში სამი სხეულის ამოცანის განტოლებებს, როგორც მრავალი სხეულის ამოცანის (22) განტოლებათა სისტემის კერძო შემთხვევას ($n = 2$), შემდეგი სახე აქვთ (ნახაზი 17):

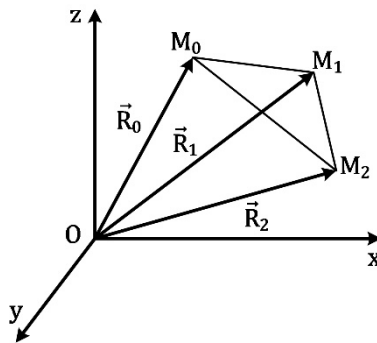
$$\begin{aligned}\ddot{\vec{R}}_0 &= fm_1 \frac{\vec{R}_1 - \vec{R}_0}{\Delta_{01}^3} + fm_2 \frac{\vec{R}_2 - \vec{R}_0}{\Delta_{02}^3}, \\ \ddot{\vec{R}}_1 &= fm_0 \frac{\vec{R}_0 - \vec{R}_1}{\Delta_{01}^3} + fm_2 \frac{\vec{R}_2 - \vec{R}_1}{\Delta_{12}^3}, \\ \ddot{\vec{R}}_2 &= fm_0 \frac{\vec{R}_0 - \vec{R}_2}{\Delta_{02}^3} + fm_1 \frac{\vec{R}_1 - \vec{R}_2}{\Delta_{12}^3}.\end{aligned}\quad (345)$$

ეს სისტემა არის მე-18 რიგის. I ლექციაში მოყვანილი მოსაზრებების საფუძველზე მისი რიგი შესაძლებელია დავწიოთ მე-6-მდე, ხოლო შემდეგ ვაინტეგროთ რომელიმე მიახლოებითი მეოთეოთ.

სამი სხეულის ზოგად ამოცანაში გამოყოფენ შემთხვევას, რომელიც ამარტივებს განტოლებათა სისტემას და მნიშვნელოვანი გამოყენებითი დანიშნულება აქვს. ეს ისეთი სიტუაციაა, როცა სამი მატერიალური სხეულიდან ერთ-ერთის მასა უაღრესად მცირეა ორი დანარჩენი წერტილის მასასთან შედარებით.

სამი სხეულის შეზღუდული ამოცანა

შემთხვევას, როცა მასა $m << m_1, m_2$ ანუ m მასა მნიშვნელოვნად მცირეა m_1, m_2 მასებთან შედარებით, უწოდებენ **სამი სხეულის შეზღუდული ამოცანას**. ასეთი ამოცანა პირველმა განიხილა პიერ ლაპლასმა ერთ-ერთი გიგანტი პლანეტის მახლობლად კომეტის მოძრაობის შესწავლისას.



ნახაზი 17. სამი სხეულის ამოცანა ინერციულ კოლრდინატთა სისტემაში.

ეს ამოცანა იდეალურად აღწერს სიტუაციას, როცა ერთ-ერთი მატერიალური წერტილი კოსმოსური აპარატია.

სამი სხეულის შეზღუდული ამოცანის ფიზიკური არსი მდგომარეობს შემდეგში: სამი მატერიალური წერტილიდან ერთ-ერთს იძღვნად მცირე მასაა აქვს, რომ პრაქტიკულად ეს ახდენს ზემოქმედებას ორი დანარჩენი სხეულის მოძრაობაზე, ხოლო თვითონ მოძრაობს მათ გრავიტაციულ ველში. შედეგად, ამ ორი წერტილის (როგორც მათ უწოდებენ „მძიმე წერტილების“) მოძრაობა წარმოადგენს კეპლერისეულს და შესაძლოა ჩავთვალოთ ცნობილად. შესაბამისად, სამი სხეულის შეზღუდული ამოცანა შესაძლოა იყოს წრიული, ელიფსური და ა.შ. განვიხილოთ ყველაზე მარტივი სამი სხეულის წრიული შეზღუდული ამოცანა.

სამი სხეულის წრიული შეზღუდული ამოცანა

ამ შემთხვევაში მძიმე წერტილები M_1, M_2 მასებით m_1, m_2 მდებარეობენ ერთმანეთისგან უცვლელ a მანძილზე და ერთი მოძრაობს მეორეს მიმართ ან მოძრაობენ მათი მასათა ცენტრის გარშემო მუდმივი კუთხური სიჩქარით

$$n = \frac{f(m_1 + m_2)}{a^{3/2}}. \quad (346)$$

სამი სხეულის ამოცანის (345) სისტემის ბოლო ორ განტოლებაში შეზღუდული ამოცანის შემთხვევაში მარჯვნიდან პირველი შესაკრებები ბათილდება და ეს ორი განტოლება ქმნის ორი სხეულის ამოცანის განტოლებათა სისტემას ცნობილი ამონაზნით. რჩება პარველი განტოლება – მცირე m მასის წერტილის მოძრაობის განტოლება:

$$\ddot{\vec{R}} = fm_1 \frac{\vec{R}_1 - \vec{R}}{\rho_1^3} + fm_2 \frac{\vec{R}_2 - \vec{R}}{\rho_2^3}, \quad (347)$$

სადაც $\rho_{1,2}$ აღნიშნავს მანძილს M წერტილიდან $M_{1,2}$ წერტილებამდე.

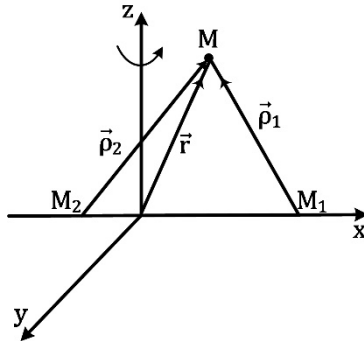
სამი სხეულის წრიულ შეზღუდულ ამოცანაში მიზანშეწონილია გადავიდეთ კოორდინატთა ბარიცენტრულ სისტემაზე, რომელიც ბრუნავს მასათა ცენტრის გარშემო n კუთხური სიჩქარით. გარეგნულად სამი სხეულის შეზღუდული ამოცანა ჰგავს ორი უძრავი ცენტრის ამოცანას. თუმცა, ამ ორ ამოცანას შორის პრინციპული ფიზიკური განსხვავებაა: ორი უძრავი ცენტრის ამოცანაში მესამე წერტილის მოძრაობა წარმოებს ინერციულ კოორდინატთა სისტემაში და ეს წერტილი არ მოქმედებს პირველი ორი წერტილზე თავად დასტული ამოცანის არსიდან გამომდინარე, ხოლო სამი სხეულის შეზღუდულ ამოცანაში მოძრაობა წარმოებს არაინერციულ კოორდინატთა სისტემაში და პირველი წერტილი არ მოქმედებს ორ დანარჩენ წერტილზე მისი უმნიშვნელო მასის გამო.

იმისათვის, რომ გადავიდეთ M წერტილის მოძრაობის განტოლებაზე არაინერციულ კოორდინატთა სისტემაში, უნდა გავითვალისწინოთ ინერციის ძალები, რომლებიც მოქმედებენ მატერიალურ წერტილზე თანბრად მბრუნავ კოორდინატთა სისტემაში. ეს არის კორიოლისის ძალა, რომელიც ტოლია $-2\vec{n} \times \dot{\vec{r}}$ და ცენტრიდანული ძალა, რომელიც ტოლია $-\vec{n} \times \vec{n} \times \vec{r}$, სადაც $\vec{n} =$ კოორდინატთა სისტემის კუთხური სიჩქარის ვექტორია, $\vec{r} = M$ წერტილის რადიუს-ვექტორი. შედეგად მივიღებთ:

$$\ddot{\vec{r}} = -2\vec{n} \times \dot{\vec{r}} - \vec{n} \times \vec{n} \times \vec{r} - fm_1 \frac{\vec{\rho}_1}{\rho_1^3} - fm_2 \frac{\vec{\rho}_2}{\rho_2^3}, \quad (348)$$

სადაც რადიუს-ვექტორები $\vec{\rho}_{1,2}$ განსაზღვრავენ M წერტილის ძლიერობას $M_{1,2}$ მძიმე წერტილების მიმართ ანუ $\vec{\rho}_{1,2} = \vec{r} - \vec{r}_{1,2}$, ხოლო $\vec{r}_{1,2} = M_{1,2}$ წერტილების რადიუს-ვექტორებია (ნახაზი 18). ამასთან, იგულისხმება, რომ კოორდინატთა სისტემის z ღერძი მიმართულია \vec{n} ვექტორის გასწვრივ, ხოლო x ღერძი გადის M_1 და M_2 წერტილებზე. მაშინ განტოლება (348) კოორდინატული ფორმით შემდეგნაირად გამოისახება:

$$\begin{aligned} \ddot{x} &= 2n\dot{y} + n^2x + fm_1 \frac{x_1 - x}{\rho_1^3} + fm_2 \frac{x_2 - x}{\rho_2^3} \\ \ddot{y} &= -2n\dot{x} + n^2y - fm_1 \frac{y}{\rho_1^3} - fm_2 \frac{y}{\rho_2^3} \\ \ddot{z} &= -fm_1 \frac{z}{\rho_1^3} - fm_2 \frac{z}{\rho_2^3} \end{aligned} \quad (349)$$



ნახაზი 18. სამი სხეულის წრიული შეზღუდული ამოცანა

ამოცანის შემდგომი განხილვისათვის შემოვიდოთ სპეციალური კანონიკური ერთეულების სისტემა. სიგრძის ერთეულად ავირჩიოთ მანძილი a , მასის ერთეულად – მასების m_1+m_2 ჯამი, ხოლო დროის ერთეულად – კოორდინატთა სისტემის 1 რადიანით მობრუნების დრო. მაშინ, კუთხური სიჩქარის n სიდიდე ტოლი იქნება 1-ის, ხოლო (346)-დან მივიღებთ, რომ გრავიტაციული მუდმივა f ამ ერთეულთა სისტემაში ასევე ტოლია 1-ის. თუ ამ სისტემაში M_1 წერტილის მასას აღვნიშნავთ როგორც μ , მაშინ M_2 წერტილის მასა ტოლი იქნება $1-\mu$, ხოლო M_1 წერტილის კოორდინატები იქნება $(1-\mu, 0, 0)$, M_2 წერტილის $(-\mu, 0, 0)$. ჩავთვალოთ, რომ $m_1 < m_2$, ანუ $\mu < 1/2$. შედეგად (349) განტოლებათა სისტემა გადაიწერება შემდეგნაირად:

$$\begin{aligned} \ddot{x} &= 2\dot{y} + x + \frac{\mu}{\rho_1^3}(1-\mu-x) - \frac{1-\mu}{\rho_2^3}(\mu-x), \\ \ddot{y} &= -2\dot{x} + y - \frac{\mu}{\rho_1^3}y - \frac{1-\mu}{\rho_2^3}y, \\ \ddot{z} &= -\frac{\mu}{\rho_1^3}z - \frac{\mu}{\rho_2^3}z. \end{aligned} \quad (350)$$

თუ (350) სისტემის განტოლებებს გავამრავლებთ ფარდობითი სიჩქარის კექტორის კომპონენტებზე $\dot{x}, \dot{y}, \dot{z}$, შემდეგ კი შევკრიბავთ, მივიღებთ:

$$\frac{d}{dt}(v^2) = \frac{d}{dt}\left(x^2 + y^2 + \frac{2\mu}{\rho_1} + \frac{2(1-\mu)}{\rho_2}\right). \quad (351)$$

სადაც $v^2 = |\dot{r}|$. გაინტეგროთ (351) და მივიღებთ სამი სხეულის წრიული შეზღუდული ამოცანის პირველ ინტეგრალს:

$$v^2 = x^2 + y^2 + 2\left(\frac{\mu}{\rho_1} + \frac{1-\mu}{\rho_2}\right) - c. \quad (352)$$

ამ პირველ ინტეგრალს უწოდებენ **თაკობის ინტეგრალს**. იგი ენერგიის ინტეგრალის ანალოგს წარმოადგენს, რადგან მარჯვნიდან მოთავსებულია ამოცანის ორმაგი **განზოგადებული პოტენციალი**, რომელიც ტოლია ცენტრიდანული და გრავიტაციული პოტენციალების ჯამის. იაკობის ინტეგრალი გამოიყენება სამი სხეულის ამოცანაში მდგრადობის შესწავლისათვის. ასტროდინამიკაში იგი შემდგენაირად გამოიყენება. პლანეტათაშორისი გადაფრენის ტრაექტორია შესაძლებელია დავყოთ სამ ნაწილად: ორი შედარებით მოკლე პლანეტოცენტრული და ერთი ძირითადი – ჰელიოცენტრული და თითოეულ ამ მონაკვეთზე კოსმოსური აპარატის მოძრაობა ჩავთვალოთ კეპლერისეულად (**ნაწილობრივ კონუსური აროესიმუკის** მეოთხი). ტრაექტორის ერთი მონაკვეთიდან მეორეზე გადასვლის ოპტიმიზაციისათვის გამოიყენება სწორედ იაკობის ინტეგრალი, რადგან გადაფრენის გარდამავალ ეტაპებზე გვაქვს სამი სხეულის შეზღუდული ამოცანის სიტუაცია.

თუ ამოცანის განზოგადებულ პოტენციალს აღვნიშნავთ როგორც U , ანუ

$$U = \frac{1}{2} \left(x^2 + y^2 + \frac{\mu}{\rho_1} + \frac{1-\mu}{\rho_2} \right). \quad (353)$$

მაშინ სამი სხეულის წრიული შეზღუდული ამოცანის განტოლებები მიიღებენ უფრო კომპაქტურ სახეს:

$$\begin{aligned} \ddot{x} &= 2\dot{y} + \frac{\partial U}{\partial x}, \\ \ddot{y} &= -2\dot{x} + \frac{\partial U}{\partial y}, \\ \ddot{z} &= \frac{\partial U}{\partial z}. \end{aligned} \quad (354)$$

ხოლო იაკობის ინტეგრალი მთილებს ასეთ სახეს: $v^2 = 2U - c$.

სამი სხეულის ბრტყელი წრიული შეზღუდული ამოცანა

თუ საწყისი პირობები სამი სხეულის შეზღუდულ ამოცანაში იქნება ისეთი, რომ როცა $t = t_0$ მაშინ $z_0 = \dot{z}_0 = 0$, მაშინ როგორც (350)-ის ბოლო განტოლებიდან გამომდინარეობს, აპლიკატა z იგივურად ტოლია ნოლის ანუ მოძრაობა იქნება ბრტყელი და მივიღებთ **სამი სხეულის ბრტყელ წრიულ შეზღუდულ ამოცანას**. მისი შესწავლისათვის მიზანშეწონილია, როგორც ეს ხშირად ხდება ბრტყელ ამოცანებში, გადავიდეთ კომპლექსურ კოორდინატზე $z = x + iy$. არც თუ მოხერხებულია ის რომ დეკარტეს სისტემის მესამე

კოორდინატას და კომპლექსურ ცვლადს აღნიშნავენ ერთი და იგივე z სიმბოლოთი. არ დავარღვევთ ამ ტრადიციას, თუმცა, გავთვალისწინოთ, რომ შემდგომში z - ეს არის კომპლექსური კოორდინატა სიბრტყეზე, გარდა ცალკეული შემთხვევებისა.

გავამრავლოთ (350)-ის მეორე განტოლება წარმოსახვით ერთეულზე i და მივუმატოთ პირველ განტოლებას, მივიღებთ სამი სხეულის ბრტყელი წრიული შეზღუდული ამოცანის განტოლებას:

$$\ddot{z} = -2i\dot{z} + z + \frac{\mu}{\rho_1^3}(1 - \mu - z) + \frac{1 - \mu}{\rho_2^3}(\mu + z). \quad (355)$$

ამასთან, $\rho_{1,2} = |z - z_{1,2}|$. მაშინ, იაკობის ინტეგრალი შემდეგ სახე იღებს:

$$|\dot{z}|^2 = |z|^2 + 2\left(\frac{\mu}{\rho_1} + \frac{1 - \mu}{\rho_2}\right). \quad (356)$$

ორი სხეულის ამოცანისგან განსხვავებით, რომელშიც (გარდა სწორხაზოვანი მოძრაობისა) წერტილებს შორის მანძილი ყოველთვის ნოლებებია, სამი სხეულის ამოცანაში შესაძლოა წერტილებს შორის შეჯახებები. ამასთან, აჩქარებები მკვეთრად იზრდება, მოძრაობის განტოლებების მარჯვენა მხარეების უწყვეტობა ირლევა. ამის თავიდან ასაცილებლად დანილებმა ასტრიონომმა ტ. ტილემ შემოიღო უცნობების სპეციალური ჩანაცვლება სამი სხეულის წრიული შეზღუდული ამოცანის (355) კომპლექსური ფორმის განტოლებაში. პირველ რიგში, კოორდინატთა სათავე გადაიტანება $M_1 M_2$ მონაკვეთის შუა წერტილში:

$$z = \zeta + \mu - \frac{1}{2}. \quad (357)$$

შემდგომ ხდება გადასვლა ζ კომპლექსური ცვლადიდან ახალ კომპლექსურ ცვლადზე w :

$$\zeta = \cos w. \quad (358)$$

ამასთან ერთად ხდება t დროის დიფერენციალური ცვლილება ახალ τ ცვლადზე:

$$dt = \rho_1 \rho_2 d\tau. \quad (359)$$

ბოლო ცვლილების არსი ადვილი გასაგებია. როგორც კი ერთ-ერთი მანძილი $\rho_{1,2}$ -დან მიისწრაფის ნოლისკენ, დრო თითქოს იწელება უფრო და უფრო ნელი სიჩქარით, როგორც კინოფილმის დემონსტრაციის დროს. (358) ცვლილება სასარგებლოა იმით, რომ საერთო ფოკუსიანი ელიფსები და ჰიპერბოლები ζ სიბრტყეში გადადიან კოორდინატთა დერქების პარალელურ

წრფეებში W სიბრტყეში. იმისათვის, რომ დავრწმუნდეთ ამაში, საჭიროა (358) ტოლობაში გამოვყოთ რეალური და წარმოსახვითი ნაწილები. ხოლო, რადგან ერთ-ერთ მძიმე წერტილთან ახლოს მცირე მასის წერტილის მოძრაობა ახლოა კეპლერის უკლიუმნი, ამიტომ ეს მოძრაობა W სიბრტყეში გამოისხება წირებით, რომელებიც ახლოა კორიდინატთა ღერძების პარალელურ წრფეებთან. ეს სიახლოვე მით უფრო მეტია, რაც უფრო ახლოა მცირე მასის წერტილი ერთ-ერთ მძიმე წერტილთან. ტილეს გარდაქმნამ მიიღო განსაკუთრებული მნიშვნელობა ასტროდინამიკაში ერთი ციური სხეულიდან მეორეზე გადაფრინისთვის მოხვდოს ტრაექტორის გამოთვლისას, მაგალითად დედამიწიდან მოვარეზე.

განსახილველი ამოცანის შემდგომი გამარტივებისათვის გადავიდეთ სწორხაზოვანი მოძრაობის შემთხვევაზე. ამ შემთხვევაში გვექნება შემდეგი საწყისი მნიშვნელობები: $x_0 \neq 0, \dot{x}_0 \neq 0, y_0 = \dot{y}_0 = 0$. ამასთან, M წერტილი იმოძრავებს x ღერძის გასწვრივ და შეევაზება ერთ-ერთ მძიმე წერტილს ან დაშორდება მათ უსასრულობაში. წრფივი მოძრაობის მეორე შემთხვევას ადგილი ექნება, თუ $\mu = 1/2, x_0 = \dot{x}_0 = 0$. M წერტილი კლავ წავა უსასრულობაში ან დაიწყებს რხევას y ღერძის მონაკვეთის გასწვრივ, რომელიც სიმეტრიულია x ღერძის მიმართ. ალვნიშნავთ, რომ ყოველივე ამას ადგილი ექნება ფარდობით კოორდინატთა სისტემაში, რომელიც ბრუნავს მძიმე წერტილებთან ერთად მათი მასათა ცენტრის გარშემო.

ლიბრაციის წერტილები

დავსვათ ასეთი კითხვა: შეუძლია თუ არა მცირე მასის წერტილს სამი სხეულის შეზღუდულ ამოცანაში იმყოფებოდეს წონასწორობის მდგომარეობაში მძიმე წერტილების მიმართ ისეთ კოორდინატთა სისტემაში, რომელიც მათთან ერთად ბრუნავს. საზოგადოდ, ინერციულ სისტემაში ეს შეუძლებელია, რადგან ორი ძალის ზემოქმედების ქვეშ, რომელებიც არ არიან მიმართული ერთი წრფის გასწვრივ, წონასწორობის მდგომარეობა ვერ მიიღწევა. ფარდობით კოორდინატთა სისტემში ასეთი წერტილი იმყოფება სამი ძალის გავლენის ქვეშ – ორი გრავიტაციულის და ერთი ცენტრიდანულის, რომელებსაც სხვადასხვა მიმართულება აქვთ. ამიტომ, წონასწორობის მდგომარეობა შესაძლებელია. ვიპოვნოთ ამონასხნები, რომელებიც იძლევან წონასწორობაში მყოფი მცირე მასის წერტილის მდებარეობას სამი სხეულის ბრტყელ წრიულ შეზღუდულ ამოცანაში. ფარდობითი წონასწორობის ამ წერტილებს უწოდებენ **ლიბრაციის წერტილებს**.

წონასწორობის მდგომარეობაში აჩქარება ჟ და სიჩქარე ჰ იგივურად ტოლია ნოლის. ამიტომ, განტოლება, რომელსაც უნდა აკმაყოფილებდეს კომბლექსური კოორდინატა z , შემდეგია:

$$z + \frac{\mu}{\rho_1^3} (1 - \mu - z) - \frac{1 - \mu}{\rho_2^3} (\mu + z) = 0 \quad (360)$$

ა6

$$z \left(1 - \frac{\mu}{\rho_1^3} - \frac{1 - \mu}{\rho_2^3} \right) = \mu(1 - \mu) \left(\frac{1}{\rho_1^3} - \frac{1}{\rho_2^3} \right). \quad (361)$$

რადგან (361)-ის მარჯვენა მხარე ნამდვილა, ამიტომ z კოორდინატა უნდა იყოს ნამდვილი ან ეს მარჯვენა მხარე და ნამდვილი მამრავლი ფრჩხილებში მარცხენა მხარეს უნდა უდრიდეს ნოლის.

დავიწყოთ ბოლო შესაძლებლობიდან. (361) განტოლების მარჯვენა მხარის ნოლის ტოლობიდან გამომდინარეობს, რომ $\rho_1 = \rho_2$. მაშინ მარცხენა მხარის მამრავლის ნოლის ტოლობიდან მივიღებთ, რომ $\rho_1 = \rho_2 = 1$. ხოლო, რადგან M_1 და M_2 წერტილებს შორის მანძილი ასევე ტოლია 1-ის, ამიტომ სამივე წერტილი წარმოქმნის ტოლგვერდა სამკუთხედს. დასაშვებია ორი ასეთი კონფიგურაცია – ერთ შემთხვევაში $y > 0$, ხოლო მეორე შემთხვევაში $y < 0$ (ნახაზი 19). ამ წერტილებს აღნიშნავენ L_4 და L_5 სიმბოლოებით და ეწოდებათ **სამკუთხა ლიბრაციის წერტილები**.

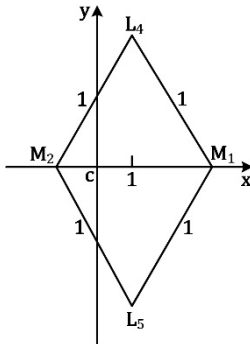
თუ z კოორდინატა ნამდვილა, მაშინ ლიბრაციის ყველა შესაძლო წერტილი ძევს ერთ წრფეზე - x დერძზე. ამასთან, მათი კოორდინატები და მანძილები $M_{1,2}$ წერტილებამდე დაკავშირებულია გარკვეული თანაფარდობებით. თუმცა, ეს თანაფარდობები დამოკიდებული იქნება იმაზე, თუ კერძოდ, სად მდებარეობს მცირე მასის წერტილი – მმიმე წერტილებს შორის თუ ორივეს მიმართ ერთ ან მეორე მხარეს. განვიხილოთ თთოვეული ეს შემთხვევა ცალკელებები:

- 1) M წერტილი მდებარეობს M_1 და M_2 წერტილებს შორის (ნახაზი 20ა). მაშინ მივიღებთ:

$$\rho_1 + \rho_2 = 1, \quad \mu + z + \rho_1 = 1. \quad (362a)$$

გამოვრიცხოთ (361) განტოლებიდან ρ_2 და z (362)-ის მეშვეობით და მივიღებთ:

$$(1 - \mu - \rho_1) \left(1 + \frac{\mu}{\rho_1^3} + \frac{1 - \mu}{(1 - \rho_1)^3} \right) = \mu(1 - \mu) \left(\frac{1}{\rho_1^3} - \frac{1}{(1 - \rho_1)^3} \right). \quad (363)$$



ნახაზი 19. სამკუთხა ლიბრაციის წერტილები.

ოუ (363)-ს მიერგვნთ საერთო მნიშვნელამდე, მაშინ ρ_1 მანძილისათვის ვიპოვნით მე-5 ხარისხის ალგებრულ განტოლებას:

$$\rho_1^5 - (3 - \mu)\rho_1^4 + (3 - 2\mu)\rho_1^3 - \mu(1 - \rho_1)^2 = 0. \quad (364)$$

- 2) M წერტილი მდებარეობს M_1 წერტილის მარჯვნივ. მაშინ (ნახაზი 20₃)

$$\rho_2 = 1 + \rho_1, \quad \mu + z - \rho_1 = 1. \quad (362b)$$

და ρ_1 სიდიდის შესაბამისი განტოლბა, რომელიც კვლავ მე-5 ხარისხის იქნება, იქნება შემდეგი:

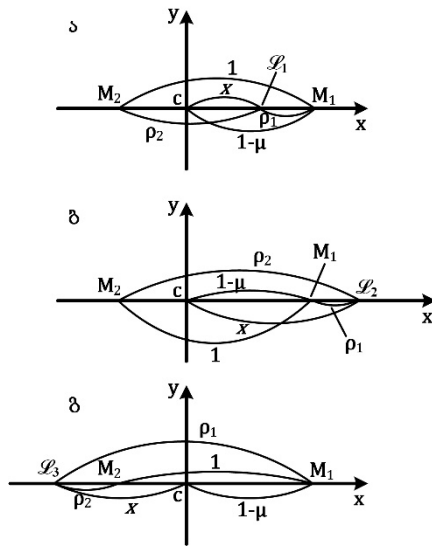
$$\rho_1^5 + (3 - \mu)\rho_1^4 + (3 - 2\mu)\rho_1^3 - \mu(1 + \rho_1)^2 = 0. \quad (365)$$

- 3) და ბოლოს, M წერტილი მდებარეობს M_1 წერტილის მარცხნივ, მაშინ (ნახაზი 20₃):

$$\rho_1 = \rho_2 + 1, \quad \rho_2 = z + \mu. \quad (362c)$$

აქედან და (361)-იდან მივიღებთ შემდეგ განტოლებას ρ_2 მანძილისათვის:

$$\rho_2^5 + (2 + \mu)\rho_2^4 + (1 - 2\mu)\rho_2^3 - (1 - \mu)(1 + \rho_2)^2 = 0. \quad (366)$$



ნახაზი 20. წრფივი ლიბრაციის წერტილები.

შეიძლება ვაჩვენოთ, რომ თითოეულ მიღებულ მე-5 ხარისხის განტოლებას აქვს მხოლოდ ერთი ნამდვილი ფესვი. ამდენად, გვაქვს სამი წრფივი ლიბრაციის წერტილი. ისინი აღინიშნება როგორც L_1 (M_1 და M_2 წერტილებს შორის), L_2 (ნაკლები მასის მქონე M_1 მძიმე წერტილის მარჯვნივ) და L_3 (მეტი მასის მქონე M_2 მძიმე წერტილის მარცხნივ). ρ_1 და ρ_2 მანძილების მნიშვნელობები შეიძლება გამოვითვალოთ იტერაციის მეთოდით, მაგალითად, L_1 წერტილისათვის შემდეგი ფორმულით:

$$\rho_1^{(k)} = \left(\frac{\mu(1 - \rho_1^{(k-1)})^2}{(\rho_1^{(k-1)})^2 - (3 - \mu)\rho_1^{(k-1)} + 3 - 2\mu} \right)^{1/3}. \quad (367)$$

შესაძლებელია ასევე მივიღოთ მცგრივები ρ_1 მნიშვნელობებისათვის $\mu^{1/3}$ ხარისხებით და ρ_2 მნიშვნელობებისათვის μ ხარისხებით. მათ ასეთი სახე აქვთ:

$$\rho_1 = \frac{1}{\sqrt[3]{3}} \mu^{1/3} - \frac{\sqrt[3]{3}}{9} \mu^{2/3} - \frac{1}{27} \mu + \dots, \quad (L_1)$$

$$\rho_1 = \frac{1}{\sqrt[3]{3}} \mu^{1/3} + \frac{\sqrt[3]{3}}{9} \mu^{2/3} - \frac{1}{27} \mu + \dots, \quad (L_2) \quad (368)$$

$$\rho_1 = \frac{7}{12} \mu + \frac{1127}{20736} \mu^3 + \dots. \quad (L_3)$$

როგორც ვხედავთ, $\mu \ll 1$ მნიშვნელობებისათვის ლიბრაციის წერტილები L_1 და L_2 მოთავსებულია M_1 წერტილთან ახლოს, მისგან დაახლოებით თანაბარ მანძილებზე.

წრფივი ლიბრაციის წერტილების, როგორც სამი სხეულის წრიული შეზღუდული ამოცანის კერძო ამონახსნების შესახებ, ჯერ კიდევ ლეონარდ ეილერისათვის იყო ცნობილი. შემდგომში ისინი ხელახლა აღმოჩნდნა ჟოზეფ ლუი ლაგრანჟმა. მანვე აღმოაჩნდა ლიბრაციის სამკუთხა წერტილები. ლაგრანჟმა ასევე დაადგინა, რომ ლიბრაციის წერტილები არსებობს სამი სხეულის ელიფსურ და თუნდაც შეუზღუდვ ამოცანებში. ელიფსურ ამოცანაში a მანძილის როლს ასრულებს ფოკალური პარამეტრი p მძიმე წერტილების ფარდობითი კაპლერისეული მოძრაობისათვის. ამიტომ, ყველა ეს ამონახსნი და ლიბრაციის წერტილები ასევე იწოდება ლაგრანჟისეულებად.

ლიბრაციის წერტილების ასევე სანტერესო თვისებაა შემდეგი: თუ ლიბრაციის წრფივ ან სამკუთხა წერტილებში მოვათავსებთ სამ მატერიალურ წერტილს და მიკცეთ მათ საშუალებას იმოძრაონ ნულოვანი საწყისი პირობებით (ინერციულ კორდინატთა სისტემაში), მაშინ სამივე ერთდროულად დაეჯახებიან ერთმანეთს მათსავე მასათა ცენტრში.

ლიბრაციის წერტილებს მნიშვნელოვანი დანიშნულებაა აქვთ ასტრონომიაში და ასტროდინამიკაში. მათთან დაკავშირებულია ყველაზე ცნობილი მოვლენა – ასტეროიდების ორი ჯგუფის არსებობა, რომლებმაც თავი მოიყარეს „მზე-იუპიტერის“ სისტემის ლიბრაციის სამკუთხა წერტილების მახლობელ სივრცეში. რადგან ასტეროიდებს, რომლებიც მოძრაობენ 60° -ით იუპიტერის წინ, უწოდეს ტროას ალფაში მონაწილე ბერძნთა ლაშქრის გმირების სახელები, ხოლო ასტეროიდებს, რომლებიც მოძრაობენ 60° -ით იუპიტერის უკან, უწოდეს ტროას დამცველთა სახელები, ამიტომ ყველა ამ ასტეროიდს უწოდებენ „ტროელებს“. „დედამიწა-მთვარის“ სისტემის სამკუთხა ლიბრაციის წერტილებში პოლონელმა ასტრონომმა კაზიმირ კორდილევსკიმ აღმოაჩნდა მეტეორული ნივთიერების შეკვრივება, რომელსაც უწოდებენ

კორდილერის ღრუბელის. ლიბრაციის იგივე წერტილები არაერთხელ ყოფილა ადამიანის მიერ კოსმოსის შემდგომი ათვისების პროექტებზე მომუშავე მეცნიერთა ფურადღების ცენტრში. ამრიგულ მეცნიერს ონეილს ეკუთვნის ცნობილი პროექტი „დედამიწა-მოვარის“ სამკუთხა ლიბრაციის წერტილებში 100 ათასი ადამიანის შემადგენლობის კოსმოსური დასახლების განთავსების შესახებ. „მზე-დედამიწის“ სისტემის ლიბრაციის ერთ-ერთ წერტილში გაშვებულ იქანა კოსმოსური აპარატი SOHO მზეზე მიმდინარე პროცესების შესასწავლად. ასეთი პროექტების შემუშავებისა და განხორციელებისათვის მნიშვნელოვანია ვიცოდეთ ლიბრაციის წერტილებში მოთავსებული სხეულების მოძრაობაზე შეშფოთებათა მოქმედების ხასიათი. გადავიდეთ ამ საკითხის განხილვაზე.

მოძრაობის მდგრადობა ლიბრაციის წერტილებში

დავწეროთ შეშფოთებათა განტოლება მდგრადობის თეორიაში მიღებული ფორმით ანუ

$$\ddot{x}_i = 2(-1)^{i+1} \dot{x}_i + \frac{\partial U}{\partial x_i}, \quad i = 1, 2, \quad (369)$$

სადაც $x_i = x, y$ კოორდინატთა შეშფოთებაა ლიბრაციის წერტილებში ამ კოორდინატთა მულტივი მნიშვნელობების მიმართ, ხოლო U განზოგადებულ პოტენციალს (353) ფორმულის სახე აქვს. თუ ამ პოტენციალს დაგმლით მაკლორენის მწკრივად, მივიღებთ შეშფოთებული მოძრაობის გაწრფივებულ განტოლებას:

$$\ddot{x}_i = 2(-1)^{i+1} \dot{x}_i + \sum_{j=1}^2 p_{ij} x_j, \quad (370)$$

სადაც

$$p_{ij} = 2^{1-\delta_{ij}} \left. \frac{\partial^2 U}{\partial x_i \partial x_j} \right|_{x_i=x_j=0} \quad (371)$$

კოეფიციენტების p_{ij} გამოთვლები (371) დახმარებით გვაძლევს შემდეგს:

$$p_{11}^{(k)} = 1 + 2A, \quad p_{22}^{(k)} = 1 - A,$$

$$p_{11}^{(k)} = p_{11}^{(k)} = 0, \quad A = \frac{\mu}{\rho_1^3} + \frac{1-\mu}{\rho_2^3}, \quad k = 1, 2, 3 \quad (372)$$

$$p_{11}^{(k)} = \frac{3}{4}, \quad p_{22}^{(k)} = \frac{9}{4}, \quad p_{12}^{(k)} = (-1)^k \frac{3\sqrt{3}}{4} (1 - 2\mu), \quad k = 4, 5.$$

სადაც k - ლიბრაციის წერტილის ნომერია.

თუ შევეცდებით ვიპოვხოთ (370) სისტემის ამონაზენი კომპლექსური ფორმით $A_l \exp(\omega_l t)$, მაშინ A_l ამპლიტუდებისათვის მივიღებთ შემდეგ ალგებრულ განტოლებათა სისტემას:

$$\begin{aligned} (\omega^2 - p_{11})A_1 - (2\omega + p_{12})A_2 &= 0, \\ (2\omega - p_{21})A_1 + (\omega^2 - p_{22})A_2 &= 0. \end{aligned} \quad (373)$$

იმისათვის, რომ ამ განტოლებათა ერთგვაროვან სისტემას პქონდეს არანულოვანი ამონენა, საჭიროა მისი დეტერმინანტი უდრიდეს ნოლს:

$$\begin{vmatrix} \omega^2 - p_{11} & -2\omega - p_{12} \\ 2\omega - p_{21} & \omega^2 - p_{22} \end{vmatrix} = 0. \quad (374)$$

სწორედ ω სიხშირის მნიშვნელობები, როგორც (374) მახასიათებელი განტოლების ამონაზენები, განსახლვრავენ ლიბრაციის წერტილების მახლობლად შემფეოთებული მოძრაობის ხასიათს წრფივ მიახლოებაში. განტოლება (374) წარმოადგენს ბიკვადრატულ განტოლებას

$$\omega^4 + p\omega^2 + q = 0, \quad (375)$$

სადაც

$$p = 2 - A, \quad q = (1 + 2A)(1 - A), \quad k = 1, 2, 3 \quad (376)$$

და

$$p = 1, \quad q = \frac{27}{4}\mu(1 - \mu), \quad k = 4, 5. \quad (377)$$

$D = p^2/4 - q$ განტოლების დისკრიმინანტის გამოთვლა გვიჩვენებს, რომ

$$D = \frac{9}{4}A\left(A - \frac{8}{9}\right) \quad k = 1, 2, 3 \quad (378)$$

და

$$D = \frac{1}{4}(1 - 27\mu(1 - \mu)), \quad k = 4, 5. \quad (379)$$

(378) და (379) განტოლებების თანახმად D დისკრიმინანტის და მისი შესაბამისი ω სიხშირის მნიშვნელობების ანალიზი გვაძლევს შემდეგ შედეგებს. ლიბრაციის წრფივი წერტილები წრფივ მიახლოებაში არამდგრადია, რადგან ყოველთვის არსებობს ერთი მაინც ნამდვილი დატებითი სიხშირე. სამკუთხა ლიბრაციის წერტილების შემთხვევაში მდგრადობა დაკავშირებულია μ მასის მნიშვნელობასა და შემდეგი განტოლების ფუსვს შორის შეფარდებასთან

$$1 - 27\mu(1 - \mu) = 0. \quad (380)$$

ეს ფესვი მოთავსებულია 0-სა და $1/2$ -ს შორის, კერძოდ $\bar{\mu} \cong 0.038$. $\mu > \bar{\mu}$ მნიშვნელობებისათვის სამკუთხა ლიბრაციის წერტილები არამდგრადია. $\mu < \bar{\mu}$ მნიშვნელობებისათვის სამკუთხა ლიბრაციის წერტილები მდგრადია წრფივ მიახლოებაში.

რაც შესხება ლიბრაციის წერტილების მდგრადობას ამოცანის ზუსტი ამოხსნისას, ლიაპუნოვის მდგრადობის თეორია ადასტურებს დასკვნებს, რომლებიც მივიღეთ წრფივ მიახლოებაში წრფივი და სამკუთხა ლიბრაციის წერტილების არამდგრადობის შესახებ, $\mu > \bar{\mu}$ შემთხვევაში. თუმცა იგი არ იძლევა პასუხს პრატიკული გამოყენებისათვის მნიშვნელოვან შემთხვევაში როცა $\mu < \bar{\mu}$. ეს პასუხი ნაპოვნი იქნა მხოლოდ 1968 წელს KAM თეორიის მეთოდით. ნაჩვენები იქნა, რომ ლიბრაციის სამკუთხა წერტილები მდგრადია მასის ნებისმიერი მნიშვნელობებისათვის $\mu < \bar{\mu}$, გარდა ორი მნიშვნელობისა

$$\mu_1 = \frac{1}{2} - \frac{\sqrt{213}}{30}, \quad \mu_2 = \frac{1}{2} - \frac{\sqrt{1833}}{90}. \quad (381)$$

ეს შედევი მტკიცდება „ტროელების“ და კორდილევსკის ღრუბლის არსებობით და ლიბრაციის სამკუთხა წერტილებს დიდ მნიშვნელობას ანიჭებს კოსმონავტიკისათვის.

საბოლოოდ აღვნიშნოთ, რომ ლიბრაციის წერტილების შესწავლა სივრცულ (სამგანზომილებიან) მოძრაობაში გვაძლევს მახასიათებელ განტოლებას

$$(\omega^2 + s)(\omega^4 + p\omega^2 + q) = 0, \quad (382)$$

სადაც

$$s_k = A, \quad k = 1, 2, 3, \quad s_k = 1, \quad k = 4, 5. \quad (383)$$

როგორც ჩანს, დამატებითი სიხშირეები წარმოსახვითია და ამიტომ ლიბრაციის წერტილები პირველ მიახლოებაში მდგრადია მძიმე წერტილების ბრუნვის სიბრტყიდან გადახრის მიმართ.

პილის სფეროები

იაკობის ინტეგრალი საშუალებას გვაძლევს მოვახდინოთ სამი სხეულის წრიული შეზღუდული ამოცანის ხარისხობრივი შესწავლა და გამოვყოთ ის არები, სადაც მცირე მასის წერტილის მოძრაობა დასაშვებია მოცემული საწყისი პირობებისათვის და სადაც ასეთი მოძრაობა შეუძლებელია. ჩავატაროთ გამოკვლევა ბრტყიდან შემთხვევისათვის.

დავუშვათ წერტილის ფარდობითი სიჩქარე n მისი მოძრაობისას გაუტოლდა ნოლს (ამასთან, აჩქარება, საზოგადოდ, ნოლისგან განსხვავებულია). იმ წერტილების გეომეტრიული ადგილმდებარეობა, სადაც ამას ექნება ადგილი, იაკობის (352) ონტეგრალის თანახმად გამოიხატება შემდეგი განტოლებით:

$$2U(x, y) - c = r^2 + \frac{2\mu}{\rho_1} + \frac{2(1-\mu)}{\rho_2} - c = 0. \quad (384)$$

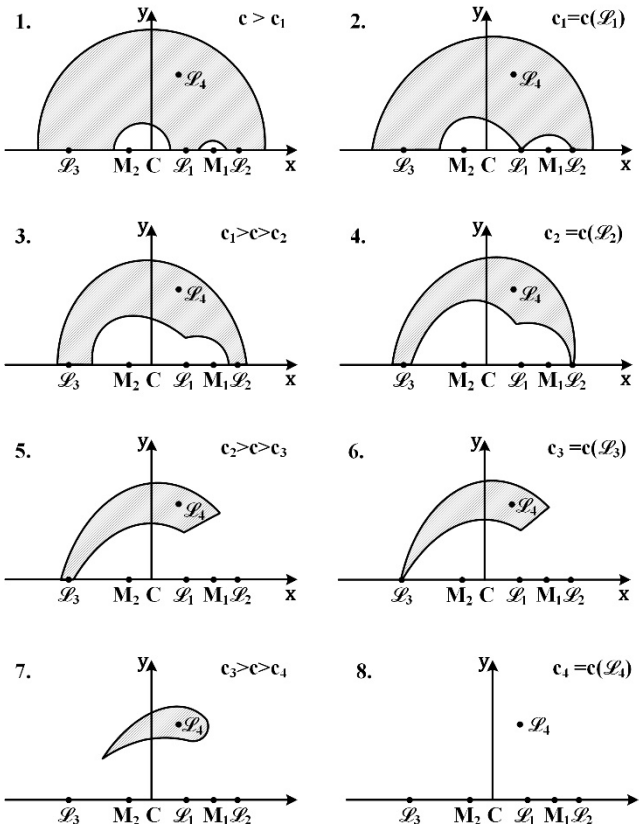
x, y სიბრტყეში ეს იქნება ერთგვარი მრუდი, რომელსაც ვუწოდებთ ნულოვანი სიჩქარის მრუდს ანუ პილის სფეროს (ამერიკული ასტრონომის ჯორჯ პილის საპატიოცემულოდ). რადგან აჩქარება $\dot{r} \neq 0$ (წინააღმდეგ შემთხვევაში ეს იქნება იზოლირებული წერტილი – ლიბრაციის წერტილი), ამიტომ წერტილები, რომლებიც ქმნან პილის სფეროს, არ იქნებიან $U(x, y)$ ფუნქციის ექსტრემუმები. ეს ფუნქცია უნდა იცვლიდეს თავის ნიშანს, როცა M წერტილი მოძრაობისას გადაკვეთს პილის სფეროს. მაგრამ მაშინ, ამ მრუდის ერთ მსარეს სიჩქარის კვადრატი n^2 უნდა გახდეს უარყოფითი, რაც შეუძლებელია. ამიტომ, მცირე მასის წერტილი შეიძლება მოძრაობდეს სიბრტყის მხოლოდ იმ ნაწილში, სადაც სრულდება ასეთი პირობა:

$$2U(x, y) - c \geq 0. \quad (385)$$

ამასთან დაკავშირებით აღნიშნოთ, რომ ლიბრაციის წერტილების კოორდინატები შეიძლება ვიპოვნოთ, როგორც $U(x, y)$ ფუნქციის ექსტრემუმები.

შემდგომი ანალიზი დავიწყოთ იაკობის c მუდმივას საკმარისად დიდი მნიშვნელობებით. თუ $c \gg 1$, მაშინ r -ის მნიშვნელობა $1/\sqrt{n}$ საკმარისად დიდი უნდა იყოს ან საკმარისად მცირე უნდა იყოს $\rho_{1,2}$ მანძილებიდან ერთ-ერთი. პირველ შემთხვევაში (385)-ში მეორე და მესამე შესაკრებები მცირეა c სიდიდესთან შედარებით (M წერტილი საკმარისად არის დაშორებული $M_{1,2}$ წერტილებისგან). ამიტომ, პილის სფეროს დახლოებით $r^2 = c$ სახე ექნება და ეს მრუდი ახლოა \sqrt{c} რადიუსის მქონე წრესთან. მეორე შემთხვევაში, როცა $r^2 \approx 1$, მეორე ან მესამე შესაკრები (385)-ში გაცილებით მეტია $1/\sqrt{n}$. ასეთ შემთხვევაში პილის სფეროს მიახლოებითი განტოლება შემდეგ სახეს იღებს:

$$\frac{2\mu}{\rho_1} + \frac{2(1-\mu)}{\rho_2} = c. \quad (386)$$



ნახაზი 21. პილის სფეროგბი სამი სხეულის ბრტყელ წრიულ შეზღუდულ ამოცანაში აკობის ონტეგრალის მუდმივას სხვადასხვა მნიშვნელობებისათვის.

ეს განტოლება იძლევა ორ ჩატარებულ მრუდს, რომელთაგან ერთ-ერთი შემოფარგლავს M_1 წერტილს, ხოლო მეორე - M_2 წერტილს. ამ მრუდებს გეომეტრიაში უწოდებენ „ოვალებს“ და გარეგნულად განან ელიფსებს (თუმცა ელიფსი ძევს ოვალის შიგნით იგივე ღერძებით). მცირე მასის წერტილის მოძრაობა შესაძლებელია მხოლოდ დიდი \sqrt{c} რადიუსის მქონე წრის გარეთ ან ერთ-ერთი ოვალის შიგნით ანუ $M_{1,2}$ წერტილებიდან ერთ-ერთის მახლობლად. მივაქციოთ ყურადღება იმას, რომ ყველა ამ სამ შემთხვევაში მცირე მასის წერტილის მოძრაობა ახლოა მოძრაობასთან ორი სხეულის ამოცანაში მასებით $m_1 + m_2, m_1$ ან m_2 , შესაბამისად, და შესაძლებელია შესწავლილ იქნას შემფოთების თეორიის მეთოდებით.

იაკობის c მუდმივას შემცირებისას წრე და ოვალები დაიწყებენ სულ უფრო და უფრო დეფორმირებას, თანაც „პაზიტრე“ (ანუ დეფორმირებული წრე) დაიწყებს შემცირებას, ხოლო „პაზიოვალები“ – გაზრდას. გარკვეული კრიტიკული $c = c_1$ მნიშვნელობისათვის ოვალები შეეხებიან ერთმანეთს. ეს მოხდება სწორედ ლიბრაციის შიდა L_1 წერტილში (მრუდი 2 ნახაზზე 21).

იაკობის c მუდმივას შემდგომი შემცირებისას ($c < c_1$) ყოფილი ოვალების შემაქრობებელი ყელი დაიწყებს გაფართოებას და არე, რომელშიც დასაშვებია M წერტილის მოძრაობა, გახდება ორმაგად შეკრული (მრუდები 3 ნახაზზე 21). კრიტიკული მნიშვნელობისათვის $c = c_2$ ჰილის შიდა და გარე სფეროები შეეხებიან ერთმანეთს ლიბრაციის L_2 წერტილში (მრუდი 4 ნახაზზე 21).

შემდგომ, როცა $c > c_2$, ყელი დაიწყებს გაფართოებას L_2 წერტილის მახლობლად – მცირე მასის წერტილის მოძრაობის არე გახდება ერთმაგად შეკრული (მრუდები 5 ნახაზზე 21). თუ გავაგრძელებთ c მუდმივას შემდგომ შემცირებას კრიტიკულ მნიშვნელობამდე $c = c_3$, მაშინ შეეხებიან ერთმანეთს ჰილის სფეროს შიდა და გარე არეები ლიბრაციის L_3 წერტილში (მრუდი 6 ნახაზზე 21).

$c < c_3$ მნიშვნელობებისათვის ჰილის ერთიანი სფერო კვლავ გაწყდება ორ ცლკეულ ჩაკეტილ მრუდად (თვითმფრინავის ფრთის ჭრილების მსგავად, მრუდი 7 ნახაზზე 21) და M წერტილის მოძრაობა შესაძლებელი გახდება ყველგან იმ არეების გარეთ, რომლებიც გარს არტყიან სამკუთხა ლიბრაციის წერტილებს L_4 და L_5 . საბოლოოდ, შემდგომი შემცირებისას c მუდმივას მნიშვნელობა მიაღწევს კრიტიკულ მნიშვნელობას c_4 , რომელზეც ჰილის სფეროები შევიწროვდებან ლიბრაციის $L_{4,5}$ წერტილებში.

ჩატარებული ანალიზიდან შეგვიძლია დავინახოთ განსაკუთრებული როლი, რომელსაც ასრულებენ ლიბრაციის წერტილები ჰილის სფეროების სტრუქტურაში. წრფივი ლიბრაციის წერტილებში ირლვევა ჰილის სფეროების ცალსახობა – ეს წერტილები მათი თვითგადაკვეთის წერტილებს წარმოადგნენ. სამკუთხა წერტილები – ჰილის სფეროების ოჯახის ზღვრული წერტილებია. იაკობის c_k მუდმივების კრიტიკული მნიშვნელობები შეიძლება ვიპოვნოთ, თუ (384)-ში ჩავსვავთ ლიბრაციის წერტილების კოორდინატების x_k, y_k მნიშვნელობებს. c_k მნიშვნელობები, ისევე როგორც ლიბრაციის წერტილების კოორდინატები, დამოკიდებულია μ პარამეტრზე, ანუ M_1 და M_2 მძიმე წერტილების მასებს შორის შეფარდებაზე.

თუ განვიხილავთ ნულოვანი ფარდობითი η სიჩქარის მქონე წერტილების გეომეტრიულ ადგილმდებარეობას სამი სხეულის სივრცულ შეზღუდულ ამოცანაში, ეს უკვე იქნება პილის ზედაპირები. ნახაზი 21 გვაძლევს წარმოდგენას პილის ზედაპირების კვეთის შესახებ $z = 0$ სიბრტყის მიერ (სადაც z არის M წერტილის აბლიკატია).

პილის ზედაპირების $y = 0$ სიბრტყით კვეთის სტრუქტურა განტოლებით

$$x^2 + \frac{2\mu}{\rho_1} + \frac{2(1-\mu)}{\rho_2} = c \quad (387)$$

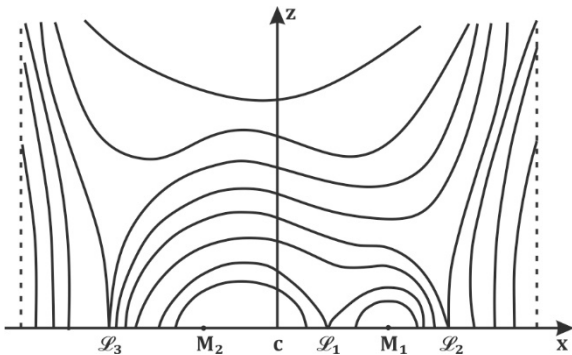
ნაჩვენებია ნახაზზე 22. ხოლო $x = 0$ სიბრტყით კვეთის სტრუქტურა, რომელიც განისაზღვრება განტოლებით

$$y^2 + \frac{2\mu}{\rho_1} + \frac{2(1-\mu)}{\rho_2} = c, \quad (388)$$

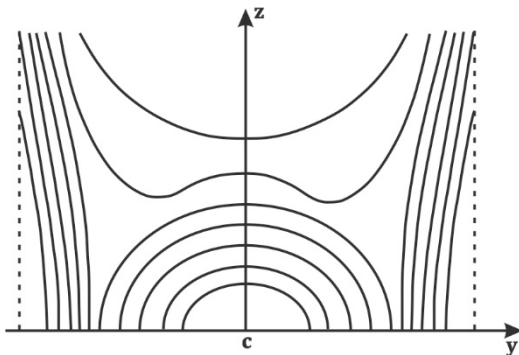
მოცემულია ნახაზზე 23.

პილის ზედაპირები განსაკუთრებულ როლს ასრულებენ ორმაგი ვარსკვლავების სისტემის ფიზიკაში, კერძოდ, ის ზედაპირები, რომლებიც შეესაბამება იაკობის C_1 მუდმივას კრიტიკულ მნიშვნელობას. ამ დროს წარმოიქმნება ორი ერთმანეთის მხები კვერცხის მსგავსი არები $M_{1,2}$ წერტილების გარშემო, რომლებსაც როშის ღრუებს უწოდებენ. მათი მნშივნელობა მდგომარეობს იმაში, რომ ერთი კომპონენტიდნ მეორეზე ნივთიერების გადადინება ეფექტური ხდება მხოლოდ მაშინ, როცა ორმაგი სისტემის ერთ-ერთი კომპონენტი შეავსებს თავის როშის ღრუს. ასეთ შემთხვევაში ორმაგ სისტემას უწოდებენ მჭიდრო ორჯერად სისტემას.

მჭიდრო ორჯერად სისტემაში განსაკუთრებით საინტერესო მოვლენები იჩენს თავს, როცა მეორე კომპონენტი – მასიური ვარსკვლავია ევოლუციის საბოლოო სტადიაზე (პულსარი ან შავი ხერელი). მაშინ, ამ კომპაქტურ ობიექტზე დაცემული ნივთიერების აჩქარება აღწევს ძალას დიდ სიდიდებს. შედეგად, ამ ნივთიერების ტემპერატურა მკვეთრად იმატებს და აკრეციული დისკო, რომელიც წარმოიქმნება კომპაქტური კომპონენტის ღერძული ბრუნვის გამო, ხდება რენტგენული გამოსხივების წყარო. პრეცესიული მოძრაობა ასეთ ორჯერად სისტემაში შესაძლოა გახდეს ამ გამოსხივების დაკვირვებითი ცვალებადობის მიზეზი.



ნახაზი 22. პილის ზედაპირების კვეთა $y = 0$ სიბრტყით სამი სხეულის სივრცულ წრიულ შეზღუდულ ამოცანაში.



ნახაზი 23. პილის ზედაპირების კვეთა $x = 0$ სიბრტყით სამი სხეულის სივრცულ წრიულ შეზღუდულ ამოცანაში.

პრაქტიკული მნიშვნელობა ენიჭება შემთხვევას, როცა იაკობის მუდმივა $c \gg 1$ იმის სარჯზე, რომ $\rho_1 \ll 1$, ანუ მცირე მასის წერტილი მოძრაობს უფრო ნაკლები მასის მძიმე წერტილის უშუალო სისხლოვეს (სისტემა „მზე-პლანეტა-მისი თანამგზავრი“). ასეთ შემთხვევაში, პერიოდული ამონაზნების ძიებას **პილის ამოცანას** უწოდებენ. ამასთან, თუ უარს ვიტყვით კანონიკურ ერთეულთა სისტემაზე, შეიძლება ჩავთვალოთ, რომ მანძილი a უსასრულოდ დიდია, მაგრამ იმ პირობით, რომ $n^2 a^3 = f(m_1 + m_2)$ რჩება სასრული. ანუ M_2 წერტილი მდებარეობს ძალიან შორს M და M_1 წერტილებიდან, მაგრამ მაინც

ახდენს ზემოქმედებას M წერტილზე თავისი დიდი მასის გამო. ჰილის ამოცანის შესწავლისას მიღებული შედეგების საფუძველზე ე. ბრაუნმა შექმნა მთვარის მოძრაობის თეორია.

სამი სხეულის შეზღუდული ამოცანის განხილვის ბოლოს, დასკვნის სახით, აღვნიშნავთ, რომ სამი სხეულის ზოგად შეზღუდულ ამოცანაში მოძრაობის განტოლება შესაძლებელია მივიყვანოთ (354) სახემდე, თუ x, y, z კოორდინატებიდან გადავალთ ახალ ξ, η, ζ კოორდინატებზე, სადაც

$$x = \frac{r}{p}\xi, \quad y = \frac{r}{p}\eta, \quad z = \frac{r}{p}\zeta, \quad (389)$$

ხოლო p არის $-M_{1,2}$ მძიმე წერტილების ფარდობითი კეპლერისეული მოძრაობის ფოკალური პარამეტრი.

მაშინ, სამი სხეულის შეზღუდული ამოცანის განტოლებები მიიღებს შემდეგ სახეს (ე.წ. ნეკვილის განტოლებები):

$$\begin{aligned} \xi'' &= 2\eta' + \frac{\partial \bar{U}}{\partial \xi}, \\ \eta'' &= -2\xi' + \frac{\partial \bar{U}}{\partial \eta}, \\ \zeta'' &= \frac{\partial \bar{U}}{\partial \zeta}, \end{aligned} \quad (390)$$

სადაც პოტენციალი ტოლია

$$\bar{U} = \frac{r}{p} \left[\frac{1}{2}(\xi^2 + \eta^2) - \frac{1}{2}e\zeta^2 \cos\nu + p^3 \left(\frac{\mu}{\rho_1} + \frac{1-\mu}{\rho_2} \right) \right], \quad (391)$$

ხოლო ' სიმბოლო ნიშნავს წარმოებულს ჭეშმარიტი ანომალიით ν .

ჰილის მრუდების და ზედაპირების ცნება გამოიყენება მოძრაობის შესწავლისათვის ასევე ცის მექანიკის სხვა ამოცანებში.

სფერული ტრიგონომეტრიის ელემენტები. ასტრონომიულ კოორდინატთა სისტემები

ამ დამატებაში მოცემულია სფერული ტრიგონომეტრიის ძირითადი ფორმულები, განსაზღვრებები და კოორდინატთა გარდაქმნების ფორმულები, რომლებიც გამოიყენება ასტრონომიაში.

სამკუთხედები სფეროზე წარმოიქმნებან დიდი წრეების რკალებით, რომელთა რადიუსები ტოლია სფეროს რადიუსის. სფერული სამკუთხედის გვერდები შეიძლება გავზომოთ კუთხურ ერთეულებში (გრადუსები, რადიანები და ა.შ.) და განვიხილოთ მათი ტრიგონომეტრიული ფუნქციები. სფერული სამკუთხედის კუთხები წარმოადგენენ ამ სამკუთხედის წარმომქნელი რკალების მხებებს შორის კუთხეებს. სფერული სამკუთხედის გვერდების და კუთხეების ტრიგონომეტრიული ფუნქციები დაკავშირებულია ერთმანეთთან მთელი რიგი დამოკიდებულებებით, რომელთაგან უმთავრესია შემდეგი (ნახაზი დ1.1):

1. კოსინუსების ფორმულა:

$$\cos a = \cos b \cos c + \sin b \sin c \cos A; \quad (1.1)$$

2. სინუსების ფორმულა:

$$\frac{\sin a}{\sin A} = \frac{\sin b}{\sin B}; \quad (1.2)$$

3. ზუთი ელემენტის ფორმულა:

$$\sin a \cos B = \cos b \sin c - \sin b \cos c \cos A. \quad (1.3)$$

მართკუთხა სფერულ სამკუთხედში (ნახაზი დ1.2):

$$\begin{aligned} \sin b &= \sin a \sin B, \\ \cos a &= \cos b \cos C. \end{aligned} \quad (1.4)$$

სფერულ კოორდინატთა სისტემა განისაზღვრება ძირითადი სიბრტყით, რომელიც გადის სფეროს ცენტრზე, და სისტემის ღერძით – წრფე, რომელიც გადის სფეროს ცენტრზე ძირითადი სიბრტყის მართობულად. სისტემის ღერძის სფეროსთან გადაკვეთის წერტილებს სისტემის პოლუსებს უწოდებენ. ერთ-ერთი კოორდინატი აითვლება დიდი წრის გასწვრივ, რომელიც წარმოიქმნება

ძირითადი სიბრტყის სფეროსთან კვეთით, ხოლო მეორე კოორდინატი – ან ამ წრიდან ან სისტემის ერთ-ერთი პოლუსიდან.

ასტრონომიაში, კერძოდ ცის მექანიკაში, ცის სფეროზე (ანუ ნებისმიერი რადიუსის სფეროზე, რომლის ცენტრშიც მოთავსებულია დამკვირვებელი) გამოიყენება შემდეგი კოორდინატთა სისტემები:

1. **ჰორიზონტული სისტემა.** აქ ძირითადი სიბრტყეა – მათემატიკური ჰორიზონტის სიბრტყე, ხოლო სისტემის ღერძი – შვეული ხაზი. კოორდინატებია – ზენიტური მანძილი, რომელიც ათვლება ზენიტიდან ვერტიკალის გასწვრივ (ნახაზი დ1.3), $0^\circ \leq z \leq 180^\circ$; აზიმუტი – ათვლება ჰორიზონტის გასწვრივ სამხრეთის წერტილიდან (ჰორიზონტის ცის მერიდიანთანდ კვეთის ერთ-ერთი წერტილი) დასავლეთის მიმართულებით, $0^\circ \leq z \leq 360^\circ$. სწორედ ჰორიზონტულ სისტემაში იზომება უშუალოდ მნათობთა კოორდინატები ცის სფეროზე. ეს სისტემა დაკავშირებულია სიმბიმის ძალის მიმართულებასთან და პრინციპში შესაძლებელია ფიზიკურად მარტივად აიგოს ქანქარისა და ორი ჰორიზონტული დონის მეშვეობით. თუმცა ჰორიზონტული კოორდინატები მუდმივად იცვლებიან დედამიწის დღე-ღამისული ბრუნვის გამო და, თანაც, არათანაბრად.
2. **პირველი ეკვატორული სისტემა.** ამ სისტემის ძირითადი სიბრტყე პარალელურია დედამიწის ეკვატორის სიბრტყის, ხოლო ღერძია – სამყაროს ღერძი, რომელიც პარალელურია დედამიწის ბრუნვის ღერძის. კოორდინატებია – დახრილობა, რომელიც ათვლება ცის ეკვატორიდან დახრილობათა წრის გასწვრივ (ნახაზი დ1.4), $-90^\circ \leq \delta \leq +90^\circ$; საათიერი კუთხე – ათვლება ცის ეკვატორის გასწვრივ მისი ცის მერიდიანთან კვეთის წერტილიდან, $0^h \leq t \leq 24^h$. დახრილობა არ იცვლება დედამიწის დღე-ღამური ბრუნვის გავლენით, ხოლო საათიერი კუთხე იცვლება თანაბრად და ამიტომ გამოიყენება დროის გასაზომად.
3. **მეორე ეკვატორული სისტემა.** ამ სისტემის ძრითადი სიბრტყე და ღრუძი – იგივეა, რაც პირველ ეკვატორულ სისტემაში. კოორდინატებია – დახრილობა და პირდაპირი აღვლენა, რომელიც ათვლება გაზაფხულის დღედამტოლობის წერტილიდან (ცის ეკვატორის ეკლიპტიკასთან კვეთის ერთ-ერთი წერტილი, ნახაზი დ1.4), $0^h \leq \alpha \leq 24^h$. არცერთი კოორდინატი არ არის დამოკიდებული დედამიწის ღერმულ ბრუნვაზე და, ამიტომ, სწორედ ისინი გამოიყენება ცის სფეროზე მნათობთა განლაგების განსასაზღვრავად. ეკვატორულ სისტემაში გამოყოფენ ტოპოცენტრულ სისტემას – სათავე მოთავსებულია რომელიმე წერტილში დედამიწის

ზედაპირზე, და გეოცენტრულ სისტემას – სათავე ემთხვევა დედამიწის ცენტრს.

4. **კლიპტიკური სისტემა.** ძირითადი სიბრტყეა – ეკლიპტიკის სიბრტყე, ანუ შეუშფოთებელი მზის ობიექტის სიბრტყე მისი მოძრაობისას დედამიწის მიმართ, სისტემის ღერძია – ნორმალი ეკლიპტიკის სიბრტყის მიმართ. კოორდინატებია – ეკლიპტიკური განგედი, რომელიც აითვლება ეკლიპტიკიდან (ნახაზი დ1.5), $-90^\circ \leq \beta \leq +90^\circ$; ეკლიპტიკური ვრძედი, რომელიც აითვლება ეკლიპტიკის გასწვრივ გაზაფხულის დღელამტოლობის წერტილიდან, $0^\circ \leq \lambda \leq 360^\circ$. გამოიყენება მზის სიტემის სხეულთა მოძრაობის აღწერისათვის, კერძოდ, მათი ობიექტების ელემენტების განსაზღვრისათვის.

სფერული სამკუთხედიდან ZPM (ნახაზი დ1.4) და PIM (ნახაზი დ1.5) და (1.1-1.3) ფორმულებიდან გამომდინარეობს სხვადასხვა სისტემის კოორდინატებს შორის გადასვლის ფორმულები:

პორიზონტულიდან ეკვატორულზე –

$$\begin{aligned} \cos \delta \cos t &= \sin z \sin A, \\ \cos \delta \cos t &= \cos z \cos \varphi + \sin z \sin \phi \cos A, \\ \sin \delta &= \cos z \sin \varphi - \sin z \cos \varphi \cos A, \\ \alpha &= s - t. \end{aligned} \tag{1.5}$$

სადაც φ - დაკვირვების ადგილის გეოგრაფიული გრძელდა, s - ვარსკვლავიერი დრო, რომელიც იზომება გაზაფხულის დღელამტოლობის წერტილის საათიერი კუთხით;

ეკვატორულიდან პორიზონტულზე –

$$\begin{aligned} \sin z \sin A &= \cos \delta \sin t, \\ \sin z \cos A &= -\sin \delta \cos \varphi + \cos \delta \sin \varphi \cos t, \\ \cos z &= \sin \delta \sin \varphi + \cos \delta \cos \varphi \cos t. \end{aligned} \tag{1.6}$$

ეკვატორულიდან ეკლიპტიკურზე –

$$\begin{aligned} \cos \beta \cos \lambda &= \cos \delta \cos \alpha, \\ \cos \beta \sin \lambda &= \sin \delta \sin \varepsilon + \cos \delta \cos \varepsilon \sin \alpha, \\ \sin \beta &= \sin \delta \cos \varepsilon - \cos \delta \sin \varepsilon \sin \alpha, \end{aligned} \tag{1.7}$$

სადაც ε - ეკლიპტიკის დახრაა ცის ეკვატორის მიმართ ($\approx 23^\circ 26'$);

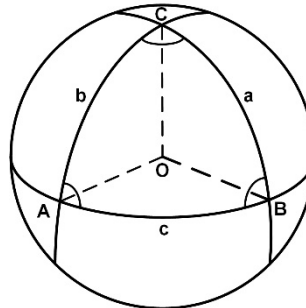
ეკლიპტიკურიდან ეკვატორულზე –

$$\cos \delta \cos \alpha = \cos \beta \cos \lambda,$$

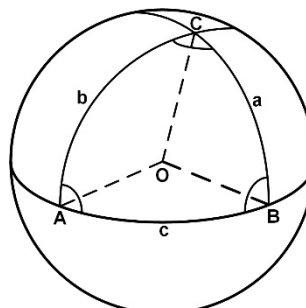
$$\cos \delta \sin \alpha = -\sin \beta \sin \varepsilon + \sin \beta \cos \varepsilon \sin \lambda, \quad (1.8)$$

$$\sin \delta = \sin \beta \cos \varepsilon + \cos \beta \sin \varepsilon \sin \lambda.$$

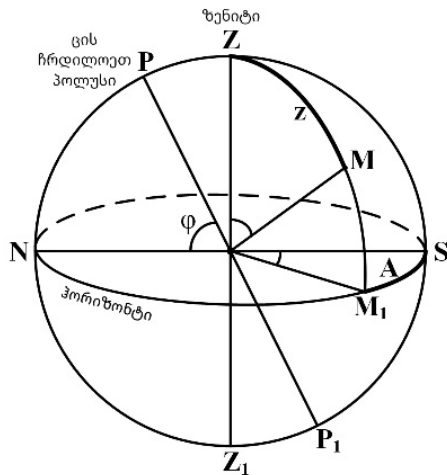
გარდა გეოცენტრულ ეკვატორულ და ეკლიპტიკურ კოორდინატთა სისტემებისა გამოიყენება ჰელიოცენტრული ეკლიპტიკური სისტემა და პლანეტოცენტრული ეკვატორული სისტემები, რომლებიც დაკავშირებულია რომელიმე პლანეტის ეკვატორის სიბრტყესთან.



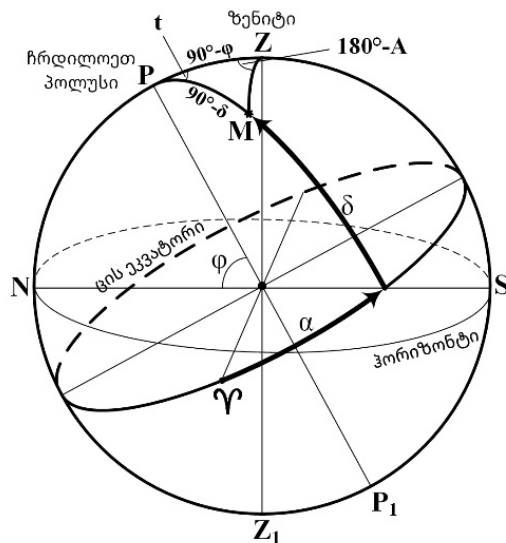
ნახაზი დ1.1. სფერული სამკუთხედი.



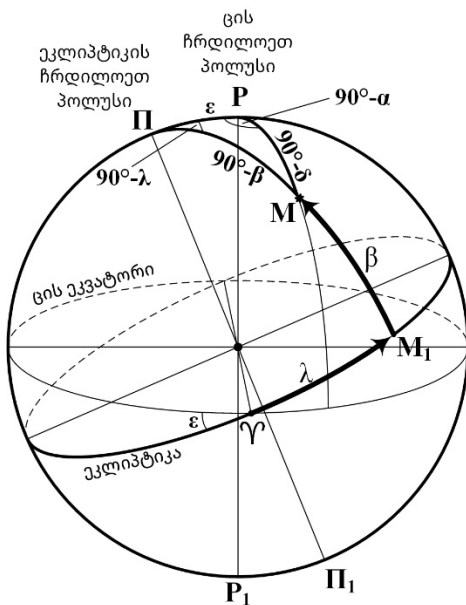
ნახაზი დ1.2. სფერული მართკუთხა სამკუთხედი.



ნახაზი დ1.3. პორიზონტულ კოორდინატთა სისტემა.



ნახაზი დ1.4. ეკვატორული კოორდინატთა სისტემა. პორიზონტულ და ეკვატორულ სისტემებს შორის გავშირ.



ნახაზი დ1.5. ეკლიპტიკური კოორდინატთა სისტემა. ეკვატორულ და ეკლიპტიკურ სისტემებს შორის კავშირი.

გექტორული და ტენზორული აღრიცხვის ელემენტები

გექტორი სიბრტყეზე. კოვარიანტული და კონტრავარიანტული კოორდინატები

განვიხილოთ რამე სიბრტყეზე მოცემული გექტორი. როგორც ცნობილია, ნებისმიერი გექტორი შეიძლება სრულად განვსაზღვროთ სიბრტყეზე ორი არაკოლინეარული გექტორის მეშვეობით:

$$\vec{a} = a^1 \vec{e}_1 + a^2 \vec{e}_2. \quad (1)$$

აქ $a^i, i = 1, 2$ – კოეფიციენტებია (ზედა ინდექსით აღნიშნულია კომპონენტის ნომერი და არა სარისხში აყვანა), რომლებსაც უწოდებენ \vec{a} გექტორის კონტრავარიანტულ კოორდინატებს. გეომეტრიულად ეს შეიძლება გამოვსახოთ ისე, როგორც არის მოცემული ნახაზზე დ2.1.

გექტორებს \vec{e}_1, \vec{e}_2 უწოდებენ ბაზისურს, მათ შორის კუთხე, იმ პირობით, რომ $\varphi \neq 0, \pi$, შეიძლება იყოს ნებისმიერი. ასევე ნებისმიერი შეიძლება იყოს არანულოვანი ბაზისური გექტორების სიგრძეები. ნახაზზე დ2.1 მოცემული ბაზისი იმავე სიბრტყეზე გვაძლევს მახვილკუთხა კოორდინატთა სისტემას (u, v) ღერძებით.

როგორც ნახაზიდან დ2.1 ვხედავთ, OA_1 და OA_2 მონაკვეთების სიგრძეები უდრის:

$$OA_1 = a^1 |\vec{e}_1|, \quad OA_2 = a^2 |\vec{e}_2|. \quad (2)$$

თუმცა, ეს არ არის ერთადერთი მეთოდი მოცემულ კოორდინატთა სისტემაში \vec{a} გექტორის განსასაზღვრავად. იგი ასევე შეიძლება განვსაზღვროთ (u, v) ღერძებზე ორთოგონალური პროექციებით. ასეთი პროექციები უდრის:

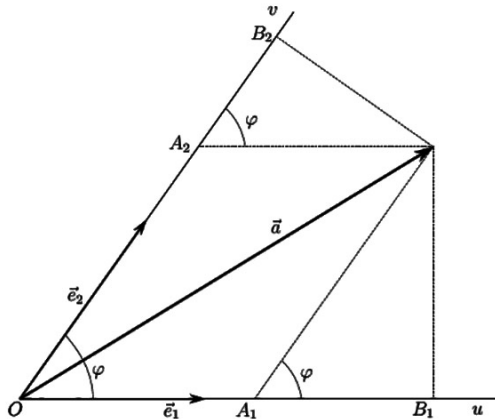
$$OB_1 = OA_1 + OA_2 \cos \varphi = a^1 |\vec{e}_1| + a^2 |\vec{e}_2| \cos \varphi \quad (3)$$

$$OB_2 = OA_1 \cos \varphi + OA_2 = a^1 |\vec{e}_1| \cos \varphi + a^2 |\vec{e}_2| \quad (4)$$

გამოვსახოთ ამ პროექციების სიგრძეები ბაზისური გექტორების სიგრძეებით შემდეგნაირად:

$$OB_1 = a_u = \frac{\vec{a} \cdot \vec{e}_1}{|\vec{e}_1|} = \frac{a_1}{|\vec{e}_1|} \quad (5)$$

$$OB_2 = a_v = \frac{\vec{a} \cdot \vec{e}_2}{|\vec{e}_2|} = \frac{a_2}{|\vec{e}_2|} \quad (6)$$



ნახაზი დ2.1. სიბრტყეები მოცემული ვექტორის კონტრავარიანტული კოორდინატები.

სადაც $a_1 = \vec{a} \cdot \vec{e}_1$ და $a_2 = \vec{a} \cdot \vec{e}_2$ - \vec{a} ვექტორის კოვარიანტული კოორდინატებია.

გავუტოლოთ ერთმანეთს (3), (5) და (4), (6)

$$\frac{a_1}{|\vec{e}_1|} = a^1 |\vec{e}_1| + a^2 |\vec{e}_2| \cos \varphi \quad (7)$$

$$\frac{a_2}{|\vec{e}_2|} = a^1 |\vec{e}_1| \cos \varphi + a^2 |\vec{e}_2| \quad (8)$$

გაგამრავლოთ (7) $|\vec{e}_1|$ -ზე, ხოლო (8) - $|\vec{e}_2|$ -ზე და გარდავქმნათ შესაბამისად:

$$a_1 = a^1 |\vec{e}_1 \cdot \vec{e}_1| + a^2 |\vec{e}_1 \cdot \vec{e}_2| \quad (9)$$

$$a_2 = a^1 |\vec{e}_1 \cdot \vec{e}_2| + a^2 |\vec{e}_2 \cdot \vec{e}_2| \quad (10)$$

შემოვიდოთ მატრიცა:

$$\mathbf{g} = \begin{bmatrix} \vec{e}_1 \cdot \vec{e}_1 & \vec{e}_1 \cdot \vec{e}_2 \\ \vec{e}_1 \cdot \vec{e}_2 & \vec{e}_2 \cdot \vec{e}_2 \end{bmatrix} \quad (11)$$

მაშინ (9) და (10) შეიძლება გამოვსახოთ შემდეგი დამოკიდებულებით:

$$a_i = \sum_{j=1}^2 g_{ij} a^j, \quad i = 1, 2 \quad (12)$$

გამოსახულება (12) გვაძლევს ვექტორის კოვარიანტულ და კონტრავარიანტულ კოორდინატებს შორის კავშირს, რომელიც განისაზღვრება

შხოლოდ \mathbf{g} მატრიცის სახით, რომელიც თავის მხრივ დამოკიდებულია ბაზისური ვექტორების ურთიერთგანლაგებაზე.

კოვარიანტული და კონტრავარიანტული კომპონენტების ერთობლიობა არჩეულ ბაზისში განსაზღვრავენ ერთი და იგივე ვექტორს. კონტრავარიანტული კოორდინატების გამოყენებისას ეს ვექტორი მოიცემა ვერტიკალური მატრიცით:

$$\mathbf{a} = \begin{bmatrix} a^1 \\ \vdots \\ a^n \end{bmatrix}$$

სოლო კოვარიანტულის შემთხვევაში – ჰორიზონტული მატრიცით:

$$\mathbf{a} = [a^1 \ \dots \ a^n]$$

ვექტორების სკალარული ნამრავლი

გადავიდეთ უფრო მაღალი განზომილების სივრცეზე და განვიხილოთ ორი ვექტორი:

$$\vec{a} = a^1 \vec{e}_1 + a^2 \vec{e}_2 + a^3 \vec{e}_3, \quad \vec{b} = b^1 \vec{e}_1 + b^2 \vec{e}_2 + b^3 \vec{e}_3$$

სადაც ბაზისური ვექტორები $\vec{e}_1, \vec{e}_2, \vec{e}_3$, ისევე როგორც ზევით, არანულოვანი არაკომპლანარული ვექტორებია. გადავამრავლოთ სკალარულად \vec{a} და \vec{b} ვექტორები:

$$\vec{a} \cdot \vec{b} = (a^1 \vec{e}_1 + a^2 \vec{e}_2 + a^3 \vec{e}_3) \cdot (b^1 \vec{e}_1 + b^2 \vec{e}_2 + b^3 \vec{e}_3)$$

ამ უკანასკნელ გამოსახულებაში გავხსნათ ფრჩხილები

$$\begin{aligned} \vec{a} \cdot \vec{b} &= a^1 b^1 (\vec{e}_1 \cdot \vec{e}_1) + a^2 b^1 (\vec{e}_1 \cdot \vec{e}_2) + a^3 b^1 (\vec{e}_1 \cdot \vec{e}_3) + \\ &+ a^1 b^2 (\vec{e}_1 \cdot \vec{e}_2) + a^2 b^2 (\vec{e}_2 \cdot \vec{e}_2) + a^3 b^2 (\vec{e}_2 \cdot \vec{e}_3) + \\ &+ a^1 b^3 (\vec{e}_1 \cdot \vec{e}_3) + a^2 b^3 (\vec{e}_2 \cdot \vec{e}_3) + a^3 b^3 (\vec{e}_3 \cdot \vec{e}_3) \end{aligned}$$

და კვლავ შემოვიღოთ მატრიცა:

$$\mathbf{g} = \begin{bmatrix} \vec{e}_1 \cdot \vec{e}_1 & \vec{e}_1 \cdot \vec{e}_2 & \vec{e}_1 \cdot \vec{e}_3 \\ \vec{e}_2 \cdot \vec{e}_1 & \vec{e}_2 \cdot \vec{e}_2 & \vec{e}_2 \cdot \vec{e}_3 \\ \vec{e}_3 \cdot \vec{e}_1 & \vec{e}_3 \cdot \vec{e}_2 & \vec{e}_3 \cdot \vec{e}_3 \end{bmatrix} \quad (14)$$

მაშინ სკალარული ნამრავლი შეგვიძლია ჩავწეროთ საკმაოდ კომპაქტურად:

$$\vec{a} \cdot \vec{b} = \sum_{i=1}^3 \left(\sum_{j=1}^3 g_{ij} a^j \right) b^i \quad (15)$$

თუ (12)-ს განვაზოგადებთ სამგანზომილებიანი სივრცისთვის, შეგვიძლია დავწეროთ:

$$a_i = \sum_{j=1}^3 g_{ij} a^j, \quad i = 1, 2, 3 \quad (16)$$

რაც \vec{a} ვექტორის კოვარიანტული კოორდინატებია. აქედან, (15) შეიძლება შემდეგნაირად ჩავწეროთ:

$$\vec{a} \cdot \vec{b} = \sum_{i=1}^3 a_i b^i \quad (17)$$

ეინშტეინის გამარტივება

განტოლების (17) შემდგომი გამარტივების მეთოდი ეკუთვნის ა. ეინშტეინს. გამოისახულებებში (16) და (17) შეგვიძლია გამოვტოვოთ ჯამის Σ სიმბოლო და ვიგულისხმოთ აჯამვა გამეორებადი ინდექსების მახვდვთ. აქედან გამომდინარე, (16) შეგვიძლია შემდეგნაირად ჩავწეროთ:

$$a_i = g_{ij} a^j, \quad i = 1, 2, 3 \quad (18)$$

სადაც j არის ინდექსი, რომლითაც ხდება აჯამვა. გარდა ამისა, წესით, ინდექსები უნდა იცვლიდნენ მდებარეობას – თუ პირველ თანამამრავლში ის ქვევთ არის, მეორეში უნდა იყოს ზემოთ და პირიქთ. (17) გამოისახულება მიღებს შემდეგ სახეს:

$$\vec{a} \cdot \vec{b} = a_i b^i \quad (19)$$

ხოლო (15) გამოისახება შემდეგნაირად

$$\vec{a} \cdot \vec{b} = g_{ij} a^j b^i \quad (20)$$

მარტივი მაგალითების ანალიზი

განვიხილოთ მარტივი მაგალითები. დავუშვათ ჩვენი ბაზისი დეკარტულია ანუ ორთონორმირებულია. მაშინ, \mathbf{g} მატრიცა გახდება ერთულოვანი

$$\mathbf{g} = \begin{bmatrix} 1 & 0 & 0 \\ 0 & 1 & 0 \\ 0 & 0 & 1 \end{bmatrix}$$

ვთქვათ, \vec{a} ვექტორი მოცემული გვაქვს ასეთ ბაზისში. როგორც ცნობილია, ვექტორის სიგრძის კვადრატი ტოლია ამ ვექტორის სკალარული ნამრავლისა თავის თავზე, ანუ

$$\begin{aligned} |\vec{a}|^2 &= \vec{a} \cdot \vec{a} = g_{ij} a^j a^i = (g_{11} a^1 + g_{12} a^2 + g_{13} a^3) a^1 + \\ &\quad + (g_{21} a^1 + g_{22} a^2 + g_{23} a^3) a^2 + \\ &\quad + (g_{31} a^1 + g_{32} a^2 + g_{33} a^3) a^3 = \\ &= (a^1)^2 + (a^2)^2 + (a^3)^2 \end{aligned}$$

შედეგად მივიღეთ, რომ მართვულთა კოორდინატთა სისტემაში ვექტორის სიგრძის კვადრატი ტოლია მისი კომპონენტების კვადრატების ჯამის.

გამოვთვალოთ ვექტორის სიგრძის კვადრატი ბრტყელ მახვილკუთხა ბაზისში (იხ. ნახაზი 2.1). ვთქვათ ასეთ ბაზისში მოცემული გვაქვს \vec{b} ვექტორი თავისი კონტრავარიანტული კოორდინატებით. მაშინ:

$$\mathbf{g} = \begin{bmatrix} 1 & \cos \varphi \\ \cos \varphi & 1 \end{bmatrix}$$

სადაც φ - კუთხეა ბაზისურ ვექტორებს შორის. გამოვთვალოთ \vec{b} ვექტორის სიგრძის კვადრატი

$$\begin{aligned} |\vec{b}|^2 &= \vec{b} \cdot \vec{b} = g_{ij} b^j b^i = (g_{11} b^1 + g_{12} b^2) b^1 + (g_{21} b^1 + g_{22} b^2) b^2 = \\ &= (b^1)^2 + b^2 b^1 \cos \varphi + b^1 b^2 \cos \varphi + (b^2)^2 = \\ &= (b^1)^2 + (b^2)^2 + 2b^1 b^2 \cos \varphi \end{aligned}$$

ზესტად ასეთ შედეგს მივიღებთ, თუ ფისარგებლებთ კოსინუსების თეორემით და ვაპოვით პარალელოგრამის დიაგონალის სიგრძის კვადრატს.

როგორც ვხედავთ, სხვადასხვა კოორდინატთა სისტემაში მუშაობისას ჩვენ გამოვიყენეთ ერთადერთი ფორმულა (20) სკალარული ნამრავლის გამოსათვლელად და მისი სახე სრულიად არ არის დამოკიდებული ბაზისზე და სიგრცის განზომილებაზე. ბაზისით განისაზღვრება მხოლოდ \mathbf{g} მატრიცის კომპონენტების კონკრეტული მნიშვნელობები.

ასეთ შემთხვევაში ამბობენ, რომ ფორმულა (20) გამოსახავს ორი ვექტორის სკალარულ ნამრავლს **ტექნიკული ანუ ბაზისისგან დამოუკიდებელი ფორმათ**.

ზემოთ აღნიშნული \mathbf{g} მატრიცა გვაძლევს ე.წ. **მეტრიკულ ტექნიკის**. მისი სახე განსაზღვრავს თუ როგორ გამოითვლება ორ წერტილს შორის მანძილი მოცემულ კოორდინატთა სისტემაში. თუმცა, მათემატიკური ფორმა, ამ შემთხვევაში კვადრატული მატრიცა, რომელიც შეიცავს კომპონენტების ერთობლიობას, ჯერ კიდევ არ არის ტექნიკი.

მარტივი მაგალითების ანალიზი

გადავწეროთ (20) დამოკიდებულება მატრიცული ფორმით:

$$c = \mathbf{a}^{(0)T} \mathbf{g}^{(0)} \mathbf{b}^{(0)} \quad (21)$$

სადაც c – ვექტორების სკალარული ნამრავლია. ზედა ინდექსი აღნიშნავს კოორდინატთა სისტემას, რომელშიც მოცემულია ვექტორები და განსაზღვრულია მეტრიკული ტექნიკი. ავლიშორო ეს არის კოორდინატთა სისტემა როგორც K0. ვექტორის გარდაქმნა რომელიღაც სხვა კოორდინატთა K1 სისტემაში აღიწერება \mathbf{A}_{01} გარდაქმნის მატრიცით, ანუ:

$$\mathbf{a}^{(0)} = \mathbf{A}_{01} \mathbf{a}^{(1)}, \quad \mathbf{b}^{(0)} = \mathbf{A}_{01} \mathbf{b}^{(1)} \quad (22)$$

ჩავსვათ (22) (21)-ში:

$$c = (\mathbf{A}_{01} \mathbf{a}^{(1)})^T \mathbf{g}^{(0)} \mathbf{A}_{01} \mathbf{b}^{(1)} = \mathbf{a}^{(1)T} \mathbf{A}_{01}^T \mathbf{g}^{(0)} \mathbf{A}_{01} \mathbf{b}^{(1)}.$$

მეორე განტოლებაში გამოსახულება:

$$\mathbf{A}_{01}^T \mathbf{g}^{(0)} = \mathbf{g}^{(1)}$$

წარმოადგენს მეტრიკულ ტექნიკის, რომლის კომპონენტები განისაზღვრება ახალი ბაზისით. როგორც ვხედავთ, ახალ ბაზისში ოპერაციას ანალოგური ფორმა აქვს:

$$c = \mathbf{a}^{(1)T} \mathbf{g}^{(1)} \mathbf{b}^{(1)}$$

ჩვენ ვაჩვენეთ ტექნიკების კიდევ ერთი თვისება – მისი კომპონენტები იცვლება სინქრონულად იმავე სიგრცის ვექტორების კომპონენტებისა, რომელშიც განსაზღვრულია თავად ტექნიკი.

ამდენად, შეგვიძლია ვთქვათ, რომ ტექნიკი არის მათემატიკური ობიექტი, რომელიც წარმოდგენილია კომპონენტების ერთობლიობით და მათი ცვლილების წესით ბაზისის ცვლილების შემთხვევაში.

ეინშტეინის წესის გამოყენებით გადავწეროთ (22) და (23) ტენზორული სახით:

$$a^{i(1)} = \alpha_k^i a^{k(0)}, \quad b^{i(1)} = \alpha_k^i b^{k(0)} \quad (24)$$

$$g_{ij}^{(1)} = \alpha_i^l \alpha_j^k g_{kl}^{(0)} \quad (25)$$

სადაც α_i^j - A_{01} მატრიცის ელემენტებია. განვიხილოთ (25) სამგანზომილებან მაგალითზე. ვთქვათ, კორდინატთა გარდაქმნის მატრიცას შემდეგი სახე აქვს:

$$A_{01} = \begin{bmatrix} \alpha_1^1 & \alpha_2^1 & \alpha_3^1 \\ \alpha_1^2 & \alpha_2^2 & \alpha_3^2 \\ \alpha_1^3 & \alpha_2^3 & \alpha_3^3 \end{bmatrix}$$

ჩავწეროთ მეტრიკული ტენზორის კომპონენტების გარდაქმნა და ამისათვის (25)-ში მოვახდინოთ აჯამვა ინდექსებით k და l :

$$\begin{aligned} g_{ij}^{(1)} = & \alpha_i^1 (\alpha_j^1 g_{11}^{(0)} + \alpha_j^2 g_{21}^{(0)} + \alpha_j^3 g_{31}^{(0)}) + \\ & + \alpha_i^2 (\alpha_j^1 g_{12}^{(0)} + \alpha_j^2 g_{22}^{(0)} + \alpha_j^3 g_{32}^{(0)}) + \\ & + \alpha_i^3 (\alpha_j^1 g_{13}^{(0)} + \alpha_j^2 g_{23}^{(0)} + \alpha_j^3 g_{33}^{(0)}) \end{aligned}$$

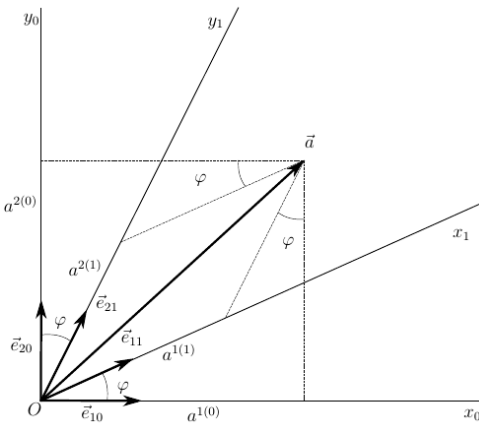
აქედან ჩანს, რომ (25)-ში ხდება გარდაქმნის მატრიცის ტრანსპონირება, შედეგის გამრავლება მეტრიკულ ტენზორზე და მაღებული მატრიცის გამრავლება გარდაქმნის მატრიცაზე.

სიმარტივისათვის, განვიხილოთ კონკრეტული მაგალითი სიბრტყეზე. დავუშვათ \vec{e} კექტორი მოცემულია ორ ნორმირებულ ბაზისში: მართკუთხა ($\vec{e}_{10}, \vec{e}_{20}$) და მახვილკუთხა ($\vec{e}_{11}, \vec{e}_{21}$) (იხ. ნახაზი დ2.2). მახვილკუთხა კორდინატთა სისტემიდან მართკუთხაში გარდაქმნა გამოისახება შემდეგი მატრიცით:

$$A_{01} = \begin{bmatrix} \cos \varphi & \sin \varphi \\ \sin \varphi & \cos \varphi \end{bmatrix}$$

შებრუნებულ გარდაქმნას ასეთი სახე აქვს:

$$A_{01} = A_{01}^{-1} = \begin{bmatrix} \frac{\cos \varphi}{\cos 2\varphi} & -\frac{\sin \varphi}{\cos 2\varphi} \\ -\frac{\sin \varphi}{\cos 2\varphi} & \frac{\cos \varphi}{\cos 2\varphi} \end{bmatrix}$$



ნახაზი დ2.2. ვექტორის მახვილებუთხა კოორდინატთა სისტემიდან მართებუთხაში გარდაქმნა.

ასევე, დავუშვათ, მართებუთხა კოორდინატთა სისტემაში ჩვენს ვექტორის კომპონენტებია:

$$\mathbf{a}^{(0)} = \begin{bmatrix} 3 \\ 4 \end{bmatrix}$$

მარტივად შეგვიძლია ვაჩვენოთ, რომ $|\vec{a}| = 5$. მეტრიკული ტენიორი ორთონორმირებულ ბაზისში წარმოადგენს ერთეულოვან მატრიცას:

$$\mathbf{g}^{(0)} = \begin{bmatrix} 1 & 0 \\ 0 & 1 \end{bmatrix}$$

აქედან

$$|\vec{a}|^2 = g_{ij}^{(0)} a^{j(0)} a^{i(0)} = (g_{11}^{(0)} a^{1(0)} + g_{12}^{(0)} a^{2(0)}) a^{1(0)} + (g_{21}^{(0)} a^{1(0)} + g_{22}^{(0)} a^{2(0)}) a^{2(0)} = 3 \cdot 3 + 4 \cdot 4 = 25.$$

დავუშვათ დერძების დახრის ქუთხე ტოლია $\varphi = \pi/6$ და გამოვითვალოთ ვექტორის კონტრაგრანტული კოორდინატები მახვილებუთხა სისტემაში:

$$\begin{aligned} a^{1(1)} &= \tilde{a}_1^1 a^{1(0)} + \tilde{a}_2^1 a^{2(0)} = 3\sqrt{3} - 4 \\ a^{2(1)} &= \tilde{a}_1^2 a^{1(0)} + \tilde{a}_2^2 a^{2(0)} = -3 + 4\sqrt{3}. \end{aligned}$$

ვექტორთან ერთად ასევე უნდა გარდავქმნათ მეტრიკული ტენიორიც:

$$\begin{aligned}
g_{11}^{(1)} &= \alpha_1^1(\alpha_1^1 g_{11}^{(0)} + \alpha_1^2 g_{21}^{(0)}) + \alpha_1^2(\alpha_1^1 g_{12}^{(0)} + \alpha_1^2 g_{22}^{(0)}) = \frac{\sqrt{3}}{2} \cdot \frac{\sqrt{3}}{2} + \frac{1}{2} \cdot \frac{1}{2} = 1 \\
g_{12}^{(1)} &= \alpha_1^1(\alpha_2^1 g_{11}^{(0)} + \alpha_2^2 g_{21}^{(0)}) + \alpha_1^2(\alpha_2^1 g_{12}^{(0)} + \alpha_2^2 g_{22}^{(0)}) = \frac{\sqrt{3}}{2} \cdot \frac{1}{2} + \frac{1}{2} \cdot \frac{\sqrt{3}}{2} = \frac{\sqrt{3}}{2} \\
g_{21}^{(1)} &= \alpha_2^1(\alpha_1^1 g_{11}^{(0)} + \alpha_1^2 g_{21}^{(0)}) + \alpha_2^2(\alpha_1^1 g_{12}^{(0)} + \alpha_1^2 g_{22}^{(0)}) = \frac{1}{2} \cdot \frac{\sqrt{3}}{2} + \frac{\sqrt{3}}{2} \cdot \frac{1}{2} = \frac{\sqrt{3}}{2} \\
g_{22}^{(1)} &= \alpha_2^1(\alpha_2^1 g_{11}^{(0)} + \alpha_2^2 g_{21}^{(0)}) + \alpha_2^2(\alpha_2^1 g_{12}^{(0)} + \alpha_2^2 g_{22}^{(0)}) = \frac{1}{2} \cdot \frac{1}{2} + \frac{\sqrt{3}}{2} \cdot \frac{\sqrt{3}}{2} = 1
\end{aligned}$$

საბოლოოდ გამოვთვალოთ ვექტორის სიგრძე ასალ კორდინატთა სისტემაში:

$$\begin{aligned}
|\vec{a}|^2 &= g_{ij}^{(1)} a^{j(1)} a^{i(1)} \\
&= (g_{11}^{(1)} a^{1(1)} + g_{12}^{(1)} a^{2(1)}) a^{1(1)} + (g_{21}^{(1)} a^{1(1)} + g_{22}^{(1)} a^{2(1)}) a^{2(1)} \\
&= \left(3\sqrt{3} - 4 - 3\frac{\sqrt{3}}{2} + 6\right) (3\sqrt{3} - 4) + \left(\frac{9}{2} - 2\sqrt{3} - 3 + 4\sqrt{3}\right) (-3 + 4\sqrt{3}) \\
&= 25
\end{aligned}$$

ანუ

$$|\vec{a}| = 5,$$

შესაბამისად, გამოდის, რომ ვექტორის სიგრძე და ვექტორების სკალარული ნამრავლი ინგარიანტულია ანუ არ იცვლება კოორდინატების გარდაქმნისას. თანაც, ჩვენ გამოვიყენეთ ერთი და იგივე თანაფარდობა (20) სხვადასხვა კოორდინატთა სისტემისათვის, თუმცა, წინასწარ გარდავქმნით მეტრიკული ტენზორი, იგივე განზომილებაში ვექტორების გარდაქმნის (25) წესის შესაბამისად.

როგორც ვხედავთ, თუ სიგრცის თვისებები ცნობილია, სირთულეს არ წარმოადგენს მასში განსაზღვრულ ვექტორებზე მოქმედებების შესრულება ისეთი ფორმულებით, რომელთა სახე არ არის დამოკიდებული სივრცის ფორმაზე. თანაც, (20), (24) და (25) ფორმულები გვაძლევენ როგორც გამოთვლის ალგორითმს, ასევე მათი კომპონენტების გარდაქმნის საშუალებებს. ამის ყველაფრის საფუძველია სწორედ ტენზორული მიდგომის გამოყენება.

მრავალ ფიზიკურ თეორიაში, მათ შორის, ფარდობითობის ზოგად თეორიაში, განიხილება გამრუდებული სივრცე-დრო და იქ სხვა მიდგომა სრულიად არაპროდუქტიულია. გამრუდებულ სივრცე-დროში მეტრიკული ტენზორი მოიცემა ლოკალურად, თითოეული წერტილისათვის ცალკე და თუ

შევცდებით კვლევა ვაწარმოოთ ტენზორების გარეშე, მივიღებთ უაღრესად რთულ და პრაქტიკულად გამოუყენებად განტოლებებს, ზოგჯერ კი საერთოდ ვერ მივიღებთ შედეგს. ტენზორული მეთოდი ასევე გამოიყენება გამოყენებით სფეროებში, სადაც საჭიროა მივიღოთ განტოლებები, რომლებიც არ არიან დამოკიდებული კოორდინატთა სისტემაზე.

ლიტერატურა

1. Kopeikin S., Efroimsky M. and Kaplan G. Relativistic Celestial Mechanics of the Solar System. Wiley-VCH Verlag GmbH & Co. 2011. 860 p.
2. Brouwer D. and Clemence G.M. Methods of Celestial Mechanics. Academic Press, New York and London. 1961.
3. Collins G.W. The Foundations of Celestial Mechanics. Pachart Publishing House. 2004. 145 p.
4. Escobal P.R. Methods of Astrodynamics. John Wiley and Sons, Inc., New York, London, Sydney. 1968.
5. Александров Ю.В. Небесная Механика. Харьков, ХНУ им. В.Н. Каразина, 2006.
6. Брумберг В.А. Релятивистская небесная механика. – М.: Наука, 1972.– 382 с.
7. Дубошин Г.Н. Небесная механика. Основные задачи и методы.– М.: Наука, 1968. 799 с.
8. Дубошин Г.Н. Небесная механика. Аналитические и качественные методы. – М.: Наука, 1978. – 456 с.
9. Дубошин Г.Н. Небесная механика. Методы теории движения искусственных небесных тел. – М.: Наука, 1983. – 351 с.



A standard linear barcode is positioned vertically. Below the barcode, the numbers "9 789941 821424 >" are printed, likely representing a digital object identifier (DOI).